UNIVERSIDADE FEDERAL DE MINAS GERAIS

D	-l- D -	O == = = = = = =	em Engenharia	N / - 4 - 1./	11-1:	-l- N 1:
Programa	de Pos-	-Caraguacao	em Engennaria	ivietailirdica	iviateriais e	de Milhas
i rograma	ac 1 00	Cidadaqao	on Ligoriala	iviolatai gioa,	Widterials C	ac iviliac

Dissertação de Mestrado

AVALIAÇÃO TÉCNICA E ECONÔMICA SOBRE A APLICAÇÃO DE COLUNAS DE FLOTAÇÃO PARA AUMENTO DA RECUPERAÇÃO METALÚRGICA DA FLOTAÇÃO CATIÔNICA REVERSA DE MINÉRIO DE FERRO DO SISTEMA MINAS-RIO

Autor: Emerson Rosa Silva

Orientador: Prof. Antônio Eduardo Clark Peres

Belo Horizonte, Dezembro de 2016

UNIVERSIDADE FEDERAL DE MINAS GERAIS

Programa de Pós-Graduação em Engenharia Metalúrgica, Materiais e de Minas

Emerson Rosa Silva

AVALIAÇÃO TÉCNICA E ECONÔMICA SOBRE A APLICAÇÃO DE COLUNAS DE FLOTAÇÃO PARA AUMENTO DA RECUPERAÇÃO METALÚRGICA DA FLOTAÇÃO CATIÔNICA REVERSA DE MINÉRIO DE FERRO DO SISTEMA MINAS-RIO

Dissertação de Mestrado apresentada ao Programa de Pós Graduação em Engenharia Metalúrgica, Materiais e de Minas da Universidade Federal de Minas Gerais

Área de Concentração: Tecnologia Mineral.

Orientador: Prof. Antônio Eduardo Clark Peres.

Belo Horizonte
Escola de Engenharia da UFMG
2016

A minha esposa e amigos que me apoiaram e entenderam minha ausência.

AGRADECIMENTOS

Primeiramente a DEUS pois a ele é toda a honra, toda a glória e todo o poder para todo o sempre, Amém.

A Anglo American Minério de Ferro Brasil pela oportunidade e confiança depositada no meu trabalho.

Ao meu orientador Antônio Eduardo Clark Peres pela paciência, disponibilidade, sugestões e ensinamentos, que sempre foram valiosos.

A meus maiores incentivadores e apoiadores deste trabalho, José Cabelo Russo, Henrique Turrer e Douglas Mazzinghy, pelo constante direcionamento e orientações técnicas.

A minha família e amigos, que sempre demonstraram o seu amor, amizade e companheirismo por aquilo que eu faço.

Gostaria de expressar também o meu agradecimento a todos aqueles não mencionados diretamente, mas que contribuíram de alguma forma para a realização deste trabalho.

SUMÁRIO

CAPÍT	ULO 1 - INTRODUÇÃO	1
CAPÍT	ULO 2 - OBJETIVO	3
CAPÍT	ULO 3 - REVISÃO BIBLIOGRÁFICA	4
3.1.	Minério de Ferro	4
3.2.	Mineralogia	4
3.3.	Reservas e Produção Brasileira	5
3.4.	Aspectos Gerais Sobre Concentração Mineral	6
3.5.	Conceitos Fundamentais Sobre Flotação	7
3.6.	Rotas e Parâmetros Praticados na Flotação de Minério de Ferro	12
3.7.	Principais Reagentes Utilizados na Flotação de Minério de Ferro	13
3.7.1.	Amido	13
3.7.2.	Amina	14
3.8.	Colunas de Flotação	15
3.8.1.	Breve Histórico	15
3.8.2.	Princípios Básicos do Processo de Flotação em Coluna	16
3.9.	Sistema Minas-Rio	19
CAPÍT	ULO 4 - METODOLOGIA	20
4.1.	Material	20
4.1.1.	Amostras Minerais	20
4.1.2.	Reagentes	20
4.2.	Métodos	21
4.2.1.	Preparação da Amostra 1	21
4.2.2.	Preparação da Amostra 2	26
4.3.	Análises Auxiliares	31
CAPÍT	ULO 5 – RESULTADOS E DISCUSSÕES	32
5.1.	Análise Técnica - Amostra 1	32
5.1.1. Princi _l	1ª Simulação – Circuito de Flotação em Colunas – Amostragem dos Fluxo pais do Processo	
5.1.2. Fluxos	2ª Simulação – Circuito de Flotação em Colunas - Amostragem de Todos es do Processo	
5.2.	Análise Técnica - Amostra 2	38
5.2.1.	Testes de Laboratório	38
5.2.2.	Teste Integrado	46
5.3.	Análise Comercial	49
5.3.1.	Oportunidade de Retorno Financeiro	49

5.3.2.	Benefícios Indiretos	50
5.3.3.	CAPEX - Custo de Capital	54
5.3.4.	OPEX - Custo Operacional	59
5.3.5.	Avaliação Econômica	61
5.3.6.	Analise de Sensibilidade	63
CAPÍTU	ULO 6 – CONCLUSÕES	65
CAPÍTU	ULO 7 – RELEVÂNCIA DOS RESULTADOS	66
CAPÍTU	ULO 8 – SUGESTÕES TRABALHOS FUTUROS	67
CAPÍTU	ULO 9 – REFERÊNCIAS BIBLIOGRÁFICAS	68
CAPÍTI	III O 10 – ANEXOS	73

LISTA DE FIGURAS

Figura 3.1: Representação típica de um surfatante (coletor) usado na flotação
Figura 3.2: Processo de adsorção de coletores na superfície mineral (WILLS et al., 2006) 9
Figura 3.3: Hidrofobização mineral e adesão partícula-bolha (Adaptado de GUPTA et al., 2006).
g
Figura 3.4: Fenômeno de adesão bolha-partícula hidrofílica e hidrofobizada (VERAS, 2010)10
Figura 3.5: Estrutura da α-D-(+)-glucopiranose. Átomos de hidrogênio ligados aos carbonos C-2
e C-5 não estão apresentados (adaptado de LEJA, 1982)
Figura 3.6: Perfil esquemático de uma coluna de flotação (OLIVEIRA E AQUINO, 2006) 17
Figura 4.1: Circuito teórico estabelecido para o circuito de flotação em colunas (estágic
recleaner)24
Figura 4.2: Circuito integrado teórico projetado e estabelecido para o Sistema Minas-Rio 27
Figura 4.3: Fluxograma representativo do circuito integrado, referente aos testes em escala
piloto e respectivos pontos de amostragem
Figura 5.1: Dosagem de amina versus teor de ferro obtido para o concentrado e rejeito, para c
circuito de flotação em células convencionais40
Figura 5.2: Dosagem de amina versus teor de ferro obtido para o concentrado e rejeito, para o
circuito de flotação em colunas42
Figura 5.3: Dosagem de amina versus constante cinética de flotação para o quartzo e hematita
para o circuito de flotação em colunas43
Figura 5.4: Configuração de dois cenários distintos de flotação, baseado nos testes de
laboratório
Figura 5.5: Comparativo entre a recuperação metalúrgica do cenário atual do Sistema Minas-
Rio (ReFe_convl = 80,2%) versus implantação do cenário 2 (RFe_conv+recl = 87,8%) 45
Figura 5.6: Desempenho global final reconciliado, referente aos testes integrado em escala
piloto, simulando o circuito integrado48

Figura 5.7: Estimativa para taxa de disposição de rejeitos na barragem – Período 2018-2039.52
Figura 5.8: Fluxograma e balanço de massa / metalúrgico para o cenário atual60
Figura 5.9: Fluxograma e balanço de massa / metalúrgico para o cenário com a implantação
das colunas de flotação (estágio recleaner)60
Figura 5.10: Comparação do FCFF entre o cenário para implantação do circuito de flotação em
colunas (estágio recleaner) e o cenário atual62
Figura 5.11: Análise de Sensibilidade para o VPL referente a implantação do circuito de
flotação em colunas, variando receita e custo64

LISTA DE TABELAS

Tabela III.1: Minerais de ferro com importância econômica (Adaptado de MOHR et al., 2015) .. 5

Tabela IV.1: Equipamentos e parâmetros operacionais utilizados na preparação do pré-
concentrado através da amostra 1
Tabela IV.2: Equipamentos e parâmetros operacionais utilizados no teste com colunas de
flotação (estágio recleaner), para simular o circuito teórico estabelecido para o Sistema Minas-
Rio
Tabela IV.3: Parâmetros operacionais para o circuito de flotação em células convencionais
referente ao circuito integrado em escala piloto
Tabela IV.4: Parâmetros operacionais para circuito de flotação em coluna, referente ao circuito
integrado em escala piloto
Tabela V.1: Resultados experimentais alcançados na 1ª simulação do circuito de flotação em
coluna (estágio recleaner), amostrando somente os fluxos principais do processo
Tabela V.2: Resultados experimentais esperados teoricamente (Figura 4.1) versus resultados
consolidados alcançados para a 1ª simulação do circuito de flotação em coluna (estágic
recleaner)
Tabela V.3: Condição 1 - resultados experimentais alcançados na 2ª simulação do circuito de
flotação em coluna (estágio recleaner), amostrando todos os fluxos do processo
Tabela V.4: Condição 2 - resultados experimentais alcançados na 2ª simulação do circuito de
flotação em coluna (estágio recleaner), amostrando todos os fluxos do processo
Tabela V.5: Condição 3 - resultados experimentais alcançados na 2ª simulação do circuito de
flotação em coluna (estágio recleaner), amostrando todos os fluxos do processo
Tabela V.6: Resultados experimentais esperados teoricamente (Figura 4.1) versus resultados
consolidados alcançados para 2ª simulação do circuito de flotação em coluna nas condições 1
e 2
Tabela V.7: Composição química da amostra 2

Tabela V.8: Resultados experimentais esperados teoricamente (Figura 4.2) versus resultados
consolidados obtidos para o teste de deslamagem em bancada
Tabela V.9: Recuperações metalúrgicas para o cenário atual e cenário 2
Tabela V.10: Desempenho do teste integrado em escala piloto para os circuitos de flotação em
células convencionais e colunas47
Tabela V.11: Expectativa para o underflow do espessador de lamas para o cenário atual e o
cenário com a implantação do estágio recleaner51
Tabela V.12: Diferença entre a movimentação total na Mina para o cenário atual e cenário com
a implantação do circuito de flotação em colunas - Período de 2018-206454
Tabela V.13: Estimativa de investimento (CAPEX) baseado no projeto conceitual para
implantação do circuito de flotação em colunas (estágio recleaner)55
Tabela V.14: Estimativa de custos operacionais (OPEX) contemplando o cenário atual e
cenário com a implantação do circuito de flotação em colunas - Período de 2017-202159

LISTA DE ANEXOS

Anexo 1: Distribuição granulométrica do pré-concentrado obtido através dos circuitos de
moagem, deslamagem, flotação em células convencionais e remoagem
Anexo 2: Parâmetros operacionais registrados durante a 2ª simulação do circuito de flotação
em coluna para as condições 1, 2 e 374
Anexo 3: Resultados consolidados para a 2ª simulação do circuito de flotação em colunas
(estágio eecleaner)75
Anexo 4: Tempo de residência, capacidade de carregamento e velocidade do ar para circuito
de flotação em coluna para as condições 1 e 277
Anexo 5: Parâmetros e resultados experimentais obtidos no teste de moagem em laboratório.
78
Anexo 6: Parâmetros e resultados experimentais obtidos para o teste de deslamagem em
laboratório
Anexo 7: Parâmetros e resultados experimentais obtidos para os testes de flotação em células
convencionais em laboratório
Anexo 8: Parâmetros e resultados experimentais obtidos para determinar a cinética de flotação
em células convencionais em laboratório
Anexo 9: Parâmetros e resultados experimentais obtidos para o teste de remoagem em
laboratório
Anexo 10: Parâmetros e resultados experimentais obtidos para os testes de flotação em
colunas em laboratório
Anexo 11: Parâmetros e resultados experimentais obtidos para determinar a cinética de
flotação em colunas em laboratório
Anexo 12: Resultados do teste integrado em escala piloto para o circuito de moagem 93
Anexo 13: Resultados do teste integrado em escala piloto para o circuito de flotação em células
convencionais95
Anexo 14: Resultados do teste integrado em escala piloto para o circuito de remoagem 97
Anexo 15: Resultados do teste integrado em escala piloto para o circuito de flotação em
colunas98

Anexo 16: Resultados das amostragens do teste integrado em escala piloto, referente aos dias
2 e 3 de fevereiro de 2016
Anexo 17: Resultados das amostragens do teste integrado em escala piloto, referente aos dias
09, 10, 11 e 12 de março de 2016
Anexo 18: Resumo dos valores obtidos para o hold up das colunas de flotação 102
Anexo 19: Principais parâmetros determinados para os testes piloto em colunas de flotação
103
Anexo 20: Resultados do processo de reconciliação para avaliação global de desempenho do
circuito integrado
Anexo 21: Análise de Sensibilidade para TIR e VPL referente a mplantação do circuito de
flotação em colunas, variando receita e custo

RESUMO

Flotação é um importante processo de concentração de minério de ferro. Um dos grandes problemas encontrados nas instalações que a utilizam é a baixa recuperação metalúrgica associada aos finos. A presença de partículas finas na flotação é um dos principais fatores redutores de sua efetividade.

Neste trabalho, inicialmente realizou-se uma avaliação técnica para verificar a viabilidade técnica de se aumentar a recuperação metalúrgica do processo atual de concentração do Sistema Minas-Rio, de 80% para 88%, através da recuperação de finos, sem que ocorra perda de qualidade do produto final. Posteriormente, uma avaliação econômica foi elaborada, para verificar sobre o potencial retorno financeiro referente a implantação da solução técnica proposta.

Na avaliação técnica, vários testes de bancada em laboratório e testes em escala piloto foram realizados, com o intuito de comparar o desempenho do circuito atual de flotação do Sistema Minas-Rio, o qual é realizado em células convencionais de flotação (estágios *rougher, cleaner e scavenger*) obtendo uma recuperação metalúrgica de 80%, versus, o desempenho pretendido após a implantação de um circuito de flotação adicional ao existente, realizado em colunas de flotação (estágio *recleaner*), possibilitando alcançar assim a recuperação metalúrgica de 88%, através da recuperação da fração mais fina, a qual é encaminhada atualmente direto para barragem de rejeitos.

Na avaliação econômica, estimativas de investimentos de Capital (*CAPEX*) e Operacional (*OPEX*) foram elaboradas contemplando a implantação do circuito de flotação em colunas (estágio *recleaner*), possibilitando assim realizar simulações para avaliar a potencialidade de ganho financeiro desta implantação.

Esta maximização da recuperação metalúrgica significa proporcionar diversos efeitos positivos para o Sistema Minas-Rio, tais como, melhor aproveitamento dos recursos minerais disponíveis, possibilitar o aumento da capacidade produtiva, redução na produção de rejeitos e maior flexibilidade operacional.

ABSTRACT

Flotation is an important concentration process for iron ore. A major problem found in beneficiation plants, which use this process, is the low metallurgical recovery associated with the fine fraction. The presence of fine particles in the flotation is one of the main factors that reduce its effectiveness.

In this work, It was carried out a technical evaluation to verify the technical feasibility of increasing the metallurgical recovery for the current concentration process of Minas-Rio System from 80% to 88%, by increasing the fines metal recovery without losing quality at the final product. Subsequently, an economic evaluation was prepared to check on potential financial returns regarding the implementation of the proposed technical solution.

In the technical evaluation, several bench tests in the laboratory and tests on a pilot scale were performed in order to compare the performance of the current flotation circuit for Minas-Rio System, which is carried out in conventional flotation cells (rougher, cleaner and scavenger stages) obtaining a metallurgical recovery of 80%, versus the expected performance after the implementation of an additional flotation to the existing circuit, in column flotation (*recleaner* stage), enabling the achievement of 88% of the metallurgical recovery through the metal recovery of the finest fraction, which is currently sent straight to tailings dam.

In the economic part, estimates of capital (*CAPEX*) and operating (*OPEX*) expenditure were prepared considering the implementation of the flotation circuit in columns (*recleaner* stage), making it possible to perform simulations to assess the potential financial gains of this implementation.

This maximizing metallurgical recovery means, provides many positive effects for the Minas-Rio System, such as better use of available mineral resources, enabling the increase of productive capacity, reducing waste and greater operational flexibility.

CAPÍTULO 1 - INTRODUÇÃO

O crescente consumo de minério de ferro obrigou as mineradoras a elevar a capacidade de produção. No entanto, este aumento de capacidade não deve impactar negativamente na qualidade do produto. Em alguns casos, o aumento da capacidade de uma planta pode ser obtido através de otimizações dos processos já existentes e/ou da instalação de novos equipamentos.

A recuperação metalúrgica de um processo de concentração é um parâmetro de extrema importância quando se trata de aumento de capacidade de produção e qualidade dos produtos. Deve-se sempre procurar maximizá-la, objetivando-se aumentar a produção de carga metálica por unidade de minério alimentado, tal que seja traduzida em maior margem de lucro.

Maximizar esse parâmetro operacional significa alcançar também outros efeitos positivos para o negócio além do aumento da capacidade produtiva, tais como, melhor aproveitamento dos recursos minerais disponíveis, redução da taxa de produção de rejeitos e maior flexibilidade operacional.

O crescimento acelerado das demandas por recursos minerais não renováveis tem acarretado a exaustão dos jazimentos mais ricos e mais simples de serem concentrados, colocando a indústria mineral frente ao desafio de tratar minérios cada vez mais complexos, finos e com baixos teores. Além disso, devido à globalização da economia mundial, as unidades industriais têm sido obrigadas a produzir concentrados com especificações cada vez mais severas e custos menores.

Considerando essa realidade e a importância da flotação como processo de concentração de minerais, têm sido realizados esforços no sentido de desenvolver novas tecnologias e equipamentos, dentre os quais podemos destacar a aplicação de colunas de flotação, especialmente para o tratamento de finos.

A utilização de colunas de flotação é uma prática bem estabelecida na concentração de minério de ferro, buscando o aumento da recuperação metalúrgica de bens minerais. Esta tecnologia teve uma demanda significativa na década de 90 do século passado. De 1990 a 2005 praticamente todos os novos circuitos de concentração de minério de ferro comissionados no Brasil possuíam colunas em sua configuração.

No entanto, após os anos 90 as células de flotação de grande volume passaram a ocupar certo espaço das colunas, em alguns projetos de expansão e até mesmo em projetos *greenfield*. Hoje em dia o usual é adotar um circuito misto, ou seja, com a combinação de células e colunas, onde geralmente utilizam-se células para o tratamento do material mais grosseiro e colunas para tratamento de finos, o que se deve a diferença na hidrodinâmica e tipo de bolhas geradas, características de cada tipo de equipamento.

CAPÍTULO 2 - OBJETIVO

O Sistema Minas-Rio foi projetado inicialmente para recuperar 80% da unidade metálica alimentada na Planta de Beneficiamento, através de células convencionais de flotação composto pelos estágios *rougher*, *cleaner e scavenger*.

Este trabalho tem como objetivo realizar uma análise técnica / econômica sobre a viabilidade de implementação de um circuito de flotação em colunas (estágio *recleaner*), para aumentar a recuperação metalúrgica do processo atual de concentração de 80% para 88%, através do aumento da recuperação metálica de finos, sem que ocorra perda de qualidade do produto final (*Pellet Feed* com 68% de Fe contido).

CAPÍTULO 3 - REVISÃO BIBLIOGRÁFICA

Neste capítulo é apresentada uma revisão de literatura relativa aos tópicos pertinentes ao presente estudo. Este compreende aspectos gerais sobre minérios de ferro, uma abordagem característica dos processos de flotação e fatos relevantes sobre a aplicação de colunas e células de flotação.

3.1. Minério de Ferro

O minério de ferro possui grande importância na economia mundial, pois é o principal insumo para a indústria siderúrgica. As estimativas dos recursos mundiais de minério de ferro são superiores a 800 bilhões de toneladas, com mais de 230 bilhões de toneladas de ferro contido (TUCK, 2015). A produção mundial de minério de ferro no ano de 2012, por exemplo, foi de aproximadamente 1,85 bilhões de toneladas (WORLDSTEEL, 2015).

A grande utilização do minério de ferro é para a fabricação de aço. Cerca de 99% de todo minério de ferro explorado é usado na indústria siderúrgica. O restante é utilizado na indústria de ferro-ligas, cimento e eventualmente na construção de estradas (QUARESMA, 2001).

3.2. Mineralogia

A ocorrência de ferro nativo é rara, sendo encontrado somente em meteoritos, basaltos da ilha de Disko, a oeste da Groenlândia, e sedimentos carbonáceos do Missouri, EUA (CRISTIE & BRATHWAITE, 1997). O ferro (Fe) é o quarto elemento mais abundante na costa terrestre, atrás do oxigênio, silício e alumínio (VLACH, 2015).

Grande parte das rochas e solos contêm pelo menos traços do elemento ferro, sendo que a maior parte do ferro na crosta terrestre está presente na forma de Fe²⁺, mas é rapidamente oxidada na superfície a Fe³⁺ (OLIVEIRA et al., 2013). O elemento ferro normalmente está associado ao oxigênio, carbono, enxofre ou silício formando respectivamente os óxidos, carbonatos, sulfetos e silicatos.

Dos mais de 300 minerais que possuem o elemento ferro, as seis fontes primárias de minerais usados na produção de aço são hematita, magnetita, goethita, siderita, ilmenita e pirita. A composição mineral dessas fontes está apresentada na Tabela III.1.

Tabela III.1: Minerais de ferro com importância econômica (Adaptado de MOHR et al., 2015)

	Hematita	Magnetita	Goethita	Siderita	Ilmenita	Pirita
Nome químico	Óxido férrico	Óxido ferroso férrico	Óxido de ferro hidratado	Carbonato de ferro	Óxido de ferro- titânio	Sulfeto de ferro
Formula química	Fe ₂ O ₃	Fe ₃ O ₄	HFeO ₂	FeCO ₃	FeTiO₃	FeS ₂
%Fe	69,94	72,36	62,85	48,2	36,8	46,55
Cor	Cinza aço até vermelho	Cinza escuro até preto	Amarelo ou marron até quase preto	Branco ao cinza esverdeado até preto	Preto	Pálido bronze- amarelo
Cristal	Hexagonal	Cúbico	Ortorrômbico	Hexagonal	Hexagonal	Cúbico
Gravidade específica	5,24	5,18	3,3 - 4,3	3,83 - 3,88	4,72	4,95 - 5,10
Dureza de Mohs	6,5	6	5 - 5,5	3,5 - 4	5 - 6	6 - 6,5
Ponto de Fusão, °C	1565	1600	-	-	1370	-

Atualmente, a maior parte da produção mundial de minério de ferro é obtida a partir da hematita, seguida pela magnetita e depois, em menor escala, pela goethita. Esses três minerais ocorrem em grandes quantidades e são economicamente lavráveis (MOHR et al., 2015).

3.3. Reservas e Produção Brasileira

O Brasil ocupa uma posição mundial de destaque tanto como detentor de reservas quanto como produtor. Essas reservas se caracterizam pelo elevado teor metálico e se encontram praticamente em três Estados, Minas Gerais, Pará e Mato Grosso do Sul (WALDE, 1986).

O minério de ferro ocupa um lugar de destaque para a economia brasileira devido aos grandes volumes exportados e consumidos pelo mercado nacional. De acordo com WALDE (1986), a maioria dos minérios de ferro brasileiros são formados predominantemente por óxidos e hidróxidos de ferro, principalmente hematita, e quartzo.

O Brasil possui a segunda maior produção de minérios de ferro no mundo, ficando atrás somente da China. Entretanto, como a produção da China deve referir-se à produção sem tratamento, o Brasil é, provavelmente, o maior produtor de minério beneficiado.

3.4. Aspectos Gerais Sobre Concentração Mineral

A concentração é a etapa do tratamento de minérios onde ocorre a separação da espécie útil (mineral-minério), a qual possui valor econômico, da espécie não útil (mineral de ganga), ou seja, sem valor econômico.

A concentração de minerais requer três requisitos fundamentais: 1) liberação dos grãos dos diferentes minerais constituintes do minério, obtido através de operações de cominuição (britagem, prensagem e moagem); 2) existência de propriedade diferenciadora entre os minerais, o que é a base da seletividade do método de concentração a ser empregado; e 3) separabilidade dinâmica, que está ligada aos equipamentos empregados no processo de concentração (PERES et al., 2009; PERES et al., 2012, WILLS et al., 2006).

PERES et al. (2012) cita que os métodos de concentração podem ser divididos entre densitários, magnéticos, elétricos, flotação, dentre outros. Cada um desses métodos explora alguma propriedade diferenciadora entre os minerais envolvidos.

3.5. Conceitos Fundamentais Sobre Flotação

TAGGART (1921) definiu o termo flotação como sendo aquele utilizado em tecnologia mineral para designar o processo de separação de um dos constituintes do minério dos restantes, fazendo com aquele constituinte flutue acima da superfície da polpa que é formada por partículas minerais e água.

O processo de flotação é um método de concentração mineral que utiliza a diferença entre as propriedades de superfície das partículas minerais como meio de separação. Foi desenvolvido no início do século XIX e tem sido economicamente utilizado para concentração de minérios complexos, com baixos teores dos minerais de interesse, levando a bons rendimentos metalúrgicos. Pode-se definir a flotação como um processo de separação físico-químico que explora diferenças nas propriedades de superfície (que podem ser naturais ou induzidas) dos minerais presentes na polpa como a sua propriedade diferenciadora (WILLS et al., 2006).

Flotação é um processo seletivo que tem permitido o aproveitamento desses minérios complexos e de baixo teor que, de outro modo, seriam considerados economicamente inviáveis (WILLS et al., 2006). A seletividade do processo de flotação se baseia no fato de que a superfície das diferentes espécies minerais pode apresentar distintos graus de hidrofobicidade. O conceito de hidrofobicidade de uma partícula está associado à sua umectabilidade ou "molhabilidade" pela água (PERES et al., 2012).

Na natureza, os compostos químicos são classificados como polares ou apolares, em função de apresentarem ou não um dipolo permanente. Substâncias polares têm afinidade com outras substâncias polares. Da mesma forma, substâncias apolares têm afinidade entre si. Entretanto, não há afinidade entre uma substância polar e outra apolar. Em um sistema de flotação, a fase líquida é a água (uma espécie polar) e a fase gasosa é o ar (constituído basicamente por moléculas apolares) (PERES et al., 2012). Assim como a água (polar) e o ar (apolar), os minerais também são classificados como polares ou apolares, de acordo com suas características de superfície (WILLS et al., 2006).

Minerais hidrofóbicos são aqueles cuja superfície é essencialmente não polar, apresentando assim maior afinidade com o ar do que com a água. De forma contrária, os minerais hidrofílicos são aqueles cuja superfície é polar, tendo assim maior afinidade com a água do que com o ar (PERES et al., 2012).

O processo de flotação acontece em equipamentos que, além de manterem a polpa (minerais + água) em suspensão, promovem a sua aeração (com bolhas de ar em ascensão). Dessa forma, a separação entre os minerais ocorre quando os minerais hidrofóbicos são carreados junto com o fluxo de ar, enquanto os minerais hidrofílicos permanecem na polpa.

Como a grande maioria dos minerais não são hidrofílicos em seu estado natural, a aplicação da flotação como técnica de concentração de minérios só é possível graças à ação de surfatantes, conhecidos como coletores, que transformam minerais hidrofílicos em hidrofóbicos através da sua adsorção na superfície mineral. Em outras palavras, a propriedade diferenciadora da flotação pode ser induzida (PERES et al., 2012). Surfatantes são compostos orgânicos que contêm um grupo polar hidrofílico e um grupo apolar hidrofóbico (Figura 3.1).



Figura 3.1: Representação típica de um surfatante (coletor) usado na flotação.

Os surfatantes, quando adicionados à polpa, têm o seu grupo polar adsorvido na superfície do mineral que se deseja flotar. A adsorção pode ser por atração química, eletrostática ou física. Após sua adsorção, o grupo apolar fica exposto para a solução, hidrofobizando assim a superfície deste mineral (Figura 3.2).

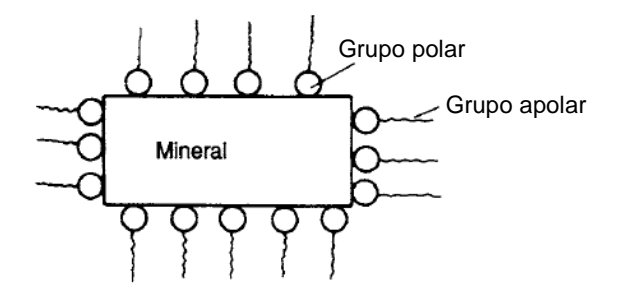


Figura 3.2: Processo de adsorção de coletores na superfície mineral (WILLS et al., 2006).

Os surfatantes são geralmente usados em pequenas quantidades, apenas a necessária para formação de uma camada monomolecular na superfície das partículas (WILLS et al., 2006). A Figura 3.3 ilustra o processo de adsorção de coletores na superfície de um mineral, tornando-o hidrofóbico. Na sequência, ocorre a etapa de adesão da partícula na bolha.

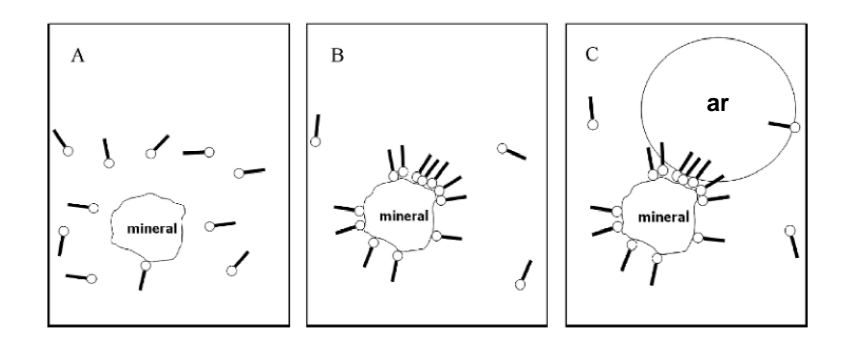


Figura 3.3: Hidrofobização mineral e adesão partícula-bolha (Adaptado de GUPTA et al., 2006).

Além dos coletores, espumantes e modificadores podem ser necessários no processo de flotação. Espumantes são compostos orgânicos que reduzem a tensão superficial da água, estabilizando as bolhas na camada de espuma no topo da célula de flotação. Modificadores são compostos orgânicos ou inorgânicos usados para modificar as condições da polpa, reforçando a diferenciação da química de superfície entre os minerais de valor e os minerais de ganga. Estes podem possuir diferentes ações: depressores, ativadores, ajuste de pH, dispersantes, sequestrantes, etc. (GUPTA et al., 2006; PERES et al., 2012; WILLS et al., 2006).

BALAJEE & IWASAKI (1969) concluíram, através de estudos de adsorção de amido, em minérios de ferro, que a flotação seletiva entre o quartzo e a hematita em pH 10,5, usando amido como depressor da hematita e amina como coletor do quartzo, é possível porque o amido adsorve-se preferencialmente sobre a superfície da hematita, em relação ao quartzo e a densidade de adsorção da amina sobre a superfície do quartzo é maior que a densidade de adsorção deste reagente sobre a superfície da hematita. Estudos semelhantes realizados por LIMA (1997) indicaram ainda que a quantidade de amina que se adsorve na superfície da hematita, contendo amido previamente adsorvido, é insuficiente para torná-la hidrofóbica e a quantidade de amido adsorvido sobre o quartzo, também, é insuficiente para manter o caráter hidrofílico do mineral, após adsorção da amina.

MARTINS (2009) menciona que minerais de baixa molhabilidade, provocada pela adsorção de coletores em sua superfície, aliada a condições hidrodinâmicas adequadas à colisão, adesão e preservação do agregado partícula-bolha conduzem à sua flotabilidade. A Figura 3.4 elucida as etapas de colisão e adesão entre bolha e uma partícula hidrofobizada e outra hidrofílica. A partícula hidrofílica colide com a bolha, mas não se fixa na interface, enquanto a partícula hidrofobizada colide e adere espontaneamente (VERAS, 2010).

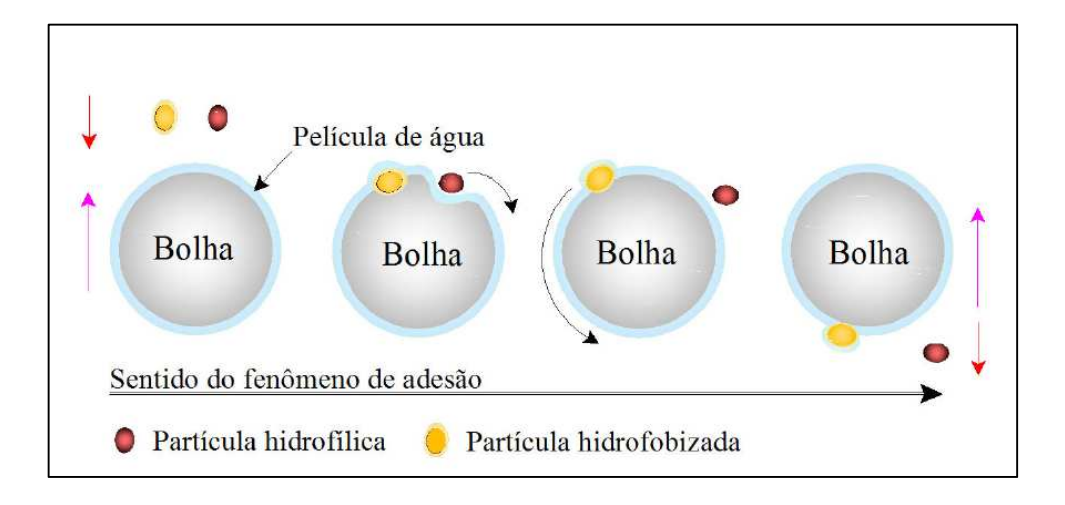


Figura 3.4: Fenômeno de adesão bolha-partícula hidrofílica e hidrofobizada (VERAS, 2010).

O processo de flotação só é aplicável para partículas minerais com granulometria relativamente fina. Se forem muito grandes, a adesão entre a partícula e a bolha será menor que o peso das partículas, assim, a bolha perderá a sua carga. Há uma faixa de tamanhos ótima para uma flotação bem sucedida (WILLS et al., 2006).

A concentração de minérios de ferro por flotação é uma técnica já mundialmente consolidada para partículas minerais na faixa de 10 µm a 250 µm. O tamanho máximo da alimentação para um sistema de flotação pode ser estabelecido em função do tamanho de liberação do mineral útil. Porém, em muitos casos, este tamanho é limitado pela força de adesão entre partícula e bolha (LEJA, 1982). Ou seja, o fluxo ascendente de bolhas não é capaz de levitar partículas muito grandes. O limite inferior da faixa granulométrica é fixado em função do tamanho em que começam a ocorrer efeitos deletérios ao sistema, como o recobrimento de partículas maiores por lamas ou o consumo excessivo de reagentes devido à grande área superficial específica das partículas menores (MONTE & PERES, 2002).

A concentração via flotação pode ser considerada como direta ou reversa. Flotação direta significa que os minerais-minério compõem a fração flotada, enquanto que flotação reversa a fração flotada é composta por minerais de ganga (WILLS et al., 2006). No Brasil, todas as grandes unidades produtoras de *pellet-feed* utilizam a flotação reversa, sendo o rejeito constituído predominantemente de quartzo e o concentrado de óxidos e hidróxidos de ferro.

As corretas seleções de reagentes, bem como das condições do processo, são responsáveis pelo sucesso da concentração mineral via flotação. Os reagentes mais utilizados para flotação de minério de ferro são amina e amido, que atuam, respectivamente, como coletor/espumante e depressor (ARAUJO & PERES, 1995; MONTE & PERES, 2002).

12

3.6. Rotas e Parâmetros Praticados na Flotação de Minério de Ferro

O processo de concentração via flotação para minério de ferro pode ser realizada

pelas seguintes rotas:

i. Flotação catiônica reversa (onde o quartzo é flotado);

ii. Flotação aniônica direta (onde os minerais de ferro são flotados)

iii. Flotação aniônica reversa (onde o quartzo ativado é flotado).

O termo "reversa" da flotação catiônica reversa de minérios de ferro se deve ao fato de

estar-se flotando um mineral de ganga (quartzo) ao invés do mineral-minério (minerais

de ferro), enquanto que o termo "catiônico" se deve ao fato da utilização de coletores

catiônicos para hidrofobizar o quartzo.

De modo geral, os parâmetros de processo do circuito de flotação catiônica reversa

quando o mineral-minério é a hematita são muito diferentes de quando o mineral-

minério é a magnetita. Este presente trabalho tem foco na separação do mineral de

ganga quartzo do mineral-minério hematita, sendo abordados aqui detalhes deste tipo

de separação apenas.

A flotação catiônica reversa de hematita ocorre normalmente nas seguintes condições

(com algumas exceções):

estágio de concentração anteriores: inexistente ou via métodos gravimétricos

deslamagem prévia para remover partículas inferiores a ~10 μm

pH da polpa: 9,5 - 10,5

porcentagem de sólidos: 30 - 55%

depressor de hematita necessário

Amido de milho/mandioca/arroz gelatinizado com NaOH

Dosagem: 300 - 1000 g/t

o coletor de quartzo: éter monoaminas

Dosagem típica: 30 -100 g/t

3.7. Principais Reagentes Utilizados na Flotação de Minério de Ferro

Na flotação catiônica reversa de minérios de ferro, o amido e a amina são os principais reagentes utilizados. O amido é amplamente utilizado como depressor de hematita, enquanto a amina atua como coletor do quartzo, atuando ao mesmo tempo como espumante. Aspectos gerais destes dois reagentes serão apresentados a seguir.

3.7.1. Amido

O amido é um polímero natural, formado pela condensação de moléculas de glicose geradas por fotossíntese através de ligações α -1,4 e α -1,6. A fórmula química simplificada do amido é ($C_6H_{10}O_5$)_n, onde n representa o número de moléculas α -D (+) glicose que compõem a macromolécula de amido (LEJA, 1982), Figura 3.5.

Figura 3.5: Estrutura da α-D-(+)-glucopiranose. Átomos de hidrogênio ligados aos carbonos C-2 e C-5 não estão apresentados (adaptado de LEJA, 1982).

A maior parte dos amidos constitui-se, basicamente, de dois componentes principais, amilose e amilopectina, em proporções variáveis. Testes de flotabilidade com amostras naturais puras de hematita e quartzo realizados, por PINTO (1989) e ARAUJO (1988), indicaram que amidos compostos por maiores participações de amilopectina proporcionam maior seletividade na depressão da hematita. Outros constituintes podem ocorrer no amido, dependendo do processo de extração utilizado. São eles: óleos, proteínas, lipídios e compostos inorgânicos

O amido se adsorve na hematita através de ligações de hidrogênio entre os grupos alcoólicos COH do anel glicose e do grupo metanol ligado ao anel com os grupos FeOH da superfície da hematita, enquanto que a adsorção no quartzo ocorre através do metanol ligado ao anel de glicose (BALAJEE & IWASAKI, 1969; LIMA, 1997).

O caráter hidrofílico da molécula de amido é devido à presença de um grande número de radicais OH⁻ nas unidades α-D(+) glicose (PERES & CORRÊA, 1996). Os principais tipos de amido utilizados industrialmente como depressores de hematita são o amido de milho, mandioca ou arroz.

3.7.2. Amina

Aminas são compostos derivados da amônia (NH₃), onde um, dois ou três átomos de hidrogênio são substituídos por grupos alifáticos monovalentes, gerando, respectivamente, aminas primária, secundária e terciária. O quarto hidrogênio também pode ser substituído por um grupo de hidrocarbônico, gerando um sal quaternário de amônio (NEDER & LEAL, 2005).

PERES et al. (2012) mencionam que uma das principais propriedades das aminas é a propensão à hidrólise ou dissociação, governada pelo pH da solução, afetando fortemente a atividade superficial através da predominância da espécie iônica ou da molecular.

A amina se ioniza em solução aquosa segundo a Equação 1 sendo que; em pH 10,5 cerca de 50% da amina se encontra na forma ionizada (LEJA, 1982).

$$RNH_2(aq) + H_2O \rightleftharpoons RNH_3^+ + OH^-$$
 (1)

O mecanismo atuante na adsorção de aminas em superfícies minerais é predominantemente eletrostático. O desenvolvimento de ligações hidrofóbicas entre as cadeias hidrocarbônicas das aminas, e a consequente formação de hemimicelas em superfície, também é fundamental para atingir-se o grau de hidrofobicidade necessário à flotação com este reagente coletor (LEJA, 1982).

3.8. Colunas de Flotação

3.8.1. Breve Histórico

A flotação é um dos processos de concentração mais utilizado na indústria mineral, possibilitando o aproveitamento de minérios complexos e/ou de baixo teor de forma econômica e com rendimentos satisfatórios. A importância desse processo tem motivado o desenvolvimento de novos equipamentos dentre os quais se destaca a coluna de flotação.

A concepção do processo de flotação em coluna teve início na década de 60 do século passado quando BOUTIN & TREMBALY (1962) registraram uma patente referente à técnica de flotação em coluna. As primeiras descrições do equipamento e ensaios em escala piloto foram feitas em meados da década de 60. A partir de então, foram realizados diversos esforços no sentido de viabilizar a implantação dessa tecnologia em escala industrial, dentre os quais se destacam as aplicações realizadas por WHEELER (1966), considerado o pai da Coluna Canadense.

Finalmente, COFFINN & MISZCZAK (1982) relataram que as primeiras colunas de flotação industrial, com 0,91 m de diâmetro, foram instaladas em Les Mines Gaspé em Quebec, no Canadá, para flotação *cleaner* de molibdênio. Essas colunas foram utilizadas nos estudos hidrodinâmicos das seções de coleta e de limpeza conduzidos pelos pesquisadores Glenn Dobby e Juan Yianatos sob orientação do professor Finch na Universidade de McGill, Canadá (FINCH & DOBBY, 1990). A versão final desse circuito, em 1987, era um estágio com coluna de 0,91 m de diâmetro, seguida por flotação em outra coluna de 0,46 m de diâmetro.

A partir de então, as colunas industriais de flotação se espalharam rapidamente pelo Canadá, Austrália, África do Sul e América do Sul, principalmente Chile e Brasil.

A primeira utilização industrial de colunas de flotação no Brasil ocorreu nos anos 80 em pequenas plantas de produção de ouro. Posteriormente colunas de flotação de grande porte entraram em operação em 1991, na Samarco Mineração, Mina do Germano, Mariana-MG, com colunas de 3,66 m e 2,44 m de diâmetro para flotação de quartzo em minério de ferro.

Posteriormente, outras empresas do setor instalaram colunas industriais de grandes dimensões com mesmo objetivo, ou seja, concentração de minério de ferro pela flotação reversa de quartzo. Atualmente, existem no país diversas colunas industriais em operação (Samarco, CSN, Vale, etc.).

A flotação em coluna está presente também em instalações industriais de concentração de cobre, feldspato, grafite, zinco, chumbo, talco, prata e nióbio.

3.8.2. Princípios Básicos do Processo de Flotação em Coluna

Embora tenham sido desenvolvidas diferentes concepções para as colunas de flotação, o tipo comumente conhecido como "Coluna Canadense" apresenta as características básicas utilizadas nas unidades industriais. Este tipo de coluna é amplamente aplicado no Brasil e no mundo, cujo desenho esquemático típico é apresentado na Figura 3.6.

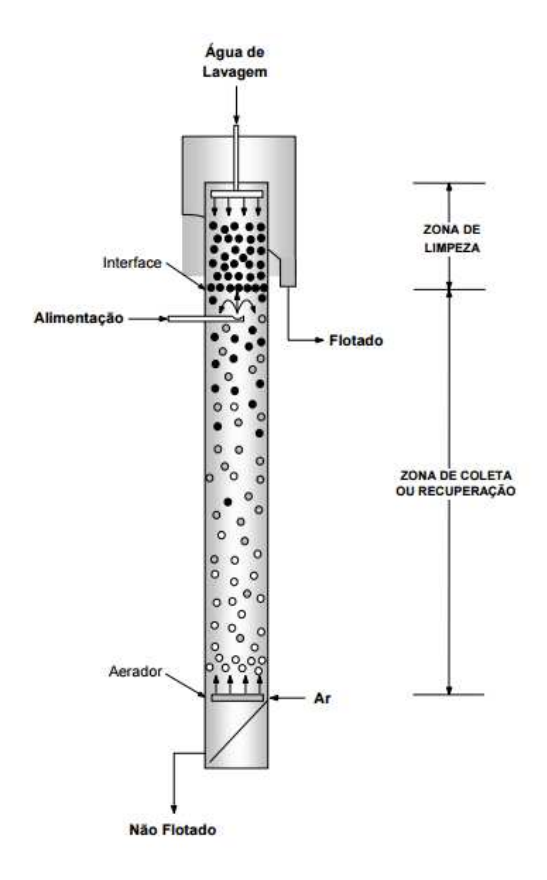


Figura 3.6: Perfil esquemático de uma coluna de flotação (OLIVEIRA E AQUINO, 2006).

No perfil da coluna representada na Figura 3.6, é possível identificar duas regiões distintas:

- Zona de Coleta ou Recuperação: compreendida entre o ponto de injeção de ar e a interface polpa-espuma. Sua função é recuperar o mineral a ser flotado, através de um contato eficiente entre as partículas minerais e as bolhas de ar.
- Zona de Limpeza: compreendida entre a interface polpa-espuma e o transbordo do material flotado. Nesta seção mantém-se constante a altura da camada de espuma, que é lavada através de um fluxo de água em contracorrente, eliminando as partículas hidrofílicas arrastadas.

As colunas de flotação diferem das células mecânicas convencionais nos seguintes aspectos:

- Geometria (relação altura x diâmetro);
- Presença de água de limpeza na camada de espuma;
- Ausência de agitação mecânica;
- Sistema de geração de bolhas.

A polpa é alimentada a aproximadamente dois terços da altura total da coluna na seção de recuperação ou coleta. As partículas minerais interagem com as bolhas de ar ascendente, introduzido na base da coluna, resultando no processo de coleta das partículas hidrofóbicas. O agregado partícula-bolha formado é então transportado até a seção de limpeza, onde é contactado em contracorrente com a água de lavagem introduzida no topo da coluna. A água de lavagem tem o objetivo de promover a estabilidade e limpeza da espuma, eliminando as partículas carreadas por arraste mecânico. As partículas minerais hidrofóbicas coletadas constituem a fração flotada, sendo separadas das partículas hidrofílicas, que saem pela base da coluna e constituem a fração não flotada.

Em princípio, colunas são a melhor opção para o tratamento de finos, pois melhoram colisão e a coleta das partículas finas. As principais desvantagens das colunas são a mistura no eixo da coluna, o entupimento dos aspersores e problemas quanto à altura final das instalações (JENA et al., 2008). Porém, o aumento do tamanho das células, ocorrido nos últimos anos, está tornando o tratamento de finos por células um cenário mais promissor.

A comparação entre colunas e células para a flotação de finos começou há muitos anos, como no artigo publicado por EL-SHALL e ZUCKER (1982). A maioria dos trabalhos publicados neste sentido está relacionada com a flotação de carvão (JENA et al., 2008; DEY et al., 2013) os quais apontam o desempenho das colunas para finos como sendo melhor do que a das células. No que diz respeito à flotação de finos de minério de ferro, a maior parte dos trabalhos publicados apresentam o desempenho somente de um tipo de equipamento (SANTANA et al., 1996; TURRER et al., 1996; MATIOLO et al., 2012), sendo raro encontrar trabalhos comparando os dois tipos de equipamentos.

Trabalhos realizados no Peru demonstraram que colunas e células apresentaram uma qualidade do concentrado bastante similar na flotação catiônica reversa de minério de ferro. No entanto, as colunas apresentaram uma recuperação de ferro na ordem de 2 a 4% maior do que nas células (MCKAY e FOOT, 1990).

FLINT et al. (1993) atribuíram um melhor desempenho das colunas de flotação para tratar o minério de ferro devido ao processo de lavagem de espuma. Em um estudo realizado pelos mesmos, células produziram um concentrado com um teor de 0,9% de sílica contida, recuperação em massa de 74,1 % e recuperação metalúrgica de 91,7%. Por sua vez, estas mesmas variáveis obtidas em colunas foram de 0,8%, 78,2% e 96,7%.

3.9. Sistema Minas-Rio

A Anglo American possui no Brasil um sistema denominado Minas-Rio, o qual é uma operação de exportação de minério de ferro totalmente integrado, com Mina, Planta de Beneficiamento, Mineroduto, Filtragem e Porto.

Este sistema integrado abastece o mercado mundial de pelotas de minério de ferro com dois tipos de *Pellet Feed* de alto teor de ferro (67 - 68%). Este *Pellet Feed* com alto teor de Ferro e baixo nível de contaminantes é considerado por vários como sendo o melhor do mundo.

O Minas-Rio está localizado nos estados de Minas Gerais e Rio de Janeiro. O minério de ferro é transportado da Mina (cava a céu aberto), localizada em Conceição do Mato Dentro, para a Planta de Beneficiamento, localizada em Alvorada de Minas (MG), via transportadores de correia. O concentrado final deste processo e então conduzido ao longo de um Mineroduto de 529 quilômetros, que atravessa 33 municípios mineiros e fluminenses até chegar na Planta de Filtragem e Porto, localizados em São João da Barra (RJ).

O primeiro embarque de minério de ferro do Sistema Minas-Rio foi realizado em outubro de 2014. A Anglo American possui 100% do Sistema Minas-Rio, com exceção da instalação portuária, a qual detém 50%, em joint venture com a Ferroport a qual detém os outros 50%.

CAPÍTULO 4 - METODOLOGIA

Neste capítulo, são apresentados os materiais, métodos e procedimentos utilizados na realização da parte experimental deste trabalho.

4.1. Material

4.1.1. Amostras Minerais

Duas amostras distintas de minério de ferro, denominadas amostra 1 e amostra 2, foram utilizadas para realização da parte experimental deste trabalho, a qual inclui testes de laboratório em bancada e testes em escala piloto.

Amostra 1 - Composta por 1.000 kg de minério de ferro friável, provenientes de furos de sondagem para certificação da reserva da Serra do Sapo, pertencente à empresa Anglo American Minério de Ferro Brasil.

Amostra 2 - Composta por 30 toneladas de minério de ferro, coletadas na pilha pulmão, situada anteriormente ao processo industrial de moagem, também pertencente à empresa Anglo American Minério de Ferro Brasil.

4.1.2. Reagentes

Na execução dos testes, foram utilizados os seguintes reagentes:

- Coletor catiônico comercial, fornecido pela empresa Clariant Mining (EDA-C);
- Depressor comercial, fornecido pela empresa Kowalski (Flokit 415).

4.2. Métodos

4.2.1. Preparação da Amostra 1

A amostra 1, composta por minério de ferro friável (1.000 kg) proveniente de furos de sondagem, foi inicialmente enviada a um laboratório industrial externo, sendo devidamente britada e peneirada com o propósito de se obter um produto menor do que 6,3 mm. Este tipo de material é normalmente utilizado para certificação de reservas, neste caso tratava-se da certificação da reserva da Serra do Sapo.

O material excedente desse processo de certificação, foi retornado à Planta Piloto do Sistema Minas-Rio, onde o mesmo foi processado, em escala piloto, nos circuitos de moagem, deslamagem, flotação em células convencionais, remoagem e flotação em colunas.

Inicialmente, a amostra 1 foi processada somente nos circuitos de moagem, deslamagem, flotação em células convencionais e remoagem. O objetivo desse processamento foi obter um pré-concentrado com cerca de 55% de Fe contido, o qual fosse utilizado como alimentação nova de um circuito de flotação em colunas (estágio recleaner).

Os equipamentos e parâmetros operacionais utilizados na preparação do pré-concentrado, estão apresentados na Tabela IV.1.

Tabela IV.1: Equipamentos e parâmetros operacionais utilizados na preparação do préconcentrado através da amostra 1

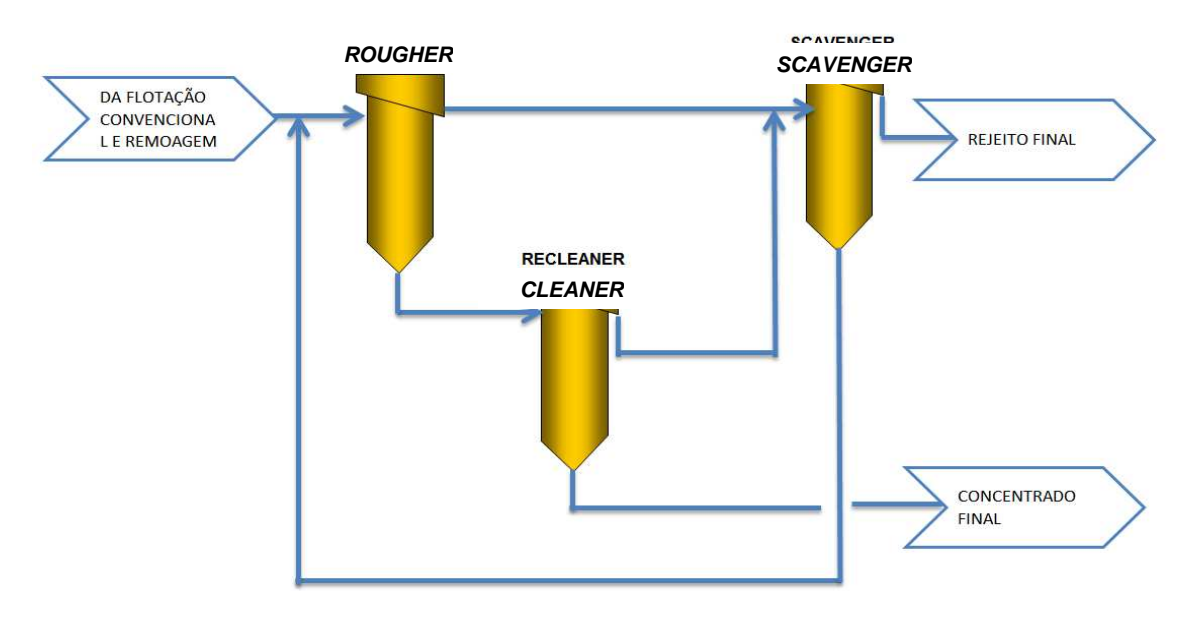
Etapas	Equipamentos	Parâmetros
Moagem	Moinho	Diâmetro = 0,650 m Comprimento = 0,950 m Enchimento = 20% Velocidade critica = 76% Tamanho/distribuição das bolas 50 mm - 41% 38 mm - 44% 25 mm - 15%
	Ciclones Classificação	Diâmetro = 100 mm Inlet = 41 mm Altura = 1.200 mm Vortex = 40 mm Apex = 7 mm
Deslamagem	Ciclones Primário	Diâmetro = 50 mm Inlet = 21 mm Altura = 800 mm Vortex = 13 mm Apex = 6,5 mm
	Ciclones Secundário	Diâmetro = 38 mm Inlet = 20 mm Altura = 570 mm Vortex = 11 mm Apex = 2 mm

Etapas	Equipamentos	Parâmetros
Flotação	Células Convencionais	Linhas = 2 *Estágio = Rougher Tamanho = 28 Litros pH = 10,5 Amina = 70 g/t Amido = 500 g/t *OBS. Para atingir o teor satisfatório de sílica no pré-concentrado, o que poderia ser maior do que o usual, somente o estágio rougher foi considerado neste teste
Remoagem	Moinho	Diâmetro = 1,05 m Comprimento = 1,165 m Enchimento = 36,8% Velocidade critica = 76% Tamanho/distribuição das bolas 50 mm - 41% 38 mm - 44% 25 mm - 15%
	Ciclones Classificação	Diâmetro = 35 mm Inlet = 10 mm Altura = 50 mm Vortex = 4 mm Apex = 9 mm

Após o processamento da amostra 1 através dos circuitos de moagem, deslamagem, flotação em células convencionais e remoagem, foram realizados testes em colunas de flotação simulando o estágio *recleaner*.

O objetivo deste teste foi avaliar o desempenho do circuito de flotação em colunas quanto a um potencial aumento da recuperação metalúrgica do processo atual de concentração do Sistema Minas-Rio através da recuperação da fração mais fina, produzindo um concentrado final com 68% de Fe contido.

Para este teste, inicialmente, um circuito teórico que representasse o circuito de flotação em colunas (estágio *recleaner*) foi estabelecido, baseado em simulações da equipe de processo e sugestões de especialistas / fornecedores. Este circuito teórico está apresentado na Figura 4.1.



Descrição	Alim. nova flot.	Alim. flot. limpeza cleaner	Conc. flot. Iimpeza cleaner	Rej. flot. limpeza cleaner	Conc. flotação de limpeza	Rej. flot. limpeza recleaner	Alim. cleaner scavenger	Conc. cleaner scavenger	Rej. limp. cleaner scavenger
ref. Granulométrica	- 0,044 mm	- 0,044 mm	- 0,044 mm	- 0,044 mm	- 0,044 mm	- 0,044 mm	- 0,044 mm	- 0,044 mm	- 0,044 mm
t/h sólidos	3.743	4.679	3.275	1.404	2.722	554	1.957	936	1.021
% sólidos em peso	34,6%	34,2%	34,3%	34,1%	34,0%	35,8%	34,6%	32,8%	36,3%
t/h polpa	10.830	13.680	9.561	4.119	8.015	1.545	5.665	2.850	2.815
peso específico dos sólidos	4,51	4,46	4,70	3,98	4,90	3,91	3,96	4,26	3,72
m3/h água	7.087	9.001	6.285	2.716	5.294	992	3.707	1.914	1.793
m3/h sólidos	830	1.050	697	353	555	141	494	220	275
m3/h sólidos + água	7.917	10.051	6.982	3.069	5.849	1.133	4.202	2.134	2.068
densidade aparente - t/m3		•	•	•			•	•	
densidade da polpa - t/m3	1,37	1,36	1,37	1,34	1,37	1,36	1,35	1,34	1,36
distribuição de massa	40,1%	50,2%	35,1%	15,0%	29,2%	5,9%	21,0%	10,0%	11,0%
Teor Fe	52,70%	51,16%	62,85%	23,87%	68,00%	37,54%	27,74%	45,00%	11,93%
distribuição de Fe	68,2%	82,8%	71,19%	11,6%	64,0%	7,2%	18,8%	14,6%	4,2%

Figura 4.1: Circuito teórico estabelecido para o circuito de flotação em colunas (estágio *recleaner*).

Posteriormente, o teste de flotação em escala piloto simulando o circuito de flotação em colunas (estágio *recleaner*), conforme estabelecido na Figura 4.1, foi devidamente conduzido por uma equipe técnica de processos. Os equipamentos e parâmetros operacionais, utilizados neste teste, estão apresentados na Tabela IV.2.

Tabela IV.2: Equipamentos e parâmetros operacionais utilizados no teste com colunas de flotação (estágio *recleaner*), para simular o circuito teórico estabelecido para o Sistema Minas-Rio

Iter	าร	Unidade	Rougher	Cleaner	Scavenger
	~ Caluma	Pol.	6	4	4
	ø Coluna	mm	152,4	101,6	101,6
	Comprimento	mm	4191	4191	4191
	Volume coluna	m³	0,076	0,034	0,034
	Hold up	%	30	30	30
Volum	ne efetivo coluna	m³	0,054	0,024	0,024
	% Sólidos	%	33,8	33,9	34,2
(d80 alimentação	μm	40	40	40
%	6Fe alimentação	%	50,6	62,2	27,5
	Sólidos	t/m³	4,5	4,9	3,7
Densidade	Água	t/m³	1,0	2,0	3,0
	Polpa	t/m³	1,4	2,5	3,2
	Vazão sólidos	t/h	0,070	0,049	0,030
	Vazao solidos	m³/h	15,6	10,0	8,2
Recuper	ação em Massa	%	100	70	43
		t/h	0,207	0,145	0,088
	Vazão polpa	m³/h	0,2	0,1	0,0
		l/min	2,5	1,0	0,5
Tami	po de residência	h	0,3505	0,4120	0,8655
16111	o de residencia	min	21,03	24,72	51,93
	Vazão ar	LPM	16	9	7
	vazau al	m³/h	0,96	0,54	0,42
Capacidado	le carregamento	kg _{solids} /m ³	100	100	100
Capacidade C	e carregamento	kg/h	96	54	42

Os dados estabelecidos teoricamente para o circuito de flotação em colunas foram utilizados para definir a vazão de ar necessária a ser utilizada durante o teste em escala piloto. Essas informações, juntamente com a capacidade de carregamento sugerida pelo fornecedor Eriez (2012), foram utilizados para calcular a taxa de alimentação de polpa durante o teste em escala piloto (ver Tabela IV.2).

A alimentação nova (material pré-concentrado) do circuito de flotação em colunas (estágio *recleaner*) foi condicionada com 500g/t de amido gelatinizado com hidróxido de sódio (5/1) por um tempo de 5 minutos. O pH da alimentação nova foi ajustado com uma solução de hidróxido de sódio em 10,5. Amina foi dosada na coluna *rougher* a uma taxa de 35g/t. Desta forma, o teste em escala piloto simulando o desempenho do estágio de flotação *recleaner* foi devidamente realizado.

4.2.2. Preparação da Amostra 2

A amostra 2 composta por 30 toneladas de minério de ferro foi coletada na pilha pulmão, situada anteriormente ao processo industrial de moagem. Esta amostra foi processada em escala piloto no circuito de britagem/peneiramento da planta piloto do Sistema Minas-Rio, com o propósito de se obter um produto menor do que 6,3 mm.

O circuito de britagem/peneiramento foi composto por um britador de mandíbulas (posição aberta de 25 mm) e uma peneira de dois *decks* (abertura de 25 mm e 6,35 mm). O material britado alimentava a peneira de dois *decks*, onde o material retido retornava para o britador fechando o circuito (carga circulante). O material passante nas peneiras, fração menor 6,3 mm, foi estocado para ser utilizado posteriormente em testes de laboratório em bancada e testes em escala piloto.

Inicialmente, um circuito integrado teórico composto pelos circuitos de moagem, deslamagem, flotação em células convencionais, remoagem e flotação em colunas, foi projetado e estabelecido, baseado em baseado em simulações da equipe de processo e sugestões de especialistas, conforme apresentado na Figura 4.2.

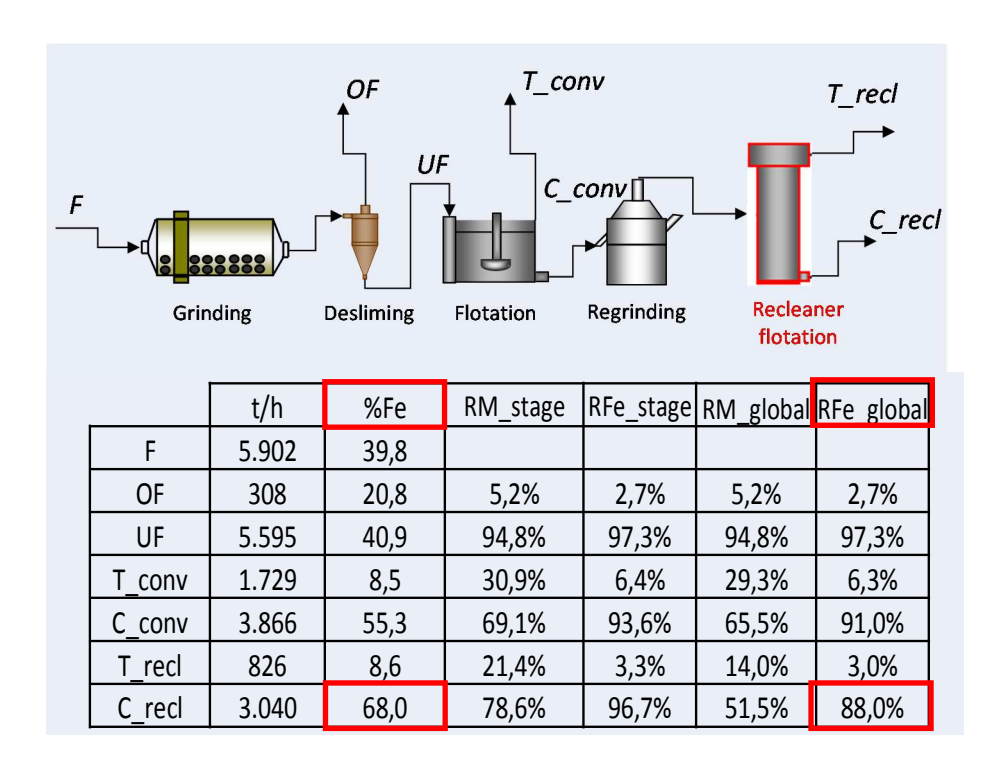


Figura 4.2: Circuito integrado teórico projetado e estabelecido para o Sistema Minas-Rio.

Este circuito integrado teórico teve como premissa a condição de obter uma recuperação metalúrgica global de 88%, com 68% de Fe contido no concentrado final.

Após a definição do circuito integrado teórico, parte do produto da britagem / peneiramento, fração menor 6,3 mm, foi utilizada para realizar testes de laboratório em bancada, objetivando avaliar alguns parâmetros operacionais (consumo energético, cinética de flotação, dosagem de reagentes, recuperação em massa e metalúrgica, etc.) das operações unitárias apresentados na Figura 4.2.

Posteriormente, um teste integrado em escala piloto foi realizado, com o objetivo de verificar a viabilidade técnica e potencialidade de se alcançar um desempenho industrial similar ao definido no circuito integrado teórico da Figura 4.2.

Ambos os testes foram conduzidos por uma equipe técnica de processos no laboratório industrial e na planta piloto do Sistema Minas-Rio.

4.2.2.1 Testes de Laboratório

Um teste de moagem foi realizado em um moinho de laboratório com o objetivo de determinar o consumo energético para atingir um P80 de 118 µm.

Na sequência, um teste de deslamagem foi realizado através da adição de água ao produto moído no laboratório até que a concentração de sólidos da polpa atingisse 20%. Hidróxido de sódio foi adicionada à polpa para ajustar o pH em 10,5. Após mistura manual, a polpa foi descansada e o *overflow* extraído, adicionando-se novamente água até atingir o volume original e esta operação repetida mais uma vez. Os tempos de descanso foram determinados pela equação de Stokes para extrair do *overflow* partículas menores que 21 µm. O objetivo deste teste foi preparar o produto moído para os testes de flotação, bem como verificar as recuperações em massa e metalúrgica desta etapa.

Posteriormente, o produto da deslamagem foi utilizado para realização de testes de flotação, através de células de laboratório de 4,5 L. A porcentagem de sólidos da polpa deslamada foi ajustada para 60% no condicionamento e 40% na flotação. Amina Clariant EDAC e amido Kowaslki Flokit 415 foram preparados com concentração de 1%. O amido foi dosado a 500g/t tendo sido gelatinizado com hidróxido de sódio (5/1), enquanto a amina foi adicionada com diferentes dosagens. O pH da flotação foi ajustado em 10,5. Os tempos de condicionamento do amido e amina foram de 5 e 1 minuto respectivamente. O nível de agitação foi controlado em 1.200 rpm no condicionamento e 1.500 rpm na flotação. O *overflow* das células foi coletado aos 0,5, 1, 2, 4 e 8 minutos e o nível de aeração mantido em 2 LPM. Este teste teve como objetivo determinar a cinética de flotação da hematita e quartzo, bem como a quantificar a dosagem de reagentes necessária para alcançar as premissas estabelecidas na Figura 4.2.

Logo após, um teste de remoagem foi realizado com o produto obtido nos testes de flotação. O concentrado gerado nas células de flotação foi remoído em um moinho de laboratório para determinar o consumo energético para atingir um P80 de 44 µm.

Finalmente, o produto da remoagem foi utilizado para realização de testes de flotação em colunas, objetivando determinar a cinética de flotação da hematita e quartzo, bem como quantificar a dosagem de reagentes necessária para garantir uma recuperação metalúrgica global de 88%, com 68% de Fe contido no concentrado final, conforme definido teoricamente na Figura 4.2.

4.2.2.2 Teste Integrado

Após os testes de laboratório em bancada, um teste com um circuito integrado em escala piloto foi realizado, simulando o circuito teórico estabelecido na Figura 4.2. O objetivo principal deste teste foi verificar a viabilidade técnica e potencialidade de se alcançar um desempenho industrial, similar ao definido teoricamente.

O detalhamento do circuito integrado pode ser visualizado no fluxograma apresentado na Figura 4.3, onde são indicados os pontos de amostragem de água (círculos azuis) e polpa (círculos vermelhos), utilizados para o fechamento dos balanços de água, massa e metalúrgico.

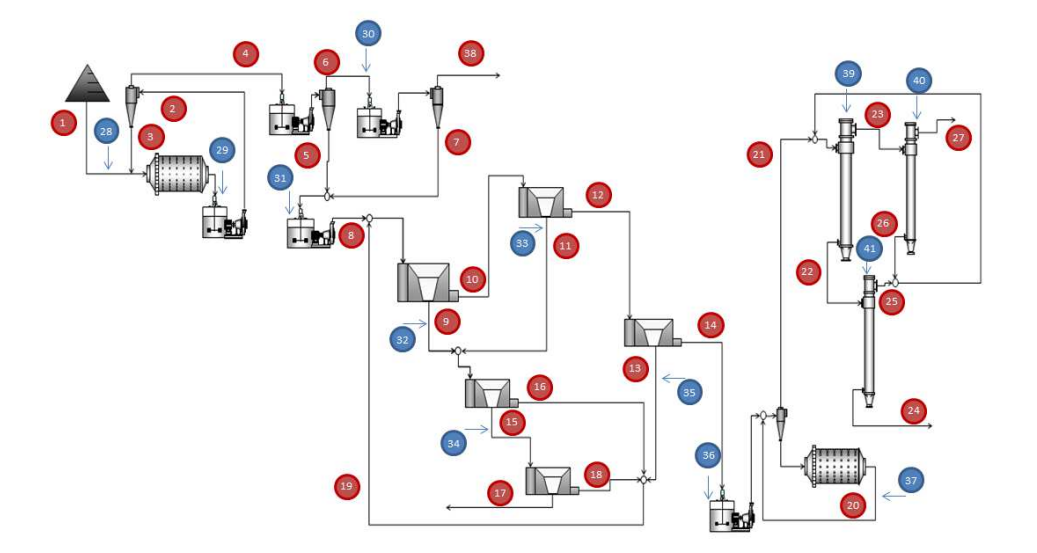


Figura 4.3: Fluxograma representativo do circuito integrado, referente aos testes em escala piloto e respectivos pontos de amostragem.

A amostra 2, preparada no processo de britagem e peneiramento da planta piloto do Sistema Minas-Rio, fração menor que 6,3 mm, foi utilizada como alimentação nova deste circuito integrado, composto pelas operações unitárias de moagem, deslamagem, flotação em células convencionais (estágios *rougher*, *cleaner* e *scavenger*), remoagem e flotação em colunas (estágio *recleaner*). Os equipamentos e parâmetros utilizados nos processos de moagem, deslamagem e remoagem estão descritos na Tabela IV.1.

Para a flotação em células convencionais, destaca-se que para o teste do circuito integrado com a amostra 2, os estágios *rougher*, *cleaner* e *scavenger* foram considerados, diferentemente dos testes com a amostra 1, onde somente o estágio *rougher* foi considerado. Os equipamentos e parâmetros operacionais utilizados para o circuito de flotação em células convencionais estão descritos na Tabela IV.3.

Tabela IV.3: Parâmetros operacionais para o circuito de flotação em células convencionais, referente ao circuito integrado em escala piloto

Estágios	5 (1 rougher, 2 cleaner, 2 scavenger)
Tamanho da célula rougher (litros)	42
Tamanho da célula <i>cleaner and scavenger</i> (litros)	28
Taxa de alimentação (kg/h)	269
Porcentagem de sólidos em peso na alimentação (%)	54
pH da alimentação	10,5
Amina – rougher (g/t)	12,5
Amina – <i>cleaner</i> (g/t)	5,0
Amido (g/t)	500

Para a flotação em colunas (estágio *recleaner*), os equipamentos e parâmetros estabelecidos para o circuito integrado estão apresentados na Tabela IV.4.

Tabela IV.4: Parâmetros operacionais para circuito de flotação em coluna, referente ao circuito integrado em escala piloto

Estágios	3 (rougher, cleaner, scavenger)
Tamanho da coluna rougher (litros)	76.4
Tamanho da coluna <i>cleaner and</i> scavenger (litros)	34.0
Taxa de alimentação (kg/h)	70 – 140
Porcentagem de sólidos em peso na alimentação (%)	30
pH da alimentação	10.5
Amina – rougher (g/t)	35
Amido (g/t)	500

4.3. Análises Auxiliares

Análises granulométricas foram realizadas em peneiramento a úmido com peneiras circulares de 20 mm de diâmetro até a fração de 0,038 mm. Abaixo dessa fração a análise granulométrica foi realizada em cyclosizer.

Análises da composição química foram determinadas por espectroscopia de raios-X em pó prensado.

A densidade dos sólidos foi determinada por picnometria manual, enquanto a densidade da polpa foi determinada por balança Marcy.

CAPÍTULO 5 - RESULTADOS E DISCUSSÕES

Neste capítulo, são apresentados os resultados e discussões referente à parte experimental, realizada durante a elaboração deste trabalho.

5.1. Análise Técnica - Amostra 1

O processamento da amostra 1 através dos circuitos de moagem, deslamagem, flotação em células convencionais e remoagem, originou um produto denominado pré-concentrado, o qual apresentou P80 igual a 40,4 µm, conforme anexo 1.

Este pré-concentrado foi utilizado como alimentação nova nos testes do circuito de flotação em colunas (estágio *recleaner*), o qual foi realizado através de duas simulações distintas, conforme apresentado a seguir:

- 1ª Simulação Circuito de Flotação em Colunas Amostragem dos Fluxos Principais do Processo
- 2ª Simulação Circuito de Flotação em Colunas Amostragem de Todos os Fluxos do Processo

5.1.1. 1ª Simulação – Circuito de Flotação em Colunas – Amostragem dos Fluxos Principais do Processo

Nesta 1ª simulação do circuito de flotação em colunas (estágio *recleaner*), somente os fluxos principais do processo (alimentação nova, concentrado final e rejeito final) foram amostrados. Os resultados experimentais alcançados neste teste estão apresentados na Tabela V.1.

Tabela V.1: Resultados experimentais alcançados na 1ª simulação do circuito de flotação em coluna (estágio *recleaner*), amostrando somente os fluxos principais do processo

Fluxo	Tempo (s)	Polpa (g)	Sólidos (g)	Taxa kg/h	% Sólidos	%Fe	%Al ₂ O ₃	%SiO ₂	%P
Alimentação	150	6.915	2.245	54	32,5	50,89	0,314	26,87	0,014
Rejeito	360	3.040	1.365	14	44,9	9,95	0,293	83,43	0,008
Concentrado	360	12.405	3.735	37	30,1	68,67	0,11	0,29	0,018

Um comparativo entre os resultados esperados teoricamente para o circuito de flotação em colunas (*estágio recleaner*), conforme estabelecido na Figura 4.1, e os resultados consolidados alcançados nesta 1ª simulação, estão apresentados na Tabela V.2.

Tabela V.2: Resultados experimentais esperados teoricamente (Figura 4.1) versus resultados consolidados alcançados para a 1ª simulação do circuito de flotação em coluna (estágio recleaner)

Fluxo	Res	ultados Espera (Teórico)	ados	Resultados Alcançados (Experimental)			
Tidxo	%Fe		%RM %RFe		%Fe %RM		
А	52,7	-	-	52,1	-	-	
R	11,9	27,3	6,4	9,8	27,6	5,2	
С	68,0	72,7	95,1	68,3	72,4	94,8	

Os resultados da Tabela V.2, demonstram uma boa aderência entre os resultados alcançados nesta 1ª simulação e os resultados esperados teoricamente conforme Figura 4.1. Além disto, pode-se observar que a recuperação metalúrgica de ferro no concentrado foi igual a 94,8%, o que determina um ótimo desempenho para o circuito testado.

No entanto fluxos intermediários não foram amostrados nesta 1ª simulação, o que impede a determinação de outros parâmetros importantes (recuperação metálica por etapa, taxa de carregamento, carga circulante, etc.) para uma análise mais profunda do desempenho deste circuito de flotação.

5.1.2. 2ª Simulação – Circuito de Flotação em Colunas - Amostragem de Todos os Fluxos do Processo

Na 2ª simulação do circuito de flotação em colunas (estágio *recleaner*), amostras foram coletadas em todos os fluxos do processo considerando três condições diferentes.

- Condição 1: Representa a condição padrão, similar a 1ª simulação. Nesta condição o nível de espuma foi ajustado com base na experiência de operadores e especialistas.
- Condição 2: O fluxo de alimentação nova foi aumentado significativamente.
- Condição 3: O nível de espuma foi ajustado conforme faixa sugerida pelo fornecedor Eriez (2012).

Os parâmetros operacionais registrados durante a realização desta 2ª simulação estão detalhados no anexo 2, enquanto que os resultados experimentais alcançados estão apresentados nas Tabelas V.3, V.4 e V.5.

Tabela V.3: Condição 1 - resultados experimentais alcançados na 2ª simulação do circuito de flotação em coluna (estágio recleaner), amostrando todos os fluxos do processo

	Fluxo	Tempo (s)	Polpa (g)	Sólidos (g)	Taxa kg/h	% Sólidos	%Fe	%Al ₂ O ₃	%SiO ₂	%P
	Alimentação	50	2750	1022	74	37,2	55,34	0,271	21,82	0,01
Rougher	Rejeito	180	2900	1059	21	36,5	13,52	0,497	78,79	0,009
	Concentrado	120	5950	1963	59	33,0	69,16	0,215	0,6	0,016
Claanar	Rejeito	300	602	280	3	46,5	64,65	0,578	4,41	0,029
Cleaner	Concentrado	200	10800	3172	57	29,4	69,08	0,182	0,39	0,013
Scavenger	Rejeito	200	4650	1227	22	26,4	9,87	0,521	83,37	0,008
	Concentrado	240	3900	375	6	9,6	68,81	0,292	0,94	0,018

Tabela V.4: Condição 2 - resultados experimentais alcançados na 2ª simulação do circuito de flotação em coluna (estágio recleaner), amostrando todos os fluxos do processo

	Fluxo	Tempo (s)	Polpa (g)	Sólidos (g)	Taxa kg/h	% Sólidos	%Fe	%Al ₂ O ₃	%SiO ₂	%P
	Alimentação	60	6550	2403	144	36,7	52,5	0,277	25,31	0,009
Rougher	Rejeito	120	3950	1555	47	39,4	18,35	0,446	70,94	0,01
	Concentrado	60	5800	2037	122	35,1	69,32	0,222	0,55	0,016
Cleaner	Rejeito	300	800	395	5	49,4	63,95	0,543	4,78	0,029
Clearler	Concentrado	110	10500	3442	113	32,8	69,37	0,197	0,4	0,014
Scavenger	Rejeito	110	4200	1196	39	28,5	15,52	0,449	74,12	0,009
	Concentrado	180	2850	1359	27	47,7	69,02	0,243	0,54	0,017

Tabela V.5: Condição 3 - resultados experimentais alcançados na 2ª simulação do circuito de flotação em coluna (estágio recleaner), amostrando todos os fluxos do processo

	Fluxo	Tempo (s)	Polpa (g)	Sólidos (g)	Taxa kg/h	% Sólidos	%Fe	%Al ₂ O ₃	%SiO ₂	%P
	Alimentação	30	3100	1129	135	36,4	51,51	0,281	26,85	0,009
Rougher	Rejeito	40	2300	829	75	36,0	19,09	0,432	69,6	0,01
	Concentrado	50	4450	1341	97	30,1	69,06	0,244	0,66	0,017
Claanar	Rejeito	100	1050	263	9	25,0	66,61	0,481	2,32	0,028
Cleaner	Concentrado	110	10350	3432	112	33,2	69,26	0,191	0,34	0,015
Scavenger	Rejeito	110	2450	672	22	27,4	11,87	0,372	79,75	0,008
	Concentrado	60	4250	574	34	13,5	66,44	0,574	2,61	0,029

Os resultados consolidados alcançados durante esta 2ª simulação para o circuito de flotação em colunas (estágio *recleaner*) estão detalhados no anexo 3.

Durante a condição 3, problemas operacionais diversos foram identificados pela equipe técnica responsável pelo teste, afetando a estabilidade do processo o que pode ter afetado a confiabilidade dos resultados obtidos durante o mesmo.

Além disso, a condição 3 apresentou a pior reconciliação dos resultados dentre todas as condições testadas, com uma quantidade muito pequena de material flotado no estágio *cleaner*.

Por último, foi observado para a condição 3 que a alteração no nível de espuma nas colunas *cleaner* e *scavenger* não resultou no comportamento esperado pela equipe técnica. A causa pode ter sido a instabilidade operacional que ocorreu durante o teste devido a problemas operacionais diversos.

Sendo assim, foi definido que para uma avaliação geral de desempenho do circuito de flotação em colunas (estágio *recleaner*), o teste da condição 3 seria desconsiderado.

Os testes realizados para as condições 1 e 2 apresentaram tempo de residência, capacidade de carregamento e velocidade do ar de acordo com os números sugeridos pelo fornecedor Eirez (2012), conforme apresentado no anexo 4. Apenas a coluna *scavenger* para a condição 2 apresentou capacidade de carregamento da espuma e ar próximo ao limite máximo recomendado pelo fornecedor.

Um comparativo entre os resultados esperados teoricamente para o circuito de flotação em colunas (*estágio recleaner*), conforme estabelecido na Figura 4.1, e os resultados consolidados alcançados nesta 2ª simulação teste estão apresentados na Tabela V.6.

Tabela V.6: Resultados experimentais esperados teoricamente (Figura 4.1) versus resultados consolidados alcançados para 2ª simulação do circuito de flotação em coluna nas condições 1 e 2

Fluxo	Resul	Resultados Esperados (Teórico)			ados Alcar Condição 1	•	Resultados Alcançados (Condição 2)			
Tiuxo	%Fe	%RM	%RFe	%Fe	%RM	%RFe	%Fe	%RM	%RFe	
А	52,7	-	-	53,8	-	-	54,3	-	-	
R	11,9	27,3	6,4	10,0	26,5	4,9	15,3	27,9	7,9	
С	68,0	72,7	95,1	69,6	73,6	95,1	69,5	72,1	92,1	

Os resultados da Tabela V.6 demonstram uma boa aderência entre os resultados alcançados na 2ª simulação e os resultados esperados teoricamente. Além disso, pode-se observar que as recuperações metalúrgicas de ferro no concentrado alcançadas para as condições 1 e 2, 95,1% e 92,1% respectivamente, determinam um ótimo desempenho para o circuito testado.

As condições 1 e 2 apresentaram resultados similares para qualidade do concentrado final, 69,6% e 69,5% respectivamente. Porém a condição 1 apresentou recuperação metalúrgica de Fe no concentrado maior que a condição 2. O fato da recuperação metalúrgica de Fe no concentrado para condição 1 (95,1%) ser maior que a recuperação metalúrgica de Fe no concentrado para a condição 2 (92,1%), se deve provavelmente ao fato do tempo de residência adotado durante o teste para condição 1 ser maior que o tempo de residência adotado para condição 2, conforme apresentado no anexo 4.

O *hold up*, o qual foi considerado inicialmente através da tabela IV.2 como sendo 30%, foi alterado para 20%, após discussões com fornecedores de colunas de flotação e revisão da literatura (SANTANA et al., 1996), o que contribuiu para os dados consolidados alcançados na Tabela V.6.

Por último, pode-se verificar que os resultados consolidados (anexo 3) apontam a possibilidade de não usar as colunas *cleaner*, desde que as colunas *rougher* produzam um concentrado com boa qualidade e alta recuperação metalúrgica.

No entanto, a opção de utilizar colunas *cleaner* deve ser considerada com cautela, uma vez que aumentaria drasticamente o risco de não produzir concentrado com a qualidade final esperada, devido a alguma variação no processo devido a qualidade do minério alimentado ou problemas operacionais.

5.2. Análise Técnica - Amostra 2

A amostra 2, proveniente da pilha pulmão do Sistema Minas-rio, apresentava a composição química demonstrada na tabela V.7.

Tabela V.7: Composição química da amostra 2

%Fe	%Al ₂ O ₃	%SiO ₂	%P	%CaO	%MgO	%Mn	%TiO ₂
40,2	1,82	39,9	0,05	0,031	0,0006	0,072	0,044

Este material foi utilizado para os testes de laboratório em bancada e testes em escala piloto composto por um circuito integrado de moagem, deslamagem, flotação em células convencionais (estágio *rougher*, *cleaner e scavenger*), remoagem e flotação em colunas (estágio *recleaner*), na planta piloto do Sistema Minas-Rio.

5.2.1. Testes de Laboratório

Parte da amostra 2 foi utilizada para realizar testes de laboratório em bancada, objetivando avaliar alguns parâmetros operacionais (consumo energético, consumo de reagentes, cinética de flotação, recuperação em massa e metalúrgica, etc.) das operações unitárias apresentados na Figura 4.2.

5.2.1.1 Moagem

Um teste de moagem foi realizado em moinho de laboratório, utilizando como alimentação o produto da britagem/peneiramento, fração menor 6,3 mm, com o objetivo de determinar o consumo energético necessário para atingir um P80 de 118 µm.

O resultado deste teste demonstra um consumo energético necessário de 5,4 kWh/t, para alcançar o P80 de 118 µm, conforme apresentado no anexo 5. Este resultado nos possibilitará a determinar da taxa de alimentação necessária para o teste do circuito integrado em escala piloto.

5.2.1.2 Deslamagem

O teste de deslamagem teve como objetivo principal preparar o produto da moagem para os testes de flotação, sendo realizado através da adição de água ao produto moído, até que a concentração de sólidos da polpa atingisse 20%. Hidróxido de sódio foi adicionado à polpa para ajustar o pH em 10,5. O tempo de descanso necessário foi determinado pela equação de Stokes para extrair do *overflow* partículas menores que 21 µm, conforme apresentado no anexo 6.

Um comparativo entre os resultados teóricos esperados para a Figura 4.2 e os resultados consolidados obtidos no teste para as recuperações em massa e metalúrgica, estão apresentados na Tabela V.8.

Tabela V.8: Resultados experimentais esperados teoricamente (Figura 4.2) versus resultados consolidados obtidos para o teste de deslamagem em bancada

Resultados	Esperados	Resultados Alcançados			
(Teó	rico)	(Experimental)			
%RM (Underflow) %RFe (Underflow)		%RM (<i>Underflow)</i>	%RFe (<i>Underflow)</i>		
94,8	97,3	87,5	91,2		

Observa-se que as recuperações mássica e metalúrgica obtidas através do teste de deslamagem foram inferiores às definidas teoricamente na Figura 4.2, o que pode ter ocorrido devido ao método utilizado no teste (balde), o qual é mais eficiente que ciclones. No entanto, este fato não afetará o resultado dos testes seguintes.

5.2.1.3 Flotação em Células Convencionais

Testes de flotação foram realizados em células de laboratório de 4,5L, utilizando o produto da deslamagem, objetivando quantificar a dosagem de reagentes necessária para garantir um pré-concentrado com 55% de Fe contido, conforme figura 4.2, bem como determinar a cinética de flotação do quartzo e hematita.

Os parâmetros e resultados experimentais, obtidos para os testes de flotação em células convencionais e testes de cinética, estão detalhados no anexo 7 e 8 respectivamente.

Um resumo dos resultados dos testes de flotação em células convencionais é apresentado na Figura 5.1, demonstrando que para garantir um pré-concentrado com teor de ferro de 55% seria necessário realizar uma dosagem de amina na ordem de 17,5 g/t.

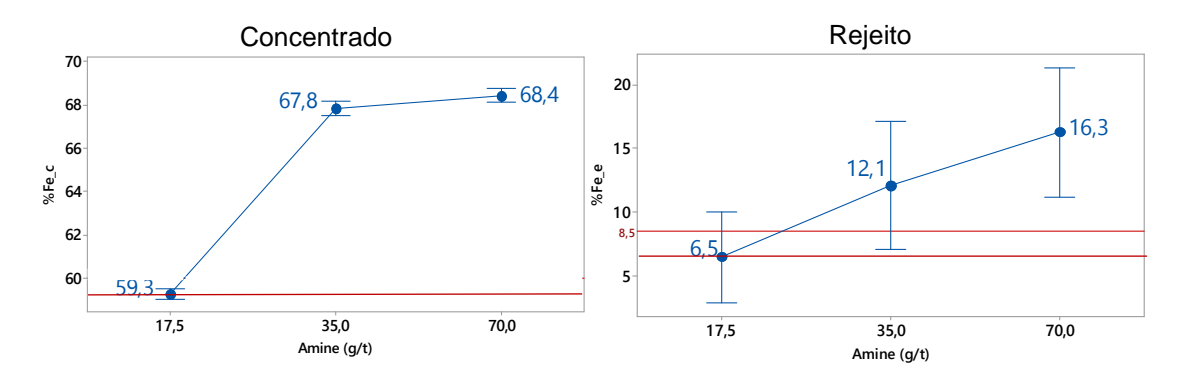


Figura 5.1: Dosagem de amina versus teor de ferro obtido para o concentrado e rejeito, para o circuito de flotação em células convencionais.

A dosagem de 17,5 g/t de amina ocasionou um teor de ferro no rejeito na ordem de 6,5% o qual atende ao limite superior de ferro no rejeito, estabelecido em 8,5%.

Com relação a cinética de flotação, observou-se que a constante cinética do quartzo e hematita apresentam valores similares, 0,53 e 0,51, respectivamente, para uma dosagem de amina de 17,5 g/t..

5.2.1.4 Remoagem

O teste de remoagem foi realizado em un noinho de laboratório, utilizando o produto da flotação em células convencionais, com o objetivo de determinar o consumo energético necessário para atingir um P80 de 44 µm.

O resultado deste teste demonstra um consumo energético necessário de 6,9 kWh/t, para alcançar o P80 de 44 µm, conforme apresentado no anexo 9.

No entanto, levando em consideração que o Sistema Minas-Rio utiliza moinhos verticais para o processo de remoagem, os quais apresentam um melhor rendimento de energia quando comparados com o tipo de moinho utilizado no teste, faznecessário utilizar o fator de correção de 0,65 (MAZZINGHY et al., 2013) para corrigir o valor obtido experimentalmente.

Aplicando este fator de correção estabelecido, observamos que o consumo energético necessário para alcançar o P80 igual a 44 µm é de 4,5 kWh/t.

5.2.1.5 Flotação em Colunas

Testes de flotação em colunas foram realizados em laboratório, utilizando o produto da remoagem, para quantificar a dosagem de reagente necessária para garantir um concentrado com 68% de ferro, bem como determinar a cinética de flotação do quartzo e hematita, conforme estabelecido teoricamente na Figura 4.2.

Os parâmetros e resultados experimentais, obtidos para os testes de flotação em colunas e testes de cinética, estão detalhados no anexo 10 e 11 respectivamente.

Um resumo dos resultados dos testes de flotação em coluna é apresentado na figura 5.2, demonstrando que para obter-se o concentrado com teor de ferro de 68% foi necessário realizar uma dosagem de amina na ordem de 35 g/t.

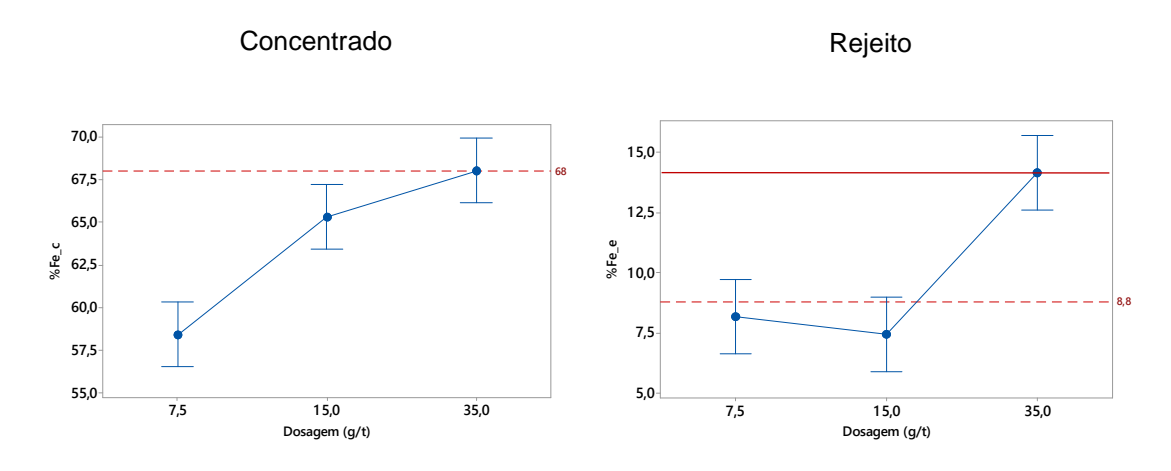


Figura 5.2: Dosagem de amina versus teor de ferro obtido para o concentrado e rejeito, para o circuito de flotação em colunas.

Porém esta dosagem de 35 g/t de amina ocasionou um teor de ferro da ordem de 14,3% para o rejeito, o que é relativamente alto, uma vez que se foi estabelecido como limite superior de ferro no rejeito o valor estabelecido de 8,5%.

Com relação a cinética de flotação, observa-se que a constante cinética do quartzo é sempre maior que a constante cinética da hematita, especialmente para as dosagens de 7,5 g/t e 35 g/t de amina. Observa-se também que ambos os minerais para a dosagem de amina de 35g/t apresentaram uma cinética de flotação consideravelmente alta (quartzo = 1,1 e hematita = 0,81), conforme apresentado na figura 5.3.

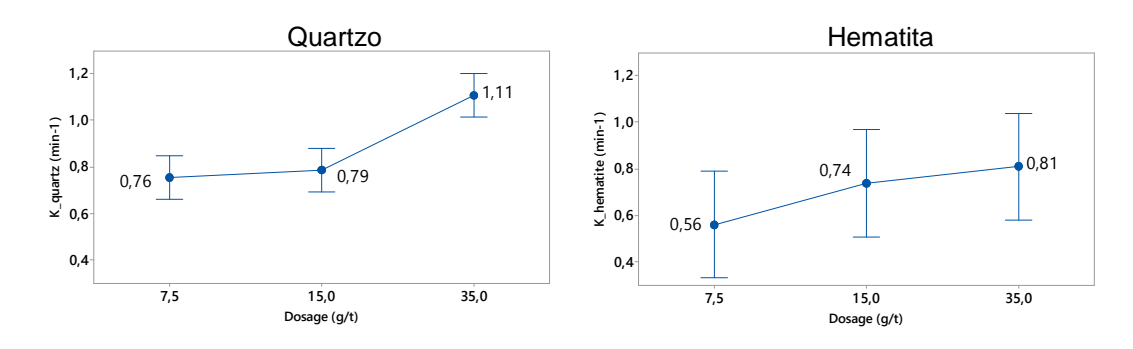


Figura 5.3: Dosagem de amina versus constante cinética de flotação para o quartzo e hematita, para o circuito de flotação em colunas.

5.2.1.6 Configuração do Circuito Flotação Misto (Células + Colunas) para o Teste Integrado

Baseado nos resultados obtidos nos testes de flotação em laboratório (dosagem de reagentes e cinética de flotação), realizados para o circuito de flotação em células convencionais e o circuito de flotação em colunas (estágio *recleaner*), foram configurados dois cenários distintos, apresentados na figura 5.4.

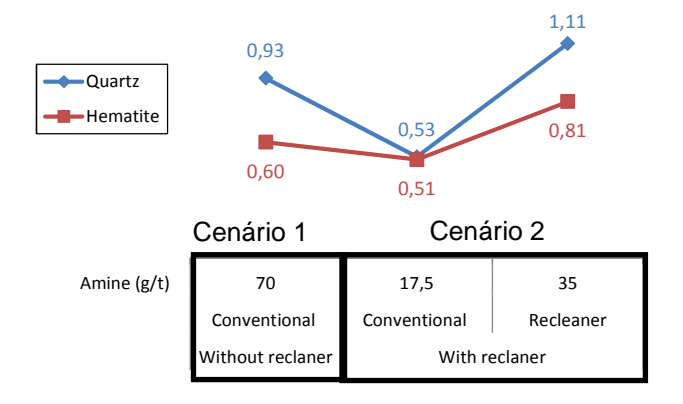


Figura 5.4: Configuração de dois cenários distintos de flotação, baseado nos testes de laboratório.

A composição desses cenários é apresentada a seguir:

- Cenário 1 (Atual): Circuito de flotação sem o estágio recleaner, ou seja, circuito de flotação composto somente por células de flotação convencionais (situação atual do Sistema Minas-Rio);
- Cenário 2 (Proposto): Circuito de flotação com estágio recleaner, ou seja, circuito de flotação misto com células de flotação convencionais e colunas de flotação (situação proposta para o Sistema Minas-Rio).

Ambos os cenários 1 e 2 tem como premissa alcançar um concentrado final com 68% de ferro contido, o que pode ser obtido mediante a dosagem de 70g/t amina para o cenário 1 (somente células convencionais), bem como a dosagem de 17,5 g/t e 35 g/t de amina no cenário 2 (circuito misto = células convencionais + colunas), conforme demonstrado através dos testes de laboratório.

Neste caso, a premissa estabelecida para o rejeito final, a qual determina que o limite superior de ferro no rejeito não ultrapassasse 8,5%, não foi atendida por nenhum dos cenários. O cenário 1 demonstra um teor de ferro no rejeito final de 16,3% mediante a dosagem de 70g/t de amina conforme Figura 5.1, enquanto que o cenário 2 demonstra um teor de ferro no rejeito de 14,3%, para a dosagem de 17,5 e 35g/t de amina no circuito misto, conforme Figura 5.2.

Vale destacar que durante os testes de laboratório, a adição de amina foi realizada somente nas colunas *rougher* para o circuito de flotação em colunas. Para sanar este problema, foi sugerido por consultores e especialistas que para o circuito integrado, constituído pelo cenário 2, contemplásse a injeção de amina também nas colunas *scavenger*, de forma a potencializar a recuperação do ferro contido no rejeito final, possibilitando assim atender a premissa estabelecida para o rejeito final.

Uma análise dos cenários apresentados pode ser realizada com relação a dosagem de reagentes, onde verificamos que o consumo de amina do cenário 2 (52,5 g/t) é consideravelmente inferior ao consumo de amina do cenário 1 (70g/t).

Uma outra análise que pode ser realizada para estes cenários é referente ao potencial aumento da recuperação metalúrgica com a implantação do cenário 2 (estágio *recleaner*). Sabe-se que o circuito de flotação atual do Sistema Minas-Rio é composto apenas por células convencionais (cenário 1), estando configurado para alcançar uma recuperação metalúrgica de 80%, com 68% Fe no concentrado final. Um comparativo entre o cenário atual do Sistema Minas-Rio e a implantação do cenário 2, composto por células convencionais e colunas, devidamente configurado para alcançar uma recuperação metalúrgica global de 88%, com 68% Fe no concentrado final é apresentado na Figura 5.5.

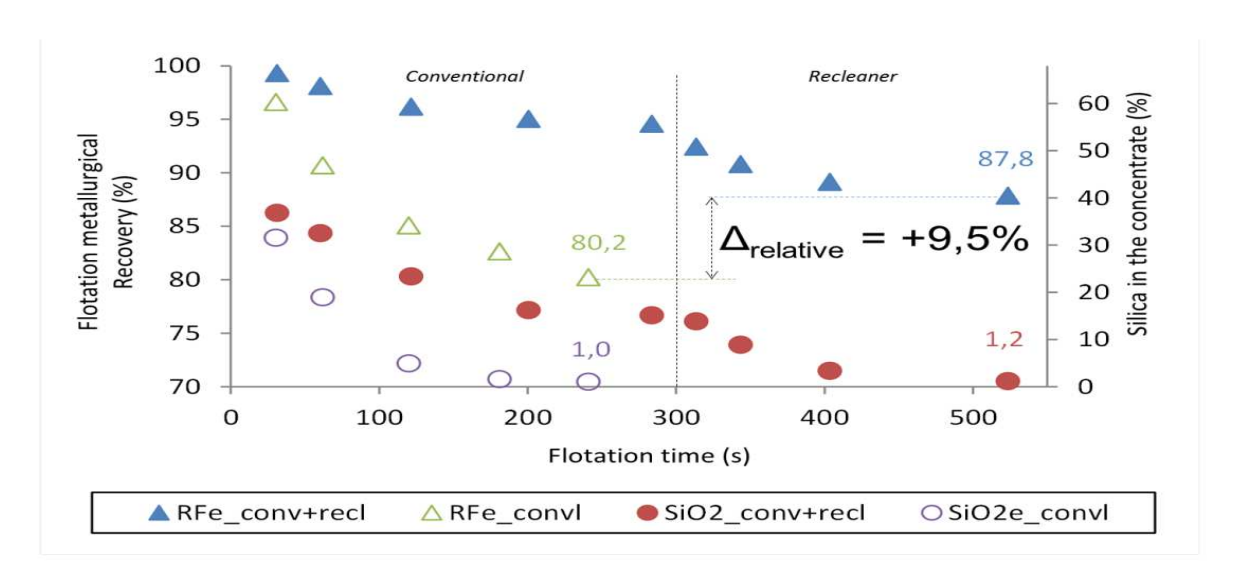


Figura 5.5: Comparativo entre a recuperação metalúrgica do cenário atual do Sistema Minas-Rio (ReFe_convl = 80,2%) versus implantação do cenário 2 (RFe_conv+recl = 87,8%).

Estes resultados demonstram que a implementação do cenário 2 permitirá ao Sistema Minas-Rio aumentar sua recuperação metalúrgica de atuais 80,2% para aproximadamente 87,8%, o que significa um aumento de 9,5% em valores relativos. Este aumento da recuperação metalúrgica é também apresentado na Tabela V.9.

Tabela V.9: Recuperações metalúrgicas para o cenário atual e cenário 2

		Cenário 1 (Atual) (Células Convencionais)			Cenário 2 (Porposto) (Células Convencionais + Colunas)				as)		
		Α	а	С	С	RFe	Α	а	С	С	RFe
Ī	RFe Flotação	6.154	40,9	3.040	68,0	82,2	6.154	40,9	3.329	68,0	90,0
ſ	RFe Global	6.492	39,8	3.040	68,0	80,2	6.492	39,8	3.329	68,0	87,8

5.2.2. Teste Integrado

O teste integrado em escala piloto foi realizado na planta piloto do Sistema Minas-Rio em diferentes dias, procurando simular o circuito integrado composto pelas operações unitárias da moagem, deslamagem, flotação em células convencionais, remoagem e flotação em colunas (estágio *recleaner*). Os resultados deste teste, com informações detalhadas de cada uma das operações unitárias estão apresentados no anexo 12, 13, 14 e 15.

Diversas amostras foram colhidas durante a realização do teste integrado em escala piloto, conforme ilustrado na Figura 4.3, onde são visualizados os pontos de amostragem de água (círculos azuis) e polpa (círculos vermelhos) utilizados para o fechamento dos balanços de água, massa e metalúrgico. Os resultados com informações detalhadas obtidos nas amostragens realizadas durante o teste integrado estão apresentados no anexo 16 e 17.

Vale destacar que o *hold up* para as colunas de flotação foi determinado utilizando um sensor de pressão instalado no interior das colunas. Os valores obtidos através desta medição podem ser encontrados no anexo 18, demostrando que o mesmo ficou entre 19,6 e 24,4%.

Um resumo dos resultados obtidos para o circuito de flotação no teste integrado é apresentado na Tabela V.10, demonstrando que o circuito integrado testado, apresentou resultados muito promissores em relação à recuperação metalúrgica, com a utilização de um circuito de flotação misto (células convencionais + colunas).

Tabela V.10: Desempenho do teste integrado em escala piloto para os circuitos de flotação em células convencionais e colunas

Flotação	Resultado Experimental					Esp	erado		
	Dia	%	%	%	%	%RM	%RFe	%	%RFe
	Dia	Fe	Al_2O_3	SiO ₂	Р	Estágio	Estágio	Fe	Estágio
Células Convencionais	02/fev	59,74	0,90	11,78	0,052	65,2	92,4		
	03/fev	51,2	1,03	24,13	0,054	68,8	92,5	60,0	92,3
	9/mar	46,13	0,93	33,1	0,05	72,7	94,5	00,0	32,3
	10/mar	65,21	0,63	4,65	0,045	54,9	88,0		
Coluna	11/mar	68,01	0,48	1,58	0,047	73,0	96,2	68,0	98,0
	12/mar	66,41	0,6	3,48	0,051	78,9	97,5	00,0	30,0

Baseado nestes resultados experimentais, alguns parâmetros operacionais foram determinados, conforme apresentado no anexo 19. Esses parâmetros fornecem algumas indicações importantes para testes futuros, tais como, diminuição do fluxo de ar e aumento da taxa de sólidos.

Dados de amostragem obtidos durante a realização dos testes foram utilizados para a reconciliação dos valores medidos. Uma vez que algumas operações unitárias apresentaram diferente taxa de alimentação como, por exemplo, a moagem e deslamagem apresentaram o dobro de capacidade da flotação, os valores experimentais medidos da taxa de polpa e sólidos foram reconciliados. As premissas e resultados da reconciliação são apresentados integralmente no anexo 20 e resumidos na Figura 5.6.

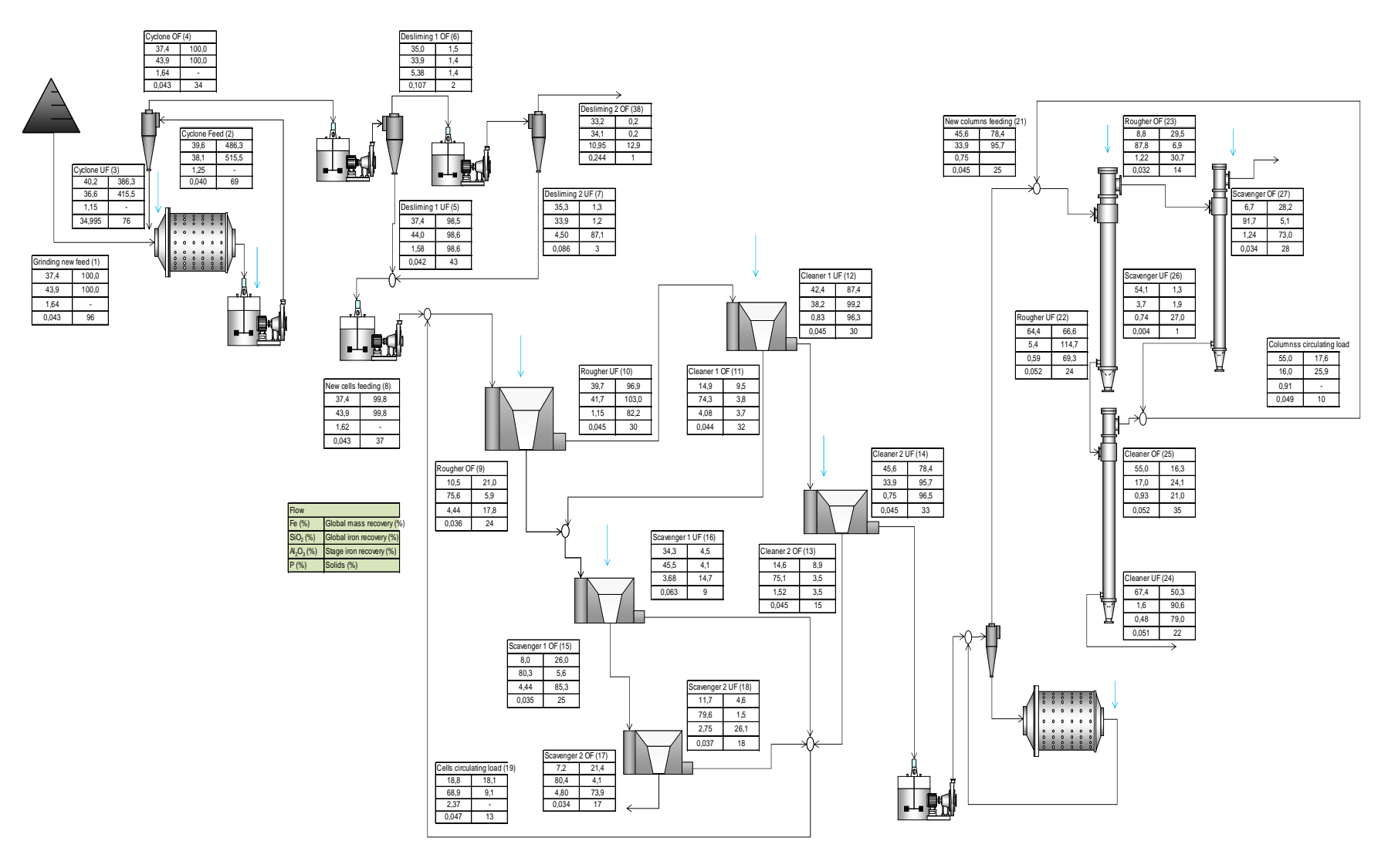


Figura 5.6: Desempenho global final reconciliado, referente aos testes integrado em escala piloto, simulando o circuito integrado.

De uma forma geral, os resultados do teste do circuito integrado em escala piloto comprova claramente que a implantação do circuito de flotação em colunas (estágio *recleaner*) pode ser considerada tecnicamente viável, possibilitando o aumento real da recuperação metalúrgica do processo atual de concentração do Sistema Minas-Rio de 80% para 88%, através do aumento da recuperação de finos, sem que ocorra perda de qualidade do produto final.

5.3. Análise Comercial

5.3.1. Oportunidade de Retorno Financeiro

Conforme sessões anteriores, testes de laboratório e testes em escala piloto demonstraram tecnicamente que o potencial total da recuperação metalúrgica do Sistema Minas-Rio é significativamente mais elevado do que o valor praticado atualmente de 80%, obtido através do processo de concentração em células convencionais.

A fim de maximizar o retorno do investimento financeiro do Sistema Minas-Rio, foi identificada uma oportunidade real para aumentar a eficiência da recuperação metalúrgica, através da implantação de um circuito de flotação em colunas (estágio *recleaner*). Esta solução proposta otimizará de forma geral o processo de concentração do Sistema Minas-Rio, gerando assim ganhos financeiros diretos e consequentemente acelerando o retorno de capital investido.

Na configuração atual do Sistema Minas-Rio, o qual está localizado no município Conceição do Mato Dentro (MG), o produto final da flotação em células convencionais é totalmente liberado em um circuito de remoagem, preparando o material para bombeamento, através de um mineroduto de 532 Km de extensão, até a planta de filtragem, localizada no município de São João da Barra (RJ).

No entanto, os benefícios metalúrgicos disponíveis, provenientes do processo de liberação no circuito de remoagem, não são aproveitados antes de realizar esse bombeamento. Com a introdução do circuito de flotação em colunas, certamente será possível otimizar o processo de flotação, através do aumento da recuperação metálica de finos, obtendo assim o máximo potencial da recuperação metalúrgica e, consequentemente, garantindo a especificação final do produto.

Através da implantação do circuito de flotação em colunas (estágio *recleaner*), o Sistema Minas-Rio terá a capacidade de mudar sua curva de recuperação metalúrgica, alcançando uma recuperação total de 88%, resultado consideravelmente superior ao valor atualmente praticado de 80%.

5.3.2. Benefícios Indiretos

Enquanto o aumento na recuperação metalúrgica é a principal justificativa para implantação do circuito de flotação em colunas (estágio *recleaner*), proporcionando o aumento do volume de produção metálica, existem outros benefícios indiretos esperados, tais como:

- aumento da capacidade final de produção, sendo esperado um aumento equivalente na recuperação em massa total da ordem de 4% (Cenário Atual = 46,8% X Cenário com a Implantação do Estágio Recleaner = 50,8%), considerando um teor de alimentação da ordem de 39,8% de Fe (ROM);
- maior flexibilidade operacional da planta de beneficiamento para absorver variações na qualidade do material proveniente da Mina (ROM), mantendo a especificação final do produto;
- menor variabilidade e melhor estabilidade do processo operacional da planta de beneficiamento;

 probabilidade reduzida em produzir um Pellet Feed com teor de sílica contida além do limite superior especificado, com a existência de dois circuitos de flotação (células convencionais e colunas) em série.

Cada circuito de flotação (células convencionais e colunas) terá sua meta de teor de sílica para o concentrado. No entanto, se o objetivo não é atingido no primeiro circuito (células), ações podem ser tomadas como, por exemplo, alterar as dosagens de reagentes ou de outros parâmetros operacionais no segundo circuito (colunas), para garantir a especificação final do produto.

 menor taxa de disposição de rejeitos para a barragem. Espera-se que o volume de material enviado para barragem de rejeitos (*underflow* espessador de lamas) venha a ser reduzido, conforme apresentado na Tabela V.11.

Tabela V.11: Expectativa para o underflow do espessador de lamas para o cenário atual e o cenário com a implantação do estágio *recleane*r

Cenário	UF Espesssador de Lamas						
	% sol	t/h	% Fe	t/m³	m³/h		
Cenário Atual	60	3.453	15,0	3,44	3.306		
Cenário com Estágio Recleaner	60	2.863	9,9	3,42	2.746		
Diferença (%)	-	-17	-	-	-17		

 aumento da vida útil da barragem, devido ao menor volume de material enviado para mesma, implicando assim no adiamento de investimentos necessários para alteamento e extensão da barragem. A previsão de redução da taxa de disposição de rejeitos na barragem é apresentada na Figura 5.7.

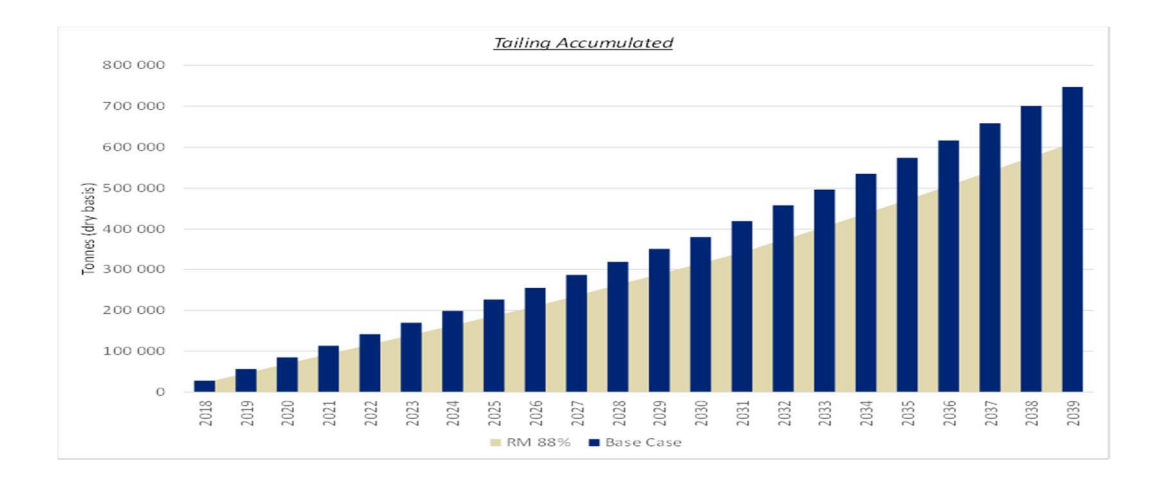


Figura 5.7: Estimativa para taxa de disposição de rejeitos na barragem – Período 2018-2039.

Caso a opção do negócio não seja aumentar a capacidade final de produção, permanecendo assim com a capacidade de produção originalmente projetada para o Sistema Minas-Rio (26,5 MTPA), o aumento da recuperação metalúrgica com a implantação do circuito de flotação em colunas irá proporcionar alguns benefícios indiretos, adicionais aos já mencionados anteriormente:

- aumento da vida útil da Mina LOM (Life of Mine);
- redução da taxa de alimentação do ROM (Run of Mine);
- redução no dimensionamento da frota da mina.

5.3.2.1 Aumento do *LOM /* Redução da Taxa de *ROM /* Redução da Frota da Mina

Geralmente, a equipe de planejamento de lavra define uma sequência em que a mina será lavrada, desde seu início até a sua exaustão, sendo normalmente um software utilizado para esta função. No caso do Sistema Minas-Rio, o software adotado para realizar esta tarefa foi o *MineSight Schedule Optimizer®* (MSSO), com algumas tarefas auxiliares sendo realizadas no *MineSight 3D*.

Inicialmente, algumas restrições para o planejamento de lavra foram definidas, a serem consideradas pelo sistema, conforme descrito a seguir:

- priorizar a extração dos recursos já indicados e medidos, para os anos iniciais do projeto objetivando reduzir o perfil de risco global;
- menor quantidade de estoque de material de baixa qualidade possível;
- canga limitada a 5% em massa para a alimentação da moagem;
- itabirito limitado a 13% em massa para a alimentação da moagem;
- estratégia de implementação de um sistema de transportador de correia, para longas distâncias, conforme necessidade de sequenciamento da mina;
- sistema de britagem semi-móvel sendo realocado em conformidade com o plano de exploração detalhada;
- inicialmente, lavrar utilizando uma cava intermediária para a Fase I (Minério Friável) e na sequência mover para a cava final (Minério Itabirito)

Desta forma, o planejamento de lavra e as restrições estabelecidas foram carregadas no *MineSight Scheduler Optimizer*® (MSSO), o qual pode lidar com o planejamento de lavra de múltiplas cavas. Os resultados dessa simulação, contemplando também a implantação do circuito de flotação em colunas de flotação (estágio *recleaner*), o qual irá possibilitar alcançar uma recuperação metalúrgica de 88%, é demonstrado a seguir:

- aumento de 4 (quatro) anos na vida útil da mina (LOM);
- redução da movimentação total de material na mina, quando comparado com o cenário atual, conforme apresentado na tabela V.12, o que proporciona uma redução da taxa de alimentação de ROM para manter a taxa de produção final originalmente projetada (26,5 MTPA).

Tabela V.12: Diferença entre a movimentação total na Mina para o cenário atual e cenário com a implantação do circuito de flotação em colunas - Período de 2018-2064

Período	Diferença entre a movimentação total na Mina para o cenário atual e cenário com a implantação do circuito de flotação em colunas				
2018	-8%				
2019	-8%				
2020	-9%				
2021-2023	-8%				
2024-2026	-4%				
2027-2031	-16%				
2032-2035	-9%				
2036-2039	-4%				
2040-2044	0%				
2045-2049	-9%				
2050-2062	-				
2050-2064	-14%				

 redução no dimensionamento da frota de mina necessária, em consequência da redução da movimentação total de material na mina.

5.3.3. CAPEX - Custo de Capital

Uma estimativa de investimento foi devidamente elaborada para esta fase do estudo, considerando um nível de precisão de -25% a + 50%. Esta estimativa de investimento foi baseada nos recursos necessário para implantação do circuito de flotação em colunas (estágio *recleaner*), considerando a aquisição de equipamentos, obras civis, estrutura metálica, montagem eletromecânica, comissionamento, testes, etc.

Um projeto conceitual para avaliação da ordem de valor desta implantação foi contrato junto a uma empresa de engenharia. Os valores adotados na estimativa de investimento estão baseados neste projeto conceitual, bem como na composição de preços obtidos através de cotações orçamentais junto a grandes fornecedores do ramo ou preços provenientes de banco de dados próprio. Esta estimativa de investimento está apresentada na Tabela V.13.

Tabela V.13: Estimativa de investimento (CAPEX) baseado no projeto conceitual para implantação do circuito de flotação em colunas (estágio recleaner)

Items	%	Custo (Reais)	Custo (USD)
Equipamentos de Processo	15,50	25.333.376,00	7,238,107.43
Equipamentos Mecânico	2,31	3.778.623,00	1,079,606.57
Equipamentos para Utilidades	0,29	466.297,00	133,227.71
Equipamentos Elétrico	10,72	17.522.112,00	5,006,317.71
Instrumentação, Automação e Controle	0,76	1.243.458,00	355,273.71
Comunicação	0,38	621.729,00	177,636.86
Tubulação	2,16	3.528.779,00	1,008,222.57
Estrutura Metálica	7,98	13.043.652,00	3,726,757.71
Obras Civis -Infraestrutura	1,52	2.492.891,00	712,254.57
Obras Civis - Concreto	7,62	12.464.453,00	3,561,272.29
Montagem Eletromecânica	17,50	28.612.160,00	8,174,902.86
Subtotal 1 – CUSTOS DIRETOS	66,74	109.107.530,00	31,173,580.00
Items	%	Custo (Reais)	Custo (USD)
Frete	1,00	1.638.452,00	468,129.14
Sobressalentes	0,64	1.040.563,00	297,303.71
Apoio Fornecedores	0,38	621.730,00	177,637.14
Comissionamento e Testes	0,57	932.595,00	266,455.71
EpCM	5,88	9.600.001,00	2,742,857.43
Seguros	0,38	625.616,00	178,747.43
Outros Custos Indiretos de Campo	1,33	2.182.152,00	623,472.00
Subtotal 2 – CUSTOS INDIRETOS	10,18	16.641.109,00	4,754,602.57
Subtotal 1 + 2	76,92	125.748.639,00	35,928,182.57
Contingência	23,08	37.724.592,00	10,778,454.86
TOTAL	100,00	163.473.231,00	46,706,637.43

Notas:

- 1- Os valores percentuais são calculados sobre o montante total do CAPEX;
- 2- A taxa de câmbio considerada foi de: 1.00 USD = 3,50 R\$;
- 3 Os investimentos dos equipamentos de processo, mecânica, utilidades, elétrico, instrumentação, automação, controle e comunicação foram baseadas nas listas de equipamentos / instrumentos conforme projeto conceitual, utilizando preços unitários de cotações orçamentárias;
- 4 Os investimentos de obras civis (infraestrutura, concreto, etc.) e montagem eletromecânica (mão de obra, materiais, etc.), foram baseados nos principais quantitativos de serviços e taxas de produtividade padrão conforme projeto conceitual, utilizando preços unitários de cotações orçamentárias e banco de dados próprio;
- 5 Os investimentos de estrutura metálica e tubulação foram baseados em lista de materiais conforme projeto conceitual, utilizando preços unitários de cotações orçamentárias e banco de dados próprio;
- 6 O investimento com transporte (frete), incluindo seguros, foi considerado como sendo 2,5% do custo total da aquisição dos equipamentos de processo, mecânica, utilidades, elétrico e instrumentação, automação, controle, comunicação, tubulação e estrutura metálica.
- 7 O investimento com peças sobressalentes foi contemplado para atender um período de 2 anos, sendo 2,1% do custo com equipamentos de processo, mecânica, utilidades, elétrico e instrumentação, automação, controle e comunicação.

- 8 O investimento contempla o apoio de fornecedores para atender o período de montagem, testes e operação assistida, sendo aproximadamente 1,2% do custo com equipamentos de processo, mecânica, utilidades, elétrico e instrumentação, automação, controle e comunicação.
- 9 O investimento com comissionamento e testes, através de uma empresa especializada neste ramo, objetivando avaliar a qualidade da montagem eletromecânica, bem como a execução dos testes de equipamentos (individuais, em grupos, sem e com carga) foi contemplado e corresponde aproximadamente a 1,9% do custo do equipamento.
- 10 Os investimentos com EpCM, correspondem a elaboração dos projetos de engenharia conceitual, básico e detalhado, gerenciamento geral do projeto (engenharia, construção, testes, etc.), incluindo todas as despesas em Belo Horizonte e serviços no campo e corresponde a 8,8% do custo direto total.
- 11 Os investimentos com custos indiretos de campo, abrangendo todas as instalações, equipamentos, serviços, materiais e consumíveis exigidos para implantação do projeto foi contemplado e corresponde a 2% dos custos diretos. Este item contempla, porém, não se limitando, a itens como escritórios e equipe administrativa, equipamentos e mobiliário, seguro de engenharia, veículos, viagens, cuidados médicos, energia, água, alojamento, telefone, internet, impressão, equipamentos de proteção individual, miscelâneas, etc.
- 12 Uma contingência de 30% sobre a soma dos custos diretos e indiretos foi adotada para o projeto. Esta contingência será utilizada como um subsídio para itens indefinidos do trabalho que será realizado, ou elementos de investimento direto, que não foram explicitamente previstos neste momento da estimativa por questões de indisponibilidade de informações detalhadas do projeto.

13 – Todas as taxas e impostos aplicáveis com a legislação vigente foram aplicados na compra de equipamentos e materiais, bem como na execução de serviços. Estes valores estão contemplados na estimativa de investimentos, inclusos nos valores unitários que compõem os custos diretos e indiretos.

Segue abaixo relação de alguns itens definidos que não fazem parte integrante desta estimativa de investimento:

- Custos com equipe operacional própria (Owner's Costs);
- Aquisição de terras;
- Gastos relacionados a licenciamento ambiental e obtenção de qualquer tipo de licenças necessárias junto a órgãos regulamentadores;
- Ensaios de caracterização tecnológica;
- Custos relacionados ao financiamento do projeto;
- Consultoria;
- Pleitos devido ao impacto no cronograma de implantação;
- Mudanças na taxa de câmbio;
- Escalation;
- Impactos de custos associados a qualquer tipo de riscos;
- Despesas relativas ao encerramento das instalações no fechamento da mina;
- Garantias financeiras.

5.3.4. OPEX - Custo Operacional

Uma avaliação de custos operacionais foi realizada considerando a implantação do circuito de flotação em colunas (estágio *recleaner*), objetivando comparar os custos deste novo cenário versus o cenário praticado atualmente.

Por motivo de confidencialidade de informações, as premissas consideradas na elaboração da estimativa de custos operacionais (OPEX) apresentada a seguir não serão mencionadas neste trabalho, uma vez que as mesmas estão de acordo com o *LOM* vigente do Sistema Minas-Rio para o período de 2017-2021, o qual foi definido como base para a estimativa elaborada e apresentado na Tabela V.14.

Tabela V.14: Estimativa de custos operacionais (*OPEX*) contemplando o cenário atual e cenário com a implantação do circuito de flotação em colunas - Período de 2017-2021

	Item	LOM	Fase 1 (Friável)	Fase 2 (Itabirito)
	Total Material Lavrado (dmt)	4.463.075,78	1.922.287,80	2.540.787,98
(%0	Total ROM (dmt)	3.009.979,15	1.368.210,64	1.641.768,50
MFe 8	Total Pellet Feed (dmt)	1.193.353,03	607,995,76	585.357,27
ıal (RN	OPEX Mina (USD/ton)	6,78	5,84	7,76
Cenário Atual (RMFe 80%)	OPEX Planta (USD/ton)	7,85	7,29	8,44
Cenái	OPEX Outros (USD/ton)	8,02	7,97	8,18
	OPEX Total (USD/ton)	22,66	21,10	24,38
	Total Material Lavrado (dmt)	4.568.963,69	1.663.906,78	2.905.046,91
%88	Total ROM (dmt)	3.001.181,97	1.240.222,71	1.760.959,26,
RMFe	Total Pellet Feed (dmt)	1.303.918,58	607.837,28	696.081,30,
aner (OPEX Mina (USD/ton)	6,66	5,64	7,54
Estágio <i>Recleaner</i> (RMFe 88%)	OPEX Planta (USD/ton)	7,84	7,30	8,33
tágio	OPEX Outros (USD/ton)	7,89	7,97	7,84
В	OPEX Total (USD/ton)	22,40	20,91	23,71

O principal motivo da variação do custo operacional entre os dois cenários, foi a diferença no consumo energético (moagem / remoagem) e reagentes (amina / amido).

Os fluxogramas apresentados nas Figuras 5.8 e 5.9 foram considerados para determinar os principais custos operacionais para o cenário atual e o cenário contemplando a implantação do circuito de flotação com colunas (estágio *recleaner*).

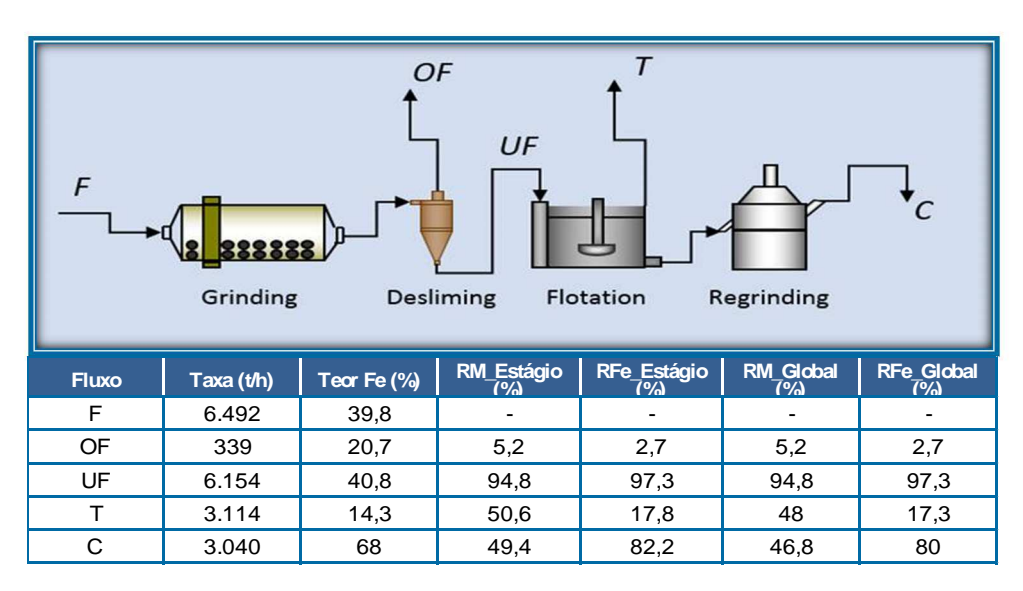


Figura 5.8: Fluxograma e balanço de massa / metalúrgico para o cenário atual.

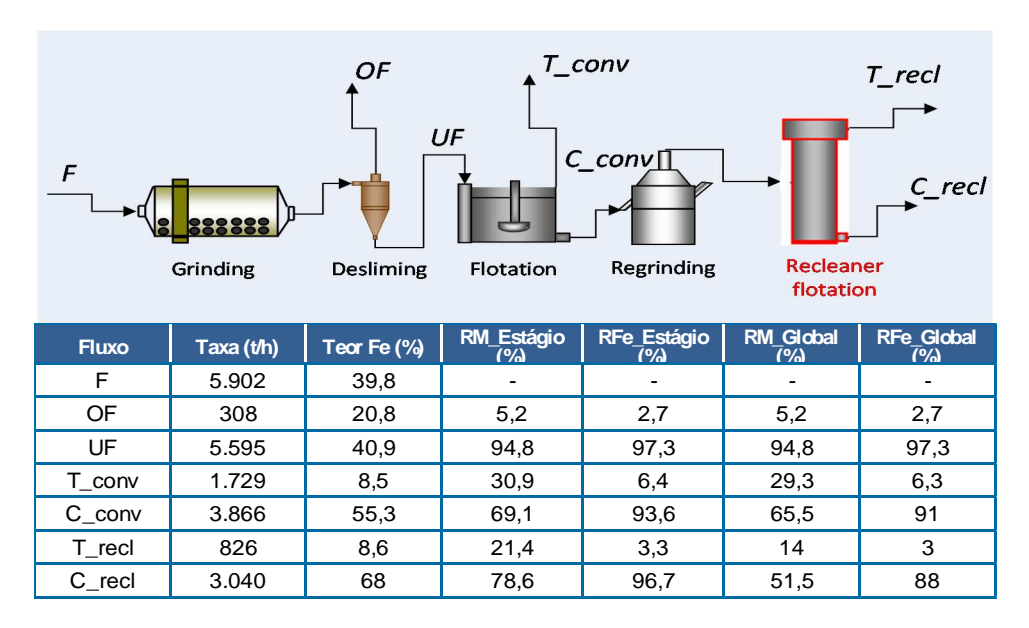


Figura 5.9: Fluxograma e balanço de massa / metalúrgico para o cenário com a implantação das colunas de flotação (estágio recleaner).

Além disto, a equipe de planejamento de longo prazo analisou os impactos no *OPEX* referente à redução da massa a ser alimentada (*ROM*) e dimensionamento da frota de mina necessária, caso a opção adotada seja não aumentar a capacidade de produção atua, permanecendo a mesma em 26,5 MTPA. Estes fatores impactaram positivamente na composição do *OPEX*, principalmente devido à redução nos custos com pneus, combustível e manutenção.

5.3.5. Avaliação Econômica

Uma avaliação econômica foi realizada conforme as seguintes premissas:

- Cenário Atual
 - Vida útil da Mina (LOM) até 2060
 - Investimentos OPEX baseados no orçamento corrente aprovado para o período de 2017 a 2020
 - Estágio *recleaner* sendo implantado somente em 2037, com a frente de lavra mudando de material friável para itabirito compacto
- Cenário com Estágio Recleaner
 - Aumento da vida útil da Mina (LOM) até 2064,
 - Redução da taxa de disposição de rejeitos para barragem.
 - Redução no consumo específico de reagentes e energia.
 - Estágio recleaner sendo implantado em 2017 / 2018

Com estas informações a equipe financeira foi capaz de simular o FCFF (Free Cash FLow to the Firm) e NPV (Net Present Value), comparando o cenário que contempla a implantação do circuito de flotação em colunas (estágio recleaner) versus o cenário atual. Lembrando que:

FCFF é a sigla usada para definir Fluxo de Caixa Livre para Empresas, em outras palavras, representa o dinheiro disponível para pagar os investidores após a empresa pagar os custos do negócio e investimentos

NPV é a sigla usada para definir o valor presente líquido, ou seja, NPV é um cálculo que compara o montante investido hoje no valor presente, com o valor previsto para recebimento futuro. Em outras palavras, o valor investido hoje é comparado com o valor futuro, após descontada uma taxa específica de retorno. Investimentos com NPV positivo são considerados aceitáveis, enquanto investimentos com NPV negativo são considerados inaceitáveis.

A simulação do *FCFF* e *NPV* para o cenário considerando a implantação do circuito de flotação em colunas (estágio *recleaner*), e o cenário atual é apresentada na Figura 5.10.

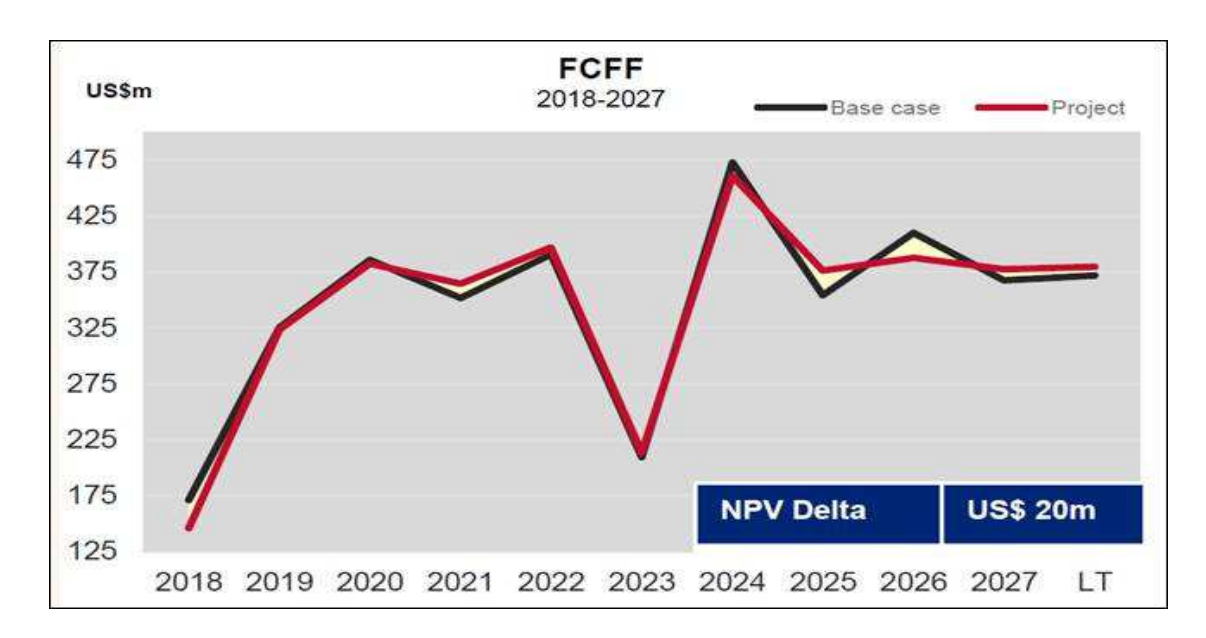


Figura 5.10: Comparação do *FCFF* entre o cenário para implantação do circuito de flotação em colunas (estágio recleaner) e o cenário atual.

Neste caso, a diferença entre o *NPV* para a implantação do circuito de flotação em colunas (estágio *recleaner*) e o *NPV* para o cenário atual foi de US\$ 20 milhões, o que demonstra que a implantação do circuito de flotação em colunas (estágio *recleaner*) a é economicamente vantajosa para o Sistema Minas-Rio.

5.3.6. Analise de Sensibilidade

Analises de sensibilidade são usadas para verificar o que ocorre com o retorno do projeto (variável saída) quando um parâmetro do projeto (variável de entrada) assume valores diferentes em torno da sua "melhor estimativa". Este cálculo permite delimitar o limite de um valor para cada variável estratégica a partir do qual o projeto é economicamente viável.

Com relação ao investimento de capital (*CAPEX*), para implantação do circuito de flotação em colunas, é esperado um investimento da ordem de 47 milhões de dólares, conforme Tabela V.13.

Conforme valores de projeto, o cenário atual do Sistema Minas-Rio tem capacidade de produção de 26,5 milhões de toneladas por ano de *Pellet Feed*. A implantação do circuito de flotação em colunas irá proporcionar um aumento na recuperação em massa na ordem de 4% ao ano (Cenário Atual = 46,8% X Cenário com a Implantação do Estágio *Recleaner* = 50,8%), elevando assim a capacidade total do Sistema Minas-Rio para aproximadamente 28,8 milhões de tonelada por ano. Este acréscimo na produção proporcionará uma receita adicional bruta da ordem de 138 milhões de dólares, considerando o preço de venda do produto a 60 dólares a tonelada.

Referente aos custos operacionais (*OPEX*), a implantação do circuito de flotação em colunas implicará em um custo adicional de aproximadamente 53 milhões de dólares por ano, considerando o acréscimo na produção total e o custo de produção de 23 dólares por tonelada.

Desta forma, uma análise de sensibilidade para o VPL foi realizada para a implantação do circuito de flotação em colunas (estágio *recleaner*), variando receita e custo (neste caso foi considerado cenários com 5% e com 10% acima e abaixo da melhor estimativa), conforme apresentado na Figura 5.14. Maiores detalhes ver anexo 21.

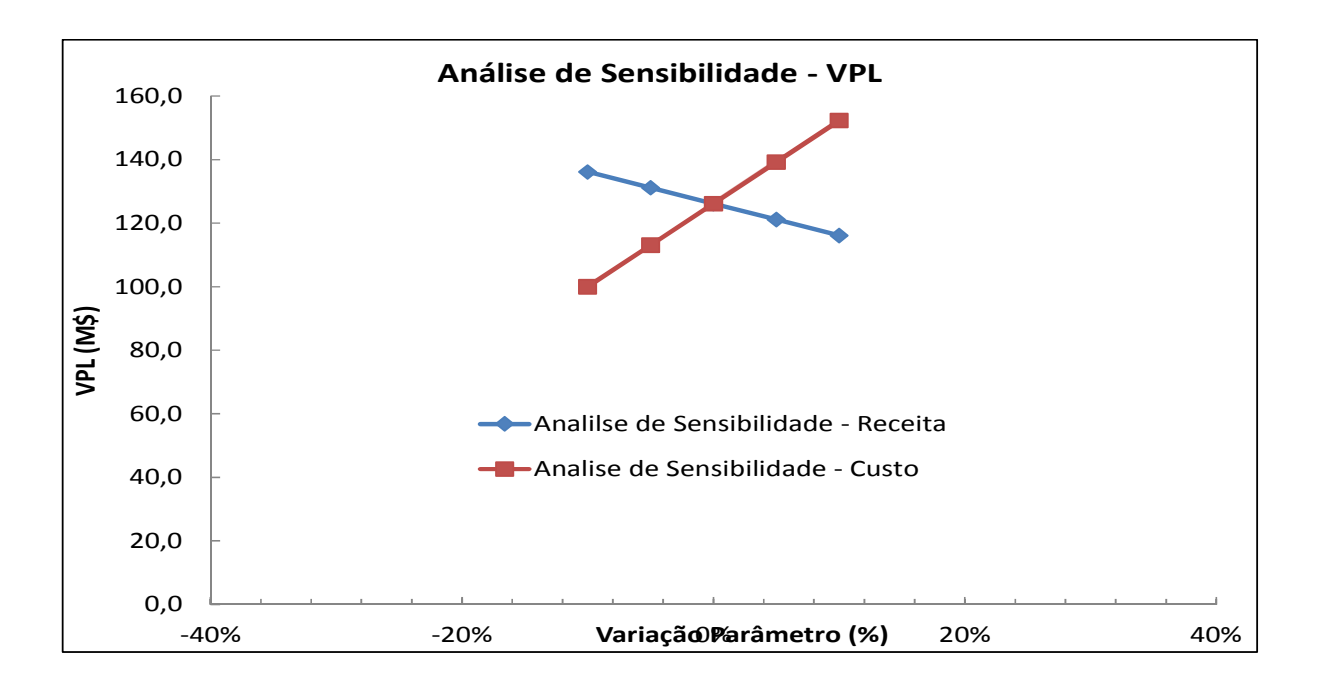


Figura 5.11: Análise de Sensibilidade para o VPL referente a implantação do circuito de flotação em colunas, variando receita e custo.

Esta análise de sensibilidade do VPL demonstra que, a implantação do circuito de flotação em colunas (estágio *recleaner*) é economicamente vantajosa, mesmo ocorrendo variações de preço e custo dentro de um range de 5 a 10% para cima ou para abaixo destas variáveis.

65

CAPÍTULO 6 – CONCLUSÕES

Vários testes em laboratório e escala piloto foram realizados, simulando a implantação

do circuito de flotação em colunas (estágio recleaner). Inicialmente, testes de

laboratório apresentaram resultados bastante promissores, o que foi confirmado e

reforçado posteriormente através do bom desempenho alcançado nos testes em

escala piloto. O resultado final consolidado destes testes e apresentado abaixo:

• %Fe no concentrado: Realizado = 67,4%

%SiO₂ no Concentrado = 1,6%

%Recuperação de Ferro (estágio recleaner) = 79%

%Recuperação de Ferro (Global) = 90,6%

Esses resultados demonstram que a implantação do circuito de flotação em colunas

(estágio recleaner) é tecnicamente viável, possibilitando aumentar a recuperação

metalúrgica do processo atual de concentração do Sistema Minas-Rio de 80% para

88%, através da recuperação da fração mais fina, produzindo um concentrado final

com 68% de Fe contido.

Simulações financeiras demonstram também um cenário promissor referente ao

investimento na implantação do circuito de flotação em colunas (estágio recleaner),

gerando um ganho na ordem de US\$ 20 milhões dentro de um horizonte de 10 anos.

CAPÍTULO 7 – RELEVÂNCIA DOS RESULTADOS

Os resultados satisfatórios alcançados, através das avaliações técnicas e econômicas, contribuem para a tomada de decisão sobre o direcionamento de investimentos para a implantação do circuito de flotação em colunas (estágio *recleaner*), o qual além de maximizar a recuperação metalúrgica do Sistema Minas-Rio, irá também contribuir para melhorar o aproveitamento dos recursos minerais disponíveis, possibilitar o aumento da capacidade produtiva, reduzir a produção de rejeitos (adiamento de inventimento em alteamento de barragens) e aumentar a flexibilidade operacional.

CAPÍTULO 8 – SUGESTÕES TRABALHOS FUTUROS

- Avaliar outros cenários / configurações para o circuito misto de flotação (célula convencional + coluna), como por exemplo a eliminação das colunas scavenger, desde que as colunas rougher produzam um concentrado com boa qualidade e alta recuperação metalúrgica;
- Avaliar a utilização de outras tecnologias, como por exemplo células convencionais de grande volume, em substituição a utilização de colunas de flotação;
- Estudar a possibilidade de implantação de diferentes rotas de processamento, para recuperação de finos.
- Estudar a possibilidade de pré-concentração do material que alimenta o circuito de flotação atual, através do uso de peneiras de alta frequência.

CAPÍTULO 9 - REFERÊNCIAS BIBLIOGRÁFICAS

ARAUJO, A.C. (1988) **Starch Modifications of the Flocculation and Flotation of Apatite**. Vancouver: UBC - The University of British Columbia, PhD Thesis.

ARAUJO, A.C., PERES, A.E.C. (1995) Froth Flotation: Relevant Facts and the Brazilian Case. Série Tecnologia Mineral, 70. Rio de janeiro: CETEM/CNPq.

BALAJEE, S.R., IWASAKI, I. (1969) **Adsorption Mechanism of Starches in Flotation and Flocculation of Iron Ores**. Transactions AIME, v.244, p.401-406 apud PAVLOVIC, S. (2002) Adsorção de carboidratos na superfície dos minerais hematita e quartzo. Tese de Doutorado (Curso de Pós-Graduação em Engenharia Metalúrgica e de Minas). Escola de Engenharia da UFMG, Belo Horizonte.

BOUTIN, P., TREMBLAY, R. (1962) Canadian Patents No 680576 and 680654.

COFFINN, V.L., MISZCZAK, J. (1982) **Column flotation at Mines Gaspé**, 14th Int. Mineral Processing Congress, paper IV.21, Toronto, Canadá.

CRISTIE, T., BRATHWAITE, B. (1997) **Mineral Commodity Report 15**. **Iron.** New Zealand: Institute of Geological and Nuclear Sciences Ltd.

DEY, S., PAUL, G.M., PANI, S. (2013) Flotation Behaviour of Weathered Coal in Mechanical and Column Flotation Cel. Powder Technology, v.246, p.689-694.

EL-SHALL, H., ZUCKER, G.L. (1982) A Comparative Study of Slime Flotation Using Electro, Column, and Mechanical Flotation Techniques. AIME Annual Meeting and Exhibit, 19p.

ERIEZ FLOTATION DIVISION (2012) Column Flotation Test Cell Operating and Maintenance Manual.

FINCH, J.A., DOBBY, G.S. (1990) Column flotation, Pergamon Press, First edition.

FLINT, I.M., WYSLOUZIL, H.E., MURDOCKJ, D.J. (1993) **The Use of Column Flotation to Reduce Silica in Iron Ore Pellets.** SME Annual Meeting, Preprint number 93-60, 9p.

GUPTA, A., YAN, D. S. (2006) **Mineral Processing Design and Operations**; An introduction. 1st edition. Oxford: Elsevier Science & Technology Books, 693p;

JENA, M.S., BISWAL, S.K., DAS, S.P., REDDY, P.S.R. (2008) Comparative Study of the Performance of Conventional and Column Flotation when Treating Coking Coal Fines. Fuel Processing Technology, n.89, p.1409-1415.

LEJA, J. (1982) **Surface Chemistry of Froth Flotation**. New York: Plenum Press, 758p;

LIMA, R.M.F. (1997) Adsorção de Amido e Amina na Superfície da Hematita e do Quartzo e sua Influência na Flotação. Tese de Doutorado (Curso de Pós-Graduação em Engenharia Metalúrgica e de Minas). Escola de Engenharia da UFMG, Belo Horizonte.

MATIOLO, E., SOUZA, A., RODRIGUES, R.T., RUBIO, J. (2012) **Treatment of a Low Grade Compact Itabirite Iron Ore From Carajás** – Brazil. In: XXVI International Mineral Processing Congress, 9p.

MARTINS, M. (2009) **Molhabilidade de Apatita e sua Influência na Flotação.** São Paulo: Escola Politécnica da USP, 119p. (Tese, Doutorado em Engenharia Mineral);

MAZZINGHY, D.B, GALÉRY, R., SCHNEIDER, C. L., (2012) "Metodologia para Escalonamento e Simulação de Moinho Vertical, p.133.

MCKAY, J.D., FOOT, D.G. (1990) **Recent Column Flotation Advances.** SMME, Preprint number 90-7, 5p.

MOHR, S., GIURCO, D., YELLISHETTY, M., WARD, J., MUDD, G. (2015) **Projection of Iron Ore Production**. In: Natural Resources Research, v.24, n.3, set.

MONTE, M.B. M., PERES, A.E.C. (2002) **Química de Superfície na Flotação.** In: LUZ, A. B., et al. Tratamento de minérios, 3a edição, c.9, p.339-407, Rio de Janeiro, CETEM/MCT.

NEDER, E.E.; LEAL FILHO, L.S. (2005) **O Uso de Aminas Graxas e Seus Derivados na Flotação de Minérios Brasileiros.** In: Anais do XXI Encontro Nacional de Tratamento de Minérios e Metalurgia Extrativa, Natal, RN, v.1, p-395-404.

OLIVEIRA, L.C.A.; FABRIS, J.D.; PEREIRA, M.C. (2013) Óxidos de Ferro e suas Aplicações em Processos Catalíticos: uma Revisão. In: Quim. Nova, v.36, n.1, p123-130.

OLIVEIRA, M.L.M., AQUINO, J.A. (2006) **Aspectos Relevantes das Colunas de Flotação.** Trabalho apresentado no XXI ENTMME, Natal-RN, novembro.

PERES, A.E.C., ARAUJO, A.C. (2009) **A flotação como Operação Unitária no Tratamento de Minérios.** In: CHAVES, A. P.; Teoria e prática do tratamento de minérios; A Flotação no Brasil. 2ª Edição. São Paulo: Signus Editora, v.4, c.1, p.1-29;

PERES, A.E.C., CORRÊA, M.I. (1996) **Depression of Iron Oxides with Corn Starches.** Minerals Engineering, v.9, no12, p.1227-1234.

PERES, A.E.C., SALUM, M.J.G., VALADÃO, G.E.S., ARAUJO, A.C. (2012) *Métodos de Concentração*. In: VALADÃO, G.E.S., ARAUJO, A.C.; Introdução ao tratamento de minérios. 1ª Reimpressão. Belo Horizonte: Editora UFMG, c.6, p.105-139;

PINTO, C.L.L. (1989) **Efeito do Amido, Amilose e Amilopectina na Depressão de Oxi-Minerais.** Dissertação de Mestrado (Curso de Pós-Graduação em Engenharia Metalúrgica e de Minas). Escola de Engenharia da UFMG, Belo Horizonte.

QUARESMA, L.F. (2001) **Balanço Mineral Brasileiro.** Brasília: Departamento Nacional de Produção Mineral.

SANTANA, A.N., CASTRO, E.B., SILVA, R.V.G. (1996) Aplicação de Flotação em Coluna para um Minério de Ferro com Teor Variável de Sílica. In: I Simpósio Brasileiro de Minério de Ferro: Caracterização, Beneficiamento e Pelotização, p.351-365.

TAGGART, A.F. (1921) A Manual of Flotation Process. New York, 181p.

TUCK, C.A. (2015) **Mineral Commodity Summaries 2015.** U. S. Geological Survey (USGS), jan. Disponível em: http://minerals.usgs.gov/minerals/pubs/mcs/>.

TURRER, A.D., QUEIROZ, D.S. B., DONDA, J.D. (1996) **O Uso de Flotação em Coluna para Recuperação de Fino de Lama da Usina de Concentração da Samarco.** In: I Simpósio Brasileiro de Minério de Ferro: Caracterização, Beneficiamento e Pelotização, p.327-338.

VERAS, M.M. (2010) Influência do Tipo de Espumante nas Características de Espuma Produzida na Flotação. Recife: Centro de Tecnologia e Geociências da UFPE, 64p. (Dissertação, Mestrado em Engenharia Mineral);

VLACH, S.R.F. (2015) A classe dos Tectosilicatos: Guia Geral da Teoria e Exercício. In: Revista do Instituto de Geociências da USP. Disponível em: < http://ppegeo.igc.usp.br/pdf/guspsd/v1/did1.pdf>.

WALDE, D.H.G. (1986) **Geologia do ferro.** In: SCHOBBENHAUS, C., COELHO, C. E. S. Principais depósitos minerais do Brasil. Brasília: Departamento Nacional de Produção Mineral, v.II, c.1, p.3-6.

WHEELER, D.A. (1996) **Big flotation column mill tested**, Eng.& Mining Journal, Vol.167, No11, pp. 98-100.

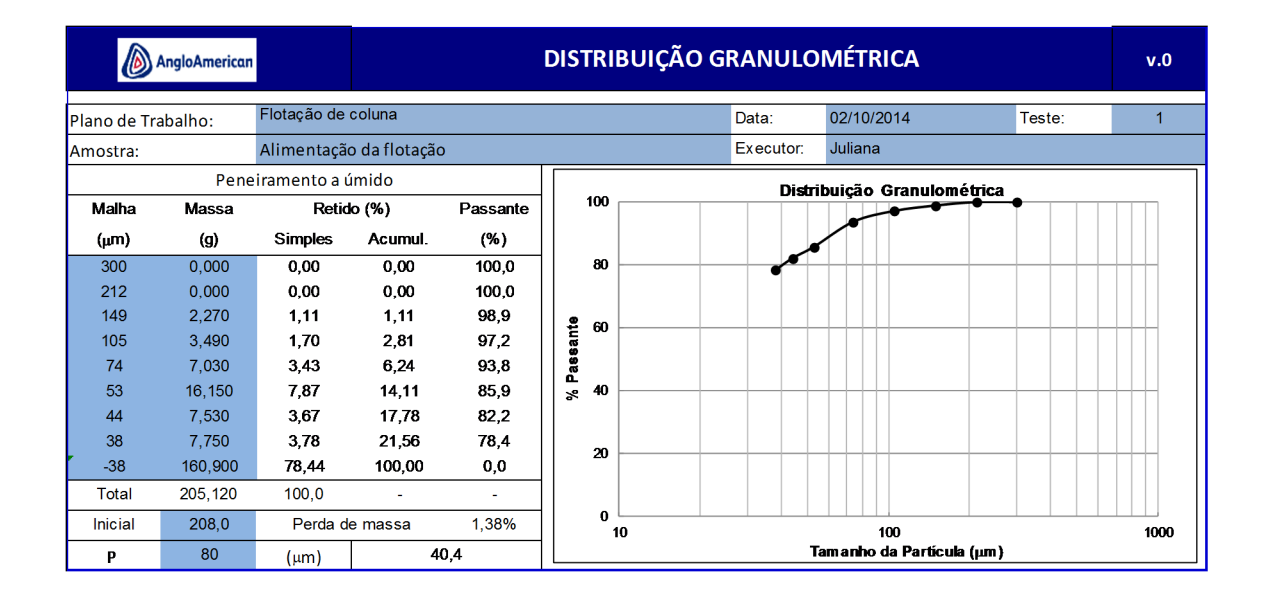
WILLS, B. A.; NAPIER-MUNN, T. J. 2006 **Mineral Processing Technology**; An introduction to the practical aspects of ore treatment and mineral recovery. 7th Edition, Brisbane: Elsevier Science & Technology Books, 444p;

WORLDSTEEL (2015) **World Steel in Figures 2014.** World Steel Assoc., 2014. Disponível em https://www.worldsteel.org/dms/internetDocumentList/bookshop/World-Steel-in-Figures-

2014/document/World%20Steel%20in%20Figures%202014%20Final.pdf>.

CAPÍTULO 10 - ANEXOS

Anexo 1: Distribuição granulométrica do pré-concentrado obtido através dos circuitos de moagem, deslamagem, flotação em células convencionais e remoagem.

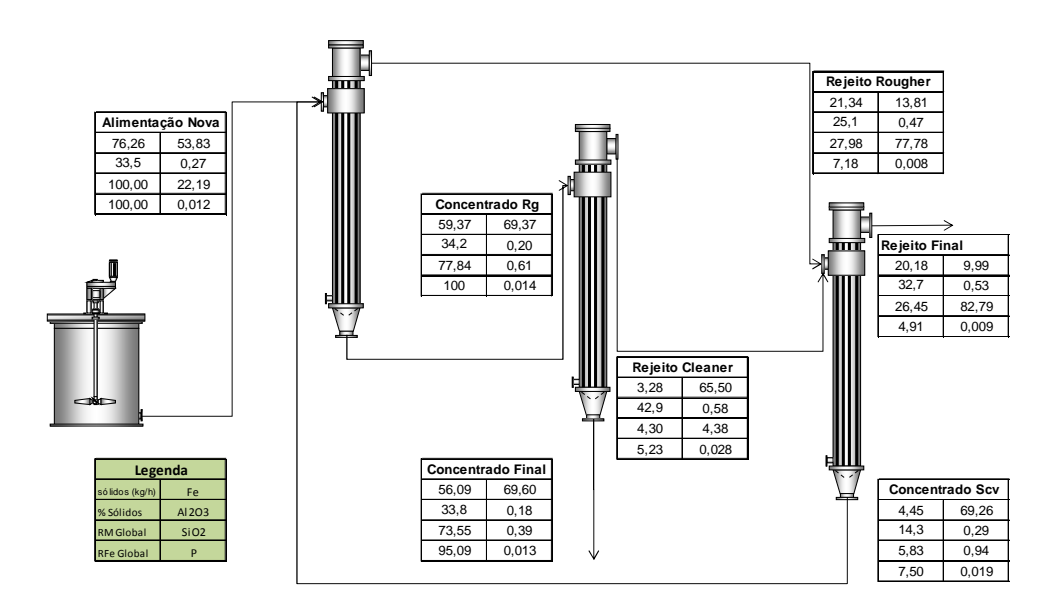


Anexo 2: Parâmetros operacionais registrados durante a 2^a simulação do circuito de flotação em coluna para as condições 1, 2 e 3.

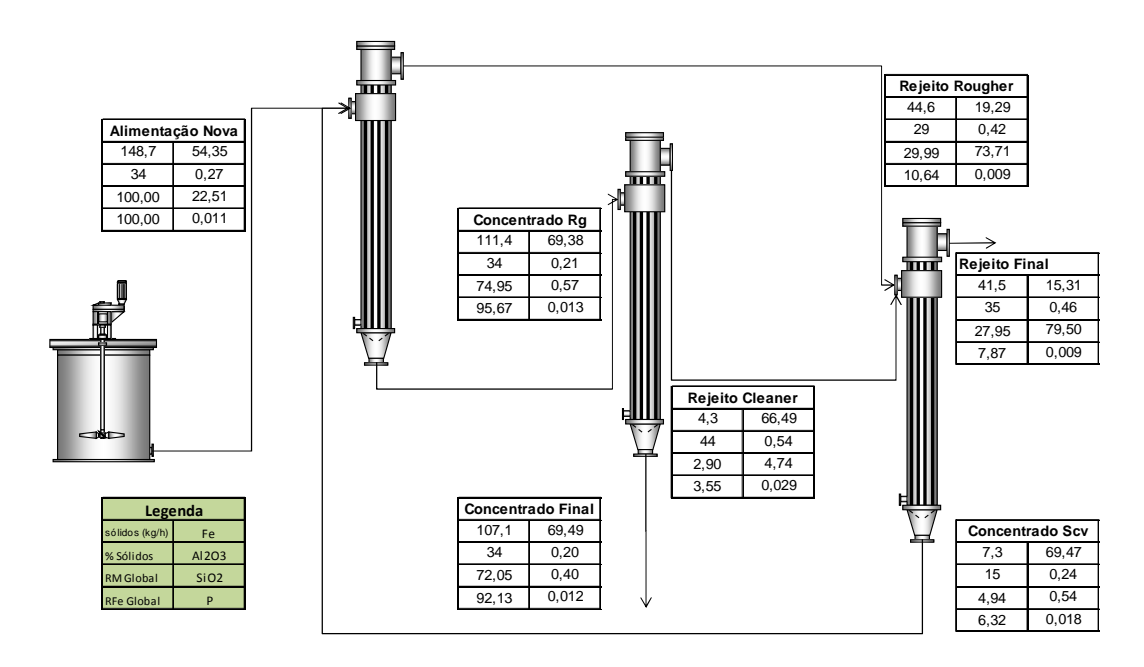
				Teste			
			Condição	Condição	Condição		
			1	2	3		
	Início		13:00	15:00	16:00		
	Amostrag	em	14:30	15:30	17:00		
	Alimentação	Densidade polpa (g/cm³)	1,37	1,37	1,37		
	nova	Vazão (I/min)	2,7	5,2	5		
	Vaz	ão ar (LPM)	16	16	16		
Rougher	Água de	lavagem (I/min)	0	0	0		
	Altura da car	1	1	1			
	Aı	mido (g/t)	500	500	500		
	Aı	mina (g/t)	35	35	35		
	Vaz	ão ar (LPM)	9	9	9		
	Água de	lavagem (I/min)	0	0	0		
Cleaner	Altura da car	nada de espuma (m)	0,5	0,5	0,1		
	Aı	mido (g/t)	0	0	0		
	Aı	mina (g/t)	0	0	0		
	Vaz	Vazão ar (LPM)		Vazão ar (LPM)		7	7
	Água de	lavagem (I/min)	0	0	0		
Scavenger	Altura da car	0,6	0,6	1,2			
	Aı	mido (g/t)	0	0	0		
	Aı	0	0	0			

Anexo 3: Resultados consolidados para a 2ª simulação do circuito de flotação em colunas (estágio eecleaner).

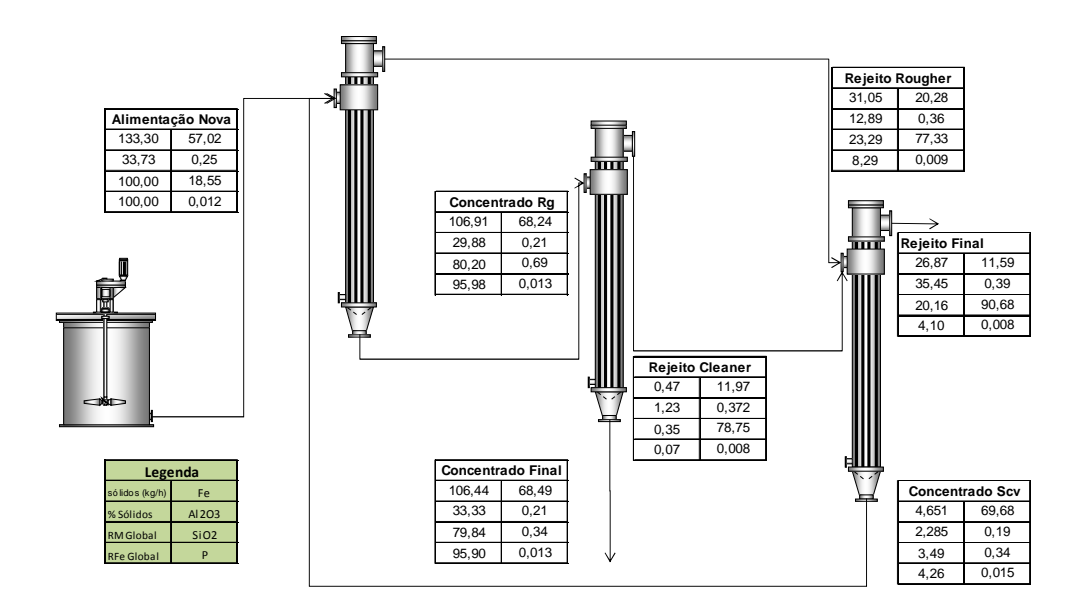
CONDIÇÃO 1



CONDIÇÃO 2



CONDIÇÃO 3



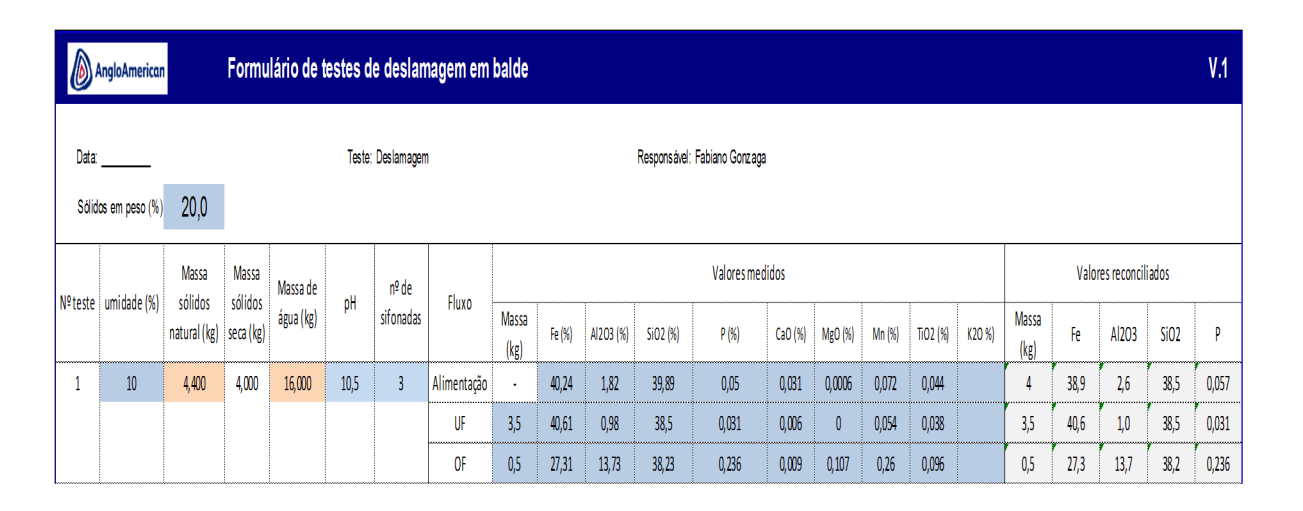
Anexo 4: Tempo de residência, capacidade de carregamento e velocidade do ar para circuito de flotação em coluna para as condições 1 e 2.

Condição	Coluna	Tempo de Residência	Capacidade de Carregamento (Espuma)	Capacidade de carregamento (Ar)	Velocidade do Ar
		Min	t/h/m²	kg _{solids} /m³	cm/s
	RG	24,9	1,2	22,2	1,5
1	CL	21,3	0,4	6,1	1,9
	SCV	20,6	2,5	48,0	1,4
	RG	13,5	2,4	46,4	1,5
2	CL	11,4	0,5	8,0	1,9
	SCV	11,8	5,1	98,9	1,4

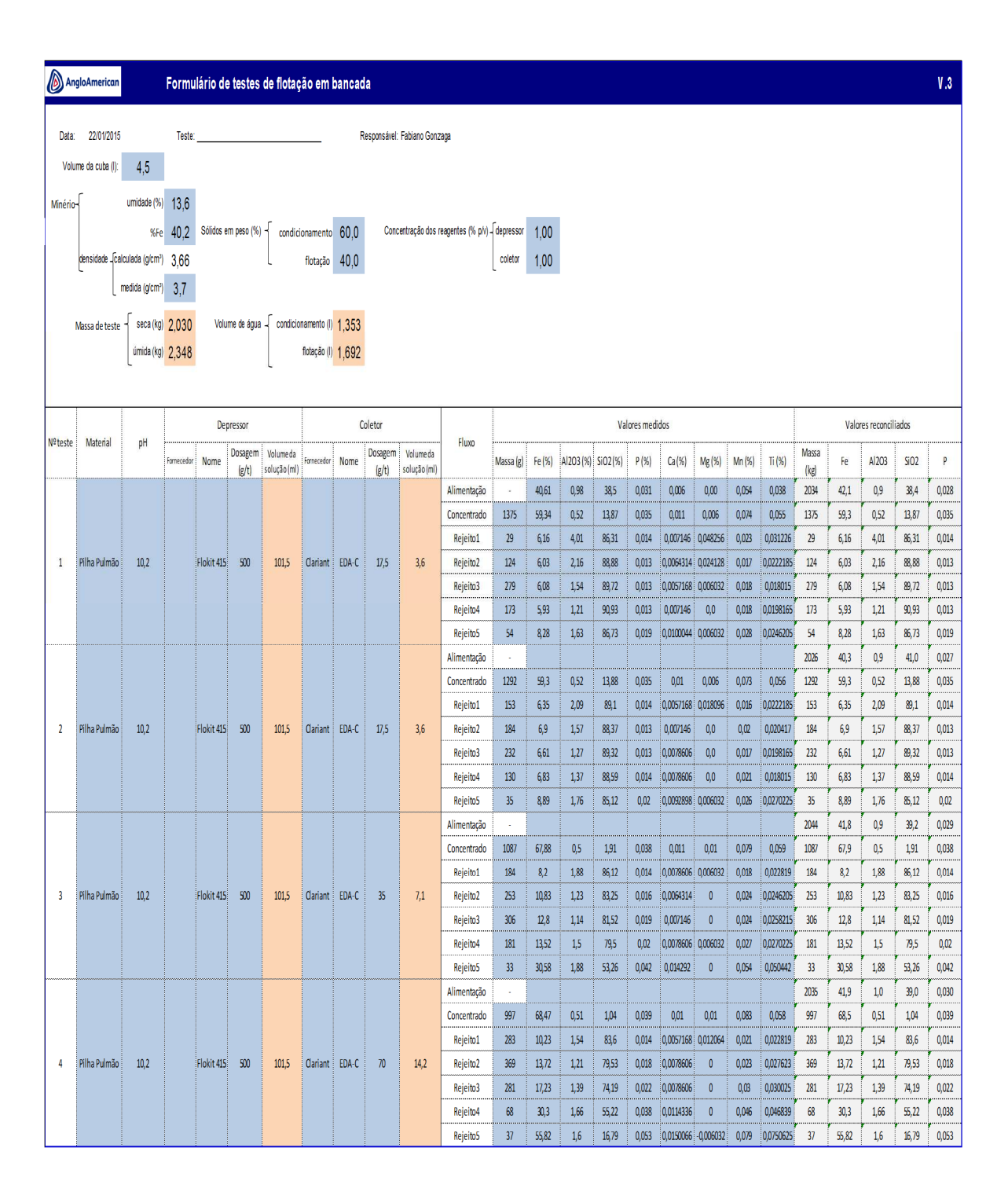
Anexo 5: Parâmetros e resultados experimentais obtidos no teste de moagem em laboratório.

	AngloAmerica	ın	MOABILIDADE												
Plano de	Trabalho:	Flotação I	Recleaner			Data:	07/01/2015	5	Teste:	1					
Amostra:		Pilha Pulr	não Planta	a Industrial	(Dez/14)	Executor:	Fabiano/M	arcelo/Flávi	,						
	Diâmetro II	nterno	m	0,457		Massa sóli	idos (seco)	kg	15,78						
	Comp. Inte	rno	m	0,381		Massa de	bolas	kg	76,89						
	Porosidade)	%	40,0		Volume de	água	L	6,137						
	J - Ench. E	Bolas	%	27,00		Vel. do tes	te	грт	50,34						
	U - Ench. I	Material	%	100,0											
	Dens. real	sólidos	t/m3	3,60			Distribuiçã	o de Bolas	s						
	Dens. apar	. sólidos	t/m3	2,34		n	(mm)	(%)	(kg)						
	Dens. real	bolas	t/m3	7,60		1	50	41	31,5						
	Conc. sólic	los	%	72,0		2	38	44	33,8						
	Vel. crítica	adotada	%	76,1		3	25	15	11,5						
	Vol. Interne	•	m3	0,062		4			0,0						
	Velocidade	crítica	rpm	66,1		5			0,0						
	Potência M	1ecânica	kW	0,37			Total	100	76,9						
t (min)	0	,0	4	,0	8	,0	14	1,0							
Size (µm)	Ret. (g)	Pas. (%)	Ret. (g)	Pas. (%)	Ret. (g)	Pas. (%)	Ret. (g)	Pas. (%)	Ret. (g)	Pas. (%					
32000	0,00	100,00	0,00	100,00	0,00	100,00	0,00	100,00							
32000	0,00	100,00	0,00	100,00	0,00	100,00	0,00	100,00							
25400	36,00	99,76	0,00	100,00	0,00	100,00	0,00	100,00							
19050	122,00	98,94	0,00	100,00	0,00	100,00	0,00	100,00							
12700	394,00	96,30	67,00	99,56	9,00	99,94	8,00	99,95							
6350	760,00	91,21	100,00	98,91	21,00	99,80	3,00	99,93							
4750	411,00	88,45	34,00	98,69	4,00	99,77	3,00	99,91							
3350	382,00	85,89	23,00	98,54	7,00	99,73	1,00	99,90							
2360	472,00	82,73	20,00	98,41	3,00	99,71	1,00	99,89							
1700	386,00	80,14	31,00	98,21	4,00	99,68	1,00	99,89							
1180	384,00	77,57	33,00	97,99	3,00	99,66	1,00	99,88							
600	689,52	72,94	285,70	96,13	37,54	99,41	8,92	99,82							
425	326,85	70,75	299,70	94,18	103,23	98,72	14,86	99,72							
300	391,19	68,13	661,03	89,87	447,91	95,73	158,55	98,66							
212	690,99	63,50	989,68	83,41	942,74	89,43	545,01	95,02							
150	887,68	57,55	942,99	77,26	927,38	83,23	759,05	89,96							
106	1431,69	47,95	1946,67	64,57	2048,42	69,54	1940,23	77,00							
75	1405,37	38,53	1720,73	53,35	1954,58	56,48	1790,60	65,05							
53	1527,48	28,29	1911,19	40,89	1945,19	43,48	2193,91	50,40							
38	900,11	22,26	1447,17	31,46	1274,61	34,96	1325,86	41,55							
Pan	3321,12	0,00	4825,14	0,00	5232,40	0,00	6223,01	0,00							
Total	14919,00		15338,00		14965,00		14978,00		0,00						
P80	(µm)	1667,2	•	175,5		139,0		115,4	•	***************************************					
Energia Es	sp. (kWh/t)	0,00		1,55		3,09		5,41							

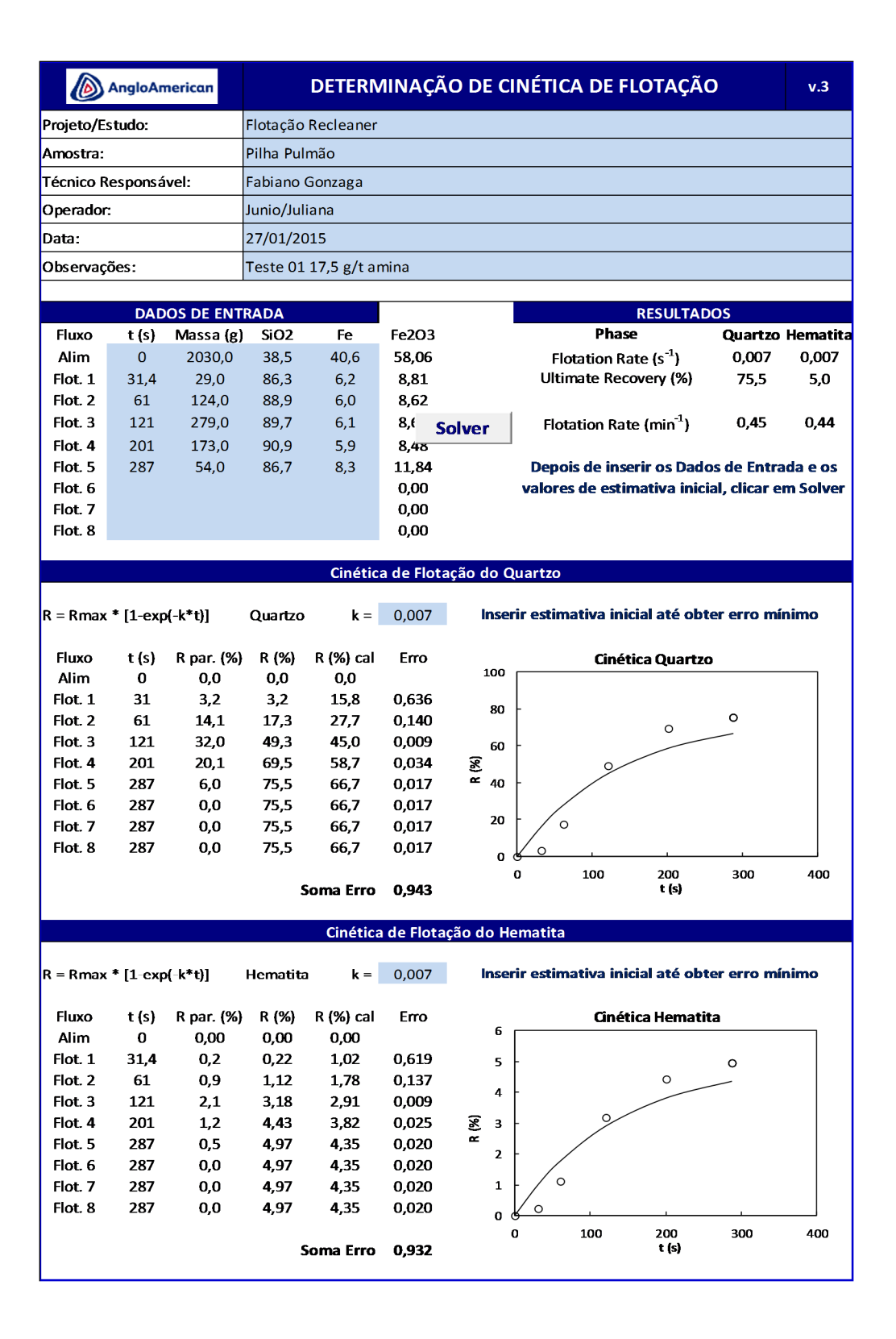
Anexo 6: Parâmetros e resultados experimentais obtidos para o teste de deslamagem em laboratório.



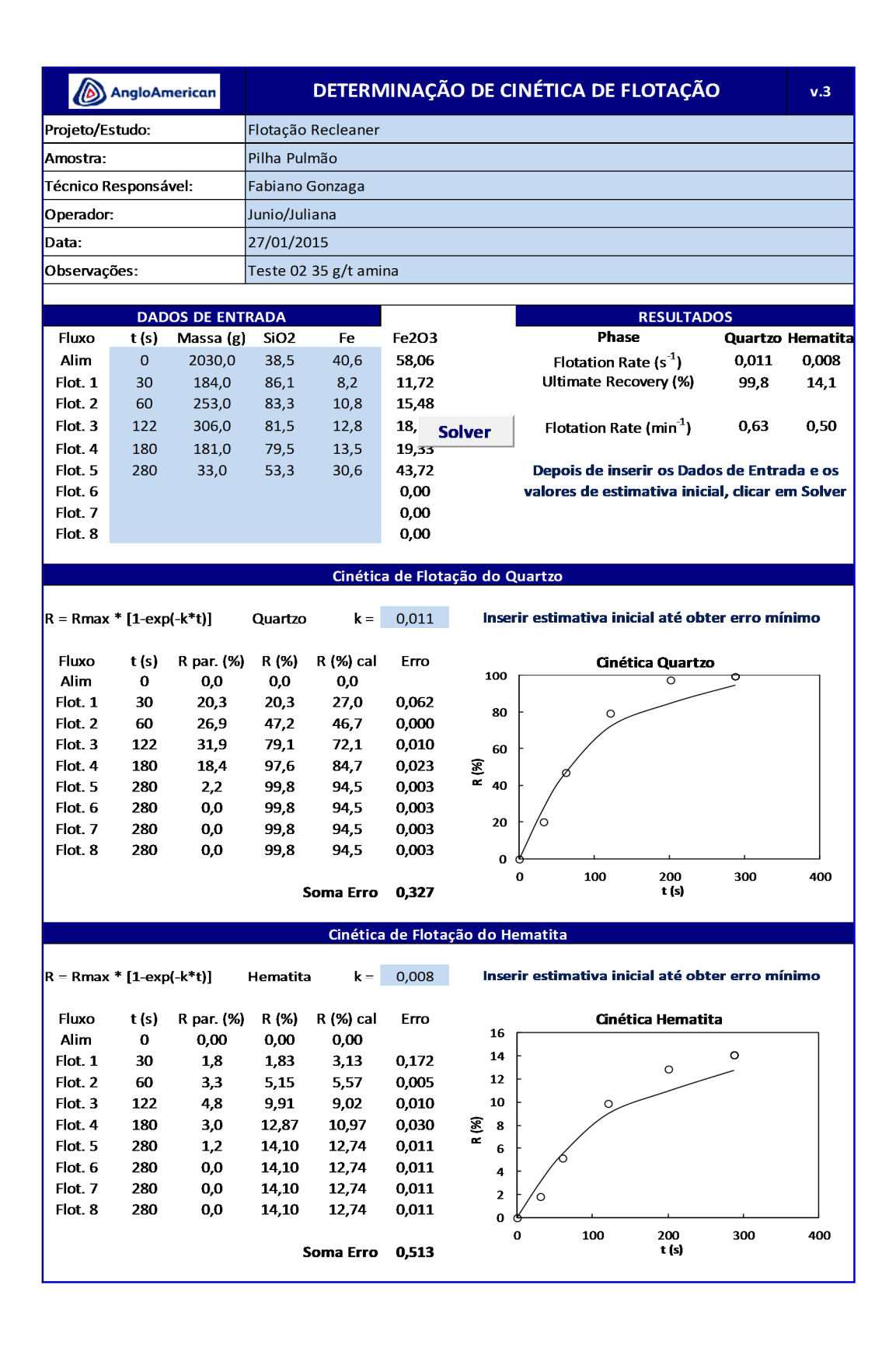
Anexo 7: Parâmetros e resultados experimentais obtidos para os testes de flotação em células convencionais em laboratório.



Anexo 8: Parâmetros e resultados experimentais obtidos para determinar a cinética de flotação em células convencionais em laboratório.



	AngloAr	nerican		DETERN	IINAÇÃ	O DE CINÉTICA DE FLOTAÇÃO v.3
			 - ~ -			
Projeto/Es	studo:			Recleaner		
Amostra:			Pilha Pul	mão		
Técnico R	esponsá	vel:	Fabiano	Gonzaga		
Operador:	:	1	Junio/Jul	liana		
Data:			27/01/20	015		
Observaçi	ŏes:		Teste 01	. 17,5 g/t an	nina Dupl	licata
· ·				, 0,	•	
	DAD	OS DE ENTI	RADA			RESULTADOS
Fluxo	t (s)	Massa (g)	SiO2	Fe	Fe2O3	Phase Quartzo Hematita
Alim	0	2030,0	38,5	40,6	58,06	Flotation Rate (s ⁻¹) 0,010 0,010
Flot. 1	31	153,0	89,1	6,4	9,08	Ultimate Recovery (%) 83,3 6,0
Flot. 2	60	184,0	88,4	6,9	9,86	
Flot. 3	122	232,0	89,3	6,6	9,45	Flotation Rate (min ⁻¹) 0,60 0,58
Flot. 4	200	130,0	88,6	6,8	9,76	
Flot. 5	280	35,0	85,1	8,9	12,71	Depois de inserir os Dados de Entrada e os
Flot. 6					0,00	valores de estimativa inicial, clicar em Solver
Flot. 7					0,00	
Flot. 8					0,00	Solver
				Cinética	de Flota	ação do Quartzo
R = Rmax	* [1-exp	o(-k*t)]	Quartzo	k =	0,010	Inserir estimativa inicial até obter erro mínimo
Fluxo	t (s)	R par. (%)	R (%)	R (%) cal	Erro	Cinética Quartzo
Alim	0	0,0	0,0	0,0		100
Flot. 1	31	17,4	17,4	22,4	0,048	80 - 0
Flot. 2	60	20,8	38,2	37,8	0,000	
Flot. 3	122	26,5	64,8	59,0	0,010	60 -
Flot. 4	200	14,7	79,5	72,2	0,010	§€ 40
Flot. 5	280	3,8	83,3	78,4 79.4	0,004	≈ 40 Ø
Flot. 6 Flot. 7	280 280	0,0 0,0	83,3 83,3	78,4 78,4	0,004 0,004	20 -
Flot. 8	280	0,0	83,3	78,4 78,4	0,004	
1100.0	200	0,0	03,3	70,4	0,004	0 100 200 300 400
			9	Soma Erro	0,290	t (s)
				Cinética	de Flota	ção do Hematita
R = Rmax	* [1-exp	o(-k*t)]	Hematita	a k=	0,010	Inserir estimativa inicial até obter erro mínimo
Fluxo	t (s)	R par. (%)	R (%)	R (%) cal	Erro	Cinética Hematita
Alim	0	0,00	0,00	0,00		7
Flot. 1	31	1,2	1,18	1,57	0,062	6
Flot. 2	60	1,5	2,72	2,66	0,000	5
Flot. 3	122	1,9	4,58	4,19	0,009	0
Flot. 4	200	1,1	5,66	5,17	0,009	(§) 4 (§) a 3 (§) a 1
Flot. 5	280	0,4	6,03	5,64	0,005	<u>~</u> 3 /
Flot. 6	280	0,0	6,03	5,64	0,005	2 /
Flot. 7	280	0,0	6,03	5,64	0,005	1 /0
Flot. 8	280	0,0	6,03	5,64	0,005	0
				Soma Erro	0,316	0 100 200 300 400 t (s)

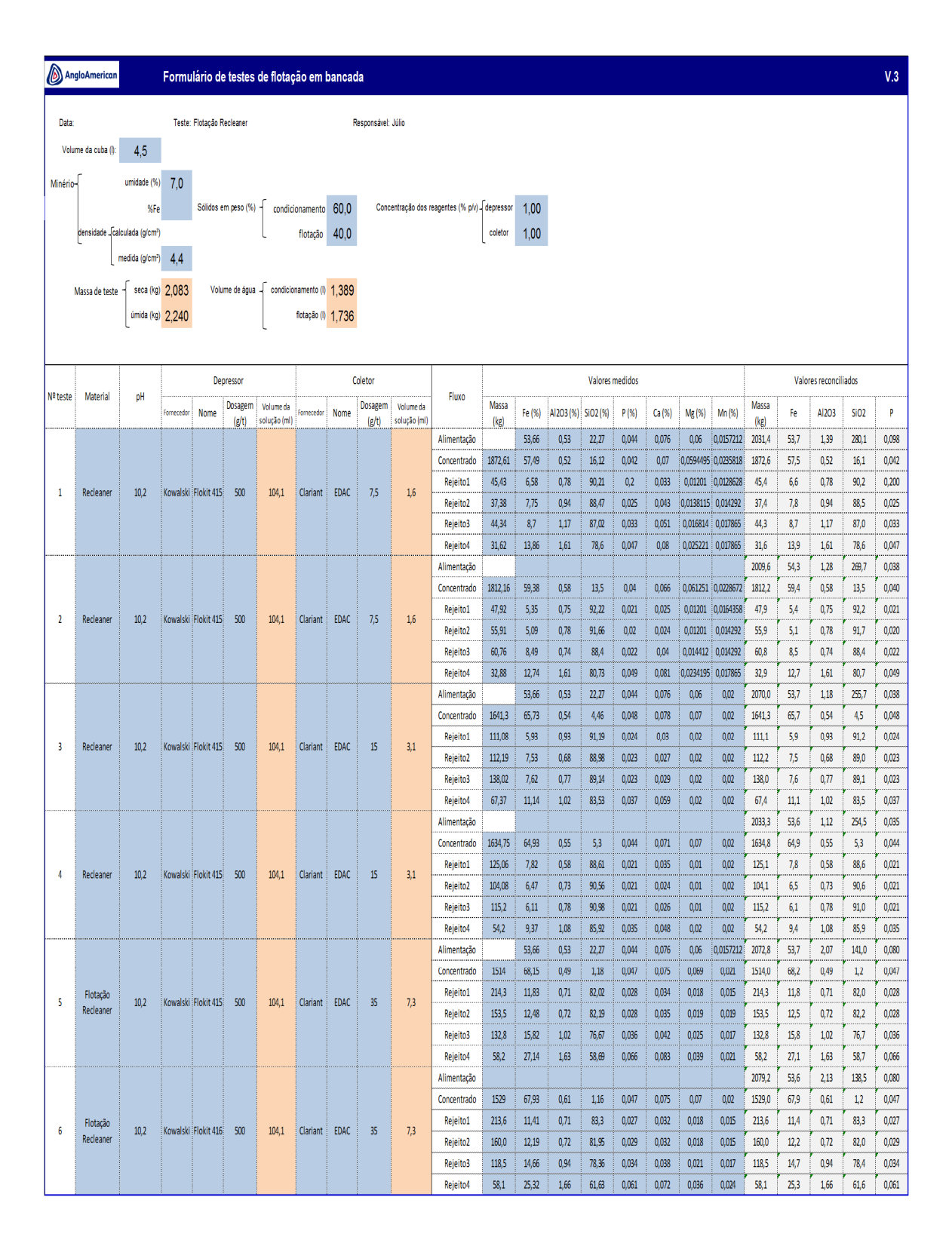


		nerican		DLILKIV	IIIVAÇA	O DE CINÉTICA DE FLOTAÇÃO v.3								
Projeto/Es	tudo:		Flotação	Recleaner										
Amostra:			Pilha Pul	mão										
Técnico Re	esponsá	vel:	Fabiano (Gonzaga										
Operador:	p		Junio/Jul											
Data:			27/01/20											
Observaçõ	es:			70 g/t amii	na									
	242	OS DE ENTE	Solv	er		DESILITADOS								
Fluxo	t (s)	OS DE ENTE Massa (g)	SiO2	Fe	Fe2O3	RESULTADOS Phase Quartzo Hematita								
Alim	0	2030,0	38,5	40,6	58,06	Flotation Rate (s ⁻¹) 0,016 0,010								
Flot. 1	30,5	283,0	83,6	10,2	14,63	Ultimate Recovery (%) 100,1 20,5								
Flot. 2	62	369,0	79,5	13,7	19,62	20,3								
Flot. 3	120	281,0	74,2	17,2	24,63	Flotation Rate (min ⁻¹) 0,93 0,60								
Flot. 4	181	68,0	55,2	30,3	43,32	Trocation mate (min.)								
Flot. 5	241	37,0	16,8	55,8	79,81	Depois de inserir os Dados de Entrada e os								
Flot. 6					0,00	valores de estimativa inicial, clicar em Solver								
Flot. 7					0,00									
Flot. 8					0,00									
				Cinátic	do Flota	orão do Quartzo								
Cinética de Flotação do Quartzo														
R = Rmax '	* [1-exp	(-k*t)]	Quartzo	k =	0,016	Inserir estimativa inicial até obter erro mínimo								
Fluxo	t (s)	R par. (%)	R (%)	R (%) cal	Erro	Cinética Quartzo								
Alim	0	0,0	0,0	0,0		100								
Flot. 1	31	30,3	30,3	37,8	0,040	80 -								
Flot. 2	62	37,5	67,8	62,0	0,009									
Flot. 3 Flot. 4	120 181	26,7	94,5 99,3	84,6	0,014 0,003	60								
Flot. 5	241	4,8 0,8	99,3 100,1	94,1 97,7	0,003	8								
Flot. 6	241	0,0	100,1	97,7	0,001	/0								
Flot. 7	241	0,0	100,1	97,7	0,001	20 -/								
Flot. 8	241	0,0	100,1	97,7	0,001	0								
			5	ioma Erro	0,260	0 100 200 300 400 t (s)								
				Cinética	de Flota	ção do Hematita								
R = Rmax '	* [1-ехр	(−k*t)]	Hematita	k =	0,010	Inserir estimativa inicial até obter erro mínimo								
Fluxo	t (s)	R par. (%)	R (%)	R (%) cal	Erro	Cinética Hematita								
Alim	0	0,00	0,00	0,00	-	25								
Flot. 1	30,5	3,5	3,51	5,36	0,119	20								
Flot. 2	62	6,1	9,65	9,43	0,001	20								
Flot. 3	120	5,9	15,53	14,29	0,008	15 - 0								
Flot. 4	181	2,5	18,03	17,12	0,003	₹ ~ 10								
Flot. 5	241	2,5	20,53	18,65	0,010	- 10								
Flot. 6	241	0,0	20,53	18,65	0,010	5 -								
Flot. 7 Flot. 8	241 241	0,0 0,0	20,53 20,53	18,65 18,65	0,010 0,010	/0								
1106.0	741	0,0	•		0,010	0 100 200 300 400 t (s)								
1			•	ioma Erro	U.4: 4									

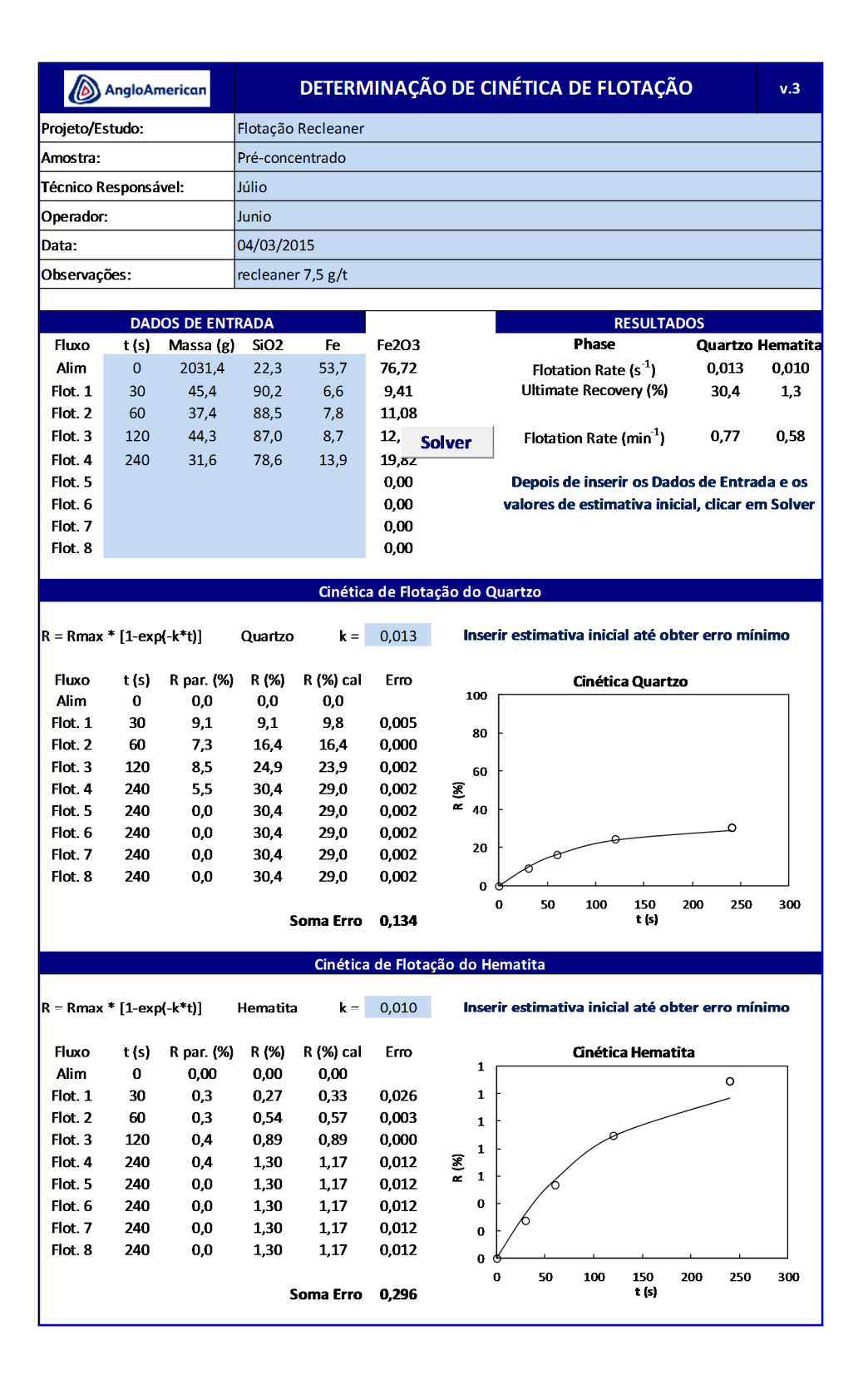
Anexo 9: Parâmetros e resultados experimentais obtidos para o teste de remoagem em laboratório.

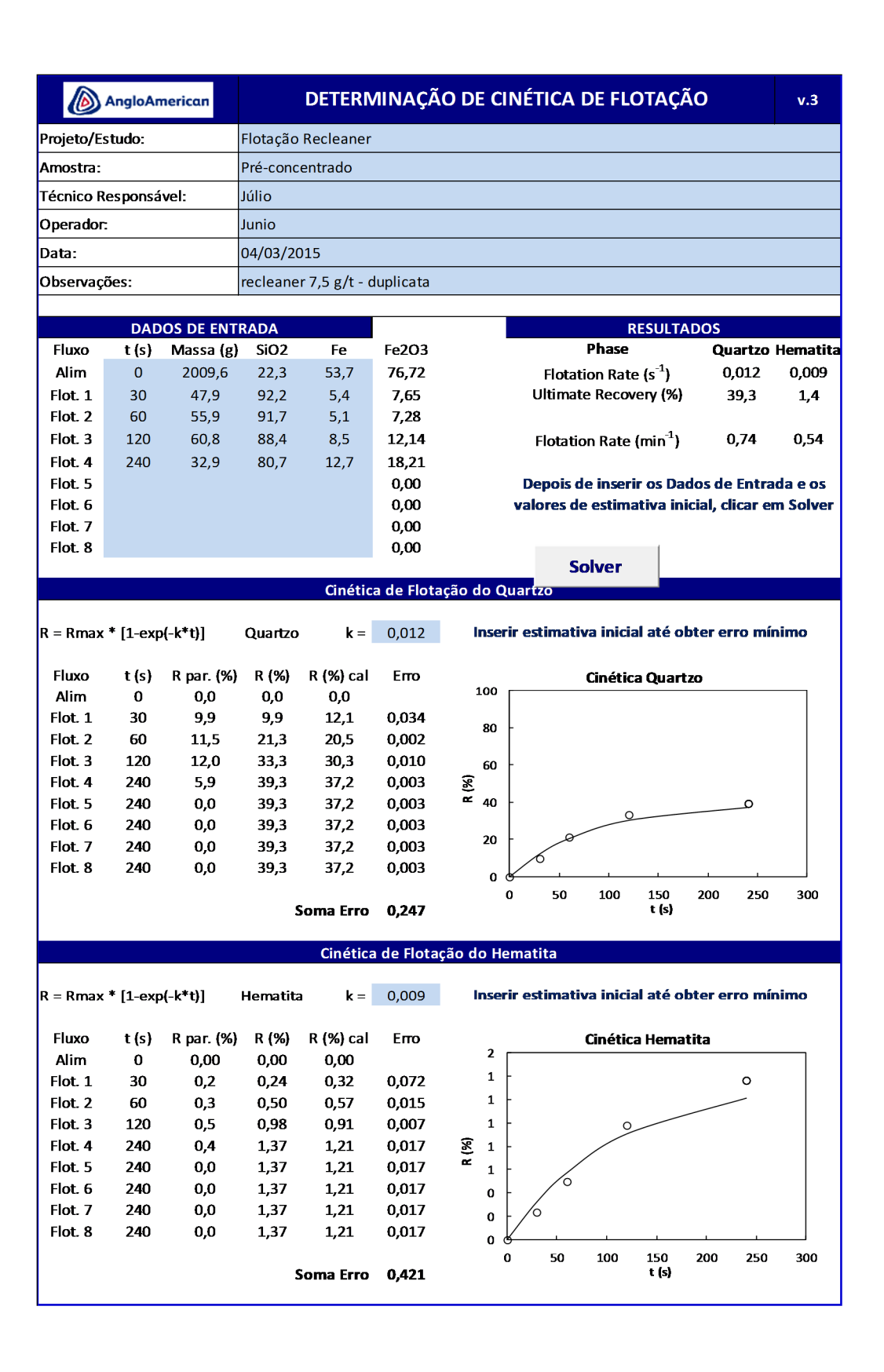
	AngloAmerico	ın	MOABILIDADE										
Plano de	Trabalho:	Recleaner				Data:	03/03/201	5	Teste:	2			
Amostra:		Remoagem	- P80 = 3	6microns		Executor:	Julio/Junio	o/Marcelo					
	Diâmetro li	nterno	m	0,208		Massa sóli			3,69				
	Comp. Inte	emo	m	0,208		Massa de l	bolas	kg	13,14				
	Porosidade	9	%	40,0		Volume de	água	L	1,042				
	J - Ench. E	Bolas	%	42,00		Vel. do tes	te	rpm	72,54				
	U - Ench. I	Material	%	100,0									
	Dens. real	sólidos	t/m3	4,38		3	Distribuiç	ão de Bola	S				
	Dens. apar	r. sólidos	t/m3	3,11		n	(mm)	(%)	(kg)				
	Dens. real	bolas	t/m3	7,38		1	12	100	13,1				
	Conc. sólio	dos	%	78,0		2			0,0				
	Vel. crítica	adotada	%	76,1		3			0,0				
	Vol. Interne	0	m3	0,007		4			0,0				
	Velocidade crítica			95,3		5			0,0				
	Potência N	/lecânica	kW	0,038			Total	100	13,1				
t (min) 0,0			2	0,0	4	0,8	4	2,8					
Size (µm)	Pas. (%)			Pas. (%)		Pas. (%)		Pas. (%)		Pas. (%			
850		100,00		100,00		100,00							
600		100,00		100,00		100,00							
425		100,00		100,00		100,00							
300		100,00		100,00		100,00							
212		99,84		100,00		100,00							
149		98,81		99,97		100,00			-				
74		92,40 81,36		98,66 91,60		100,00 98,19			-				
53		69,49		78,82		98,19 88,05							
38		57,62		67,27		74,29							
28		32,39		40,83		51,13							
21		20,57		27,65		36,85		-	-				
15		10,53		15,44		21,95							
9		5,64		9,00		13,08							
7		4,32		6,65		9,85							
Pan		1,02		0,00		0,00				-			
Total	0,00		0,00	1	0,00	-	0,00	-	0,00	-			
	(µm)	71,4		54,8		43,9	L	0,0	L				
	sp. (kWh/t)	•		3,40		6,94							

Anexo 10: Parâmetros e resultados experimentais obtidos para os testes de flotação em colunas em laboratório.



Anexo 11: Parâmetros e resultados experimentais obtidos para determinar a cinética de flotação em colunas em laboratório.





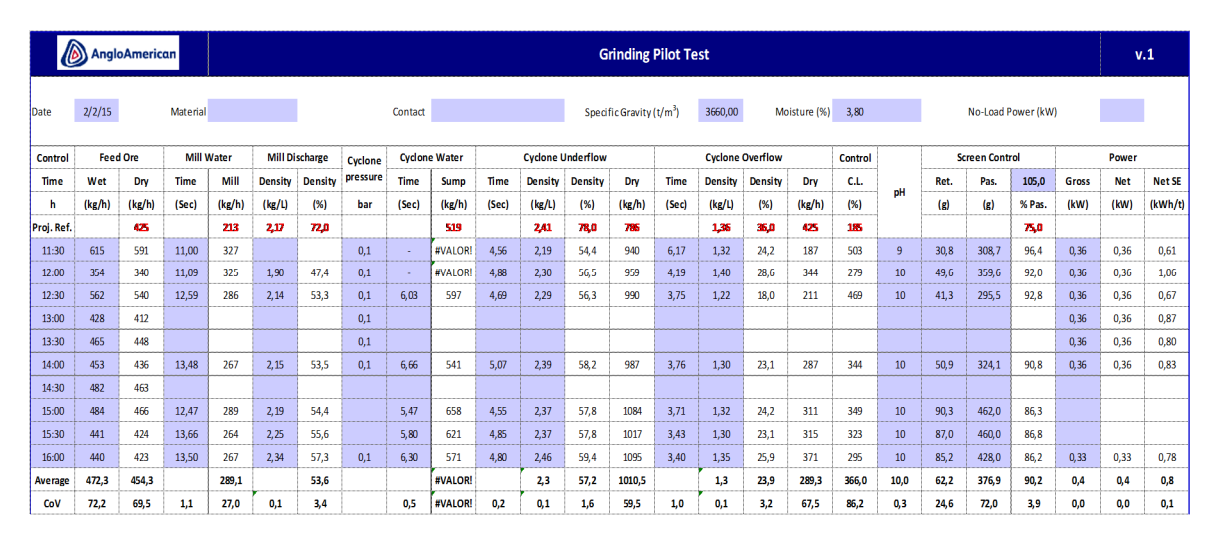
	AngloAn	nerican		DETERM	IINAÇ	ÃO DE CINÉTICA DE FLOTAÇÃO v.3
Projeto/Es	tudo:		Flotação	Recleaner		
Amostra:			Pré-conc	entrado		
Técnico Re	esponsá	vel:	Júlio			
Operador:	•		Junio			
				015		
Data:			04/03/20			
Observaçõ	ões:		recleane	er 15 g/t		
	DAD	OS DE ENTI	RADA			RESULTADOS
Fluxo	t (s)	Massa (g)	SiO2	Fe	Fe2O3	Phase Quartzo Hematita
Alim	0	2070,0	22,3	53,7	76,72	Flotation Rate (s ⁻¹) 0,012 0,010
Flot. 1	30	111,1	91,2	5,9	8,48	Ultimate Recovery (%) 82,5 3,0
Flot. 2	60	112,2	89,0	7,5	10,77	
Flot. 3	120	138,0	89,1	7,6		Solver Flotation Rate (min ⁻¹) 0,74 0,62
Flot. 4	240	67,4	83,5	11,1	15,93	
Flot. 5					0,00	Depois de inserir os Dados de Entrada e os
Flot. 6					0,00	valores de estimativa inicial, clicar em Solver
Flot. 7 Flot. 8					0,00	
FIUL. 6					0,00	
				Cinética	de Flo	tação do Quartzo
R = Rmax	* [1-exp	(-k*t)]	Quartzo	k =	0,012	Inserir estimativa inicial até obter erro mínimo
Fluxo	t (s)	R par. (%)	R (%)	R (%) cal	Erro	Cinética Quartzo
Alim	0	0,0	0,0	0,0		100
Flot. 1	30	22,0	22,0	25,6	0,020	80 +
Flot. 2	60	21,7	43,6	43,3	0,000	
Flot. 3	120	26,7	70,3	63,8	0,010	_ 55
Flot. 4	240	12,2	82,5	78,3	0,003	
Flot. 5	240	0,0	82,5	78,3	0,003	** /
Flot. 6 Flot. 7	240 240	0,0	82,5	78,3	0,003	20 L /O
Flot. 8	240	0,0 0,0	82,5 82,5	78,3 78,3	0,003	
1101.0	240	0,0	02,3	70,3	0,003	0 6
			:	Soma Erro	0,212	
				Cinética	de Flo	tação do Hematita
R = Rmax	* [1-exp	o(-k*t)]	Hematita	a k=	0,010	Inserir estimativa inicial até obter erro mínimo
Fluxo	t (s)	R par. (%)	R (%)	R (%) cal	Erro	Cinética Hematita
Alim	0	0,00	0,00	0,00		4
Flot. 1	30	0,6	0,59	0,79	0,062	3 - 0
Flot. 2	60	0,8	1,35	1,37	0,000	
Flot. 3	120	0,9	2,30	2,11	0,008	
Flot. 4	240	0,7	2,98	2,72	0,009	8
Flot. 5	240	0,0	2,98	2,72	0,009	
Flot. 6	240	0,0	2,98	2,72	0,009	
Flot. 7	240	0,0	2,98	2,72	0,009	
Flot. 8	240	0,0	2,98	2,72	0,009	0 50 100 150 200 250 300
ı						U 50 100 150 200 250 300

	AngloAn	nerican		DETERM	1INAÇ	ÃO DE CINÉTICA DE FLOTAÇÃO v.3
Projeto/Es	tudo:		Flotação	Recleaner		
Amostra:			Pré-cond	entrado		
Técnico R	esponsá	vel:	Júlio			
Operador:	•		Junio			
				015		
Data:			04/03/2			
Observaçõ	ŏes:		recleane	er 15 g/t - du	uplicata	
	DAD	OS DE ENT	RADA			RESULTADOS
Fluxo	t (s)	Massa (g)	SiO2	Fe	Fe2O3	Phase Quartzo Hematita
Alim	0	2033,3	22,3	53,7	76,72	Flotation Rate (s ⁻¹) 0,014 0,014
Flot. 1	30	125,1	88,6	7,8	11,18	Ultimate Recovery (%) 78,7 2,6
Flot. 2	60	104,1	90,6	6,5	9,25	
Flot. 3	120	115,2	91,0	6,1	8,7	Solver Flotation Rate (min ⁻¹) 0,83 0,86
Flot. 4	240	54,2	85,9	9,4	13,40	
Flot. 5					0,00	Depois de inserir os Dados de Entrada e os
Flot. 6					0,00	valores de estimativa inicial, clicar em Solver
Flot. 7					0,00	
Flot. 8					0,00	
				Cinátic	do Elo	tação do Quartzo
				Circuic	a ac 110	taşao do Quartzo
R = Rmax	* [1-exp	o(-k*t)]	Quartzo	k =	0,014	Inserir estimativa inicial até obter erro mínimo
Fluxo	t (s)	R par. (%)	R (%)	R (%) cal	Erro	Cinética Quartzo
Alim	0	0,0	0,0	0,0		100
Flot. 1	30	24,5	24,5	26,8	0,008	80 -
Flot. 2	60	20,8	45,3	44,5	0,000	80
Flot. 3	120	23,1	68,4	63,9	0,005	60 -
Flot. 4	240	10,3	78,7	75,9	0,001	§
Flot. 5	240	0,0	78,7	75,9	0,001	∝ 40 -
Flot. 6	240	0,0	78,7	75 , 9	0,001	20 - 6
Flot. 7	240	0,0	78,7	75,9	0,001	
Flot. 8	240	0,0	78,7	75,9	0,001	0
			:	Soma Erro	0,141	0 50 100 150 200 250 300 t (s)
				Cinética	de Flot	ação do Hematita
D - D · · ·	* [4 -	./ 1.****	Haar : ***		0.011	Inspris potimotivo inicial até abten anno mérico
R = Rmax	≁ [1-exp)(-K*t)]	Hematit	a k=	0,014	Inserir estimativa inicial até obter erro mínimo
Fluxo	t (s)	R par. (%)	R (%)	R (%) cal	Erro	Cinética Hematita
Alim	0	0,00	0,00	0,00	0	3
Flot. 1	30	0,9	0,90	0,92	0,001	3
Flot. 2	60	0,6	1,51	1,52	0,000	
Flot. 3	120	0,6	2,16	2,16	0,000	2
Flot. 4	240	0,5	2,62	2,54	0,001	(%) 2 − Ø
Flot. 5	240	0,0	2,62	2,54	0,001	
Flot. 6	240	0,0	2,62	2,54	0,001	1 1
	240	0,0	2,62	2,54	0,001	1 /
Flot. 7						
Flot. 7 Flot. 8	240	0,0	2,62	2,54	0,001	0 50 100 150 200 250 300

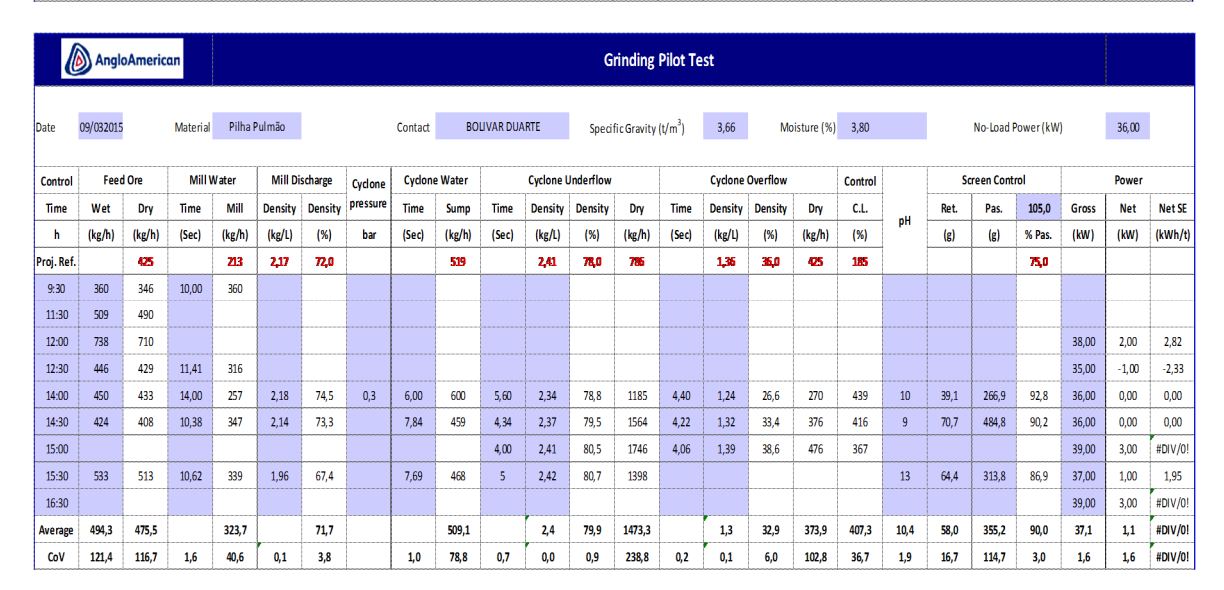
Projeto/Estudo: Flotação Recleaner		AngloAr	nerican		DETERM	IINAÇÃ	NO DE CINÉTICA DE FLOTAÇÃO v.3
Amostra:				=1 . ~			
Técnico Responsável: Data:	Projeto/E	studo:					
Operador:	Amostra:			Pré-conc	entrado		
Data	Técnico R	tes ponsá	ivel:	Júlio			
Discripage Text	Operador	:	,	Junio			
Flux	Data:			04/03/20	015		
Flux	Observac	ñoc.		rocloano	r 35 σ/t		
Fluxo	Obscivaç	ocs.					
Fluxo t(s) Massa (g) SiO2 Fe Fe203 Phase Quartzo Hematita		DAD	OS DE ENTI		VCI		RESULTADOS
Flot. 1 30 214,3 82,0 11,8 16,91 Ultimate Recovery (%) 94,9 7,3 Flot. 2 60 153,5 82,2 12,5 17,84 Flot. 3 120 132,8 76,7 15,8 22,62 Flotation Rate (min ⁻¹) 1,10 0,79 Flot. 4 240 58,2 58,7 27,1 38,80 Plot. 5 Flot. 6 Flot. 7 Flot. 8 Flot. 9	Fluxo				Fe	Fe2O3	
Flot. 1 30 214,3 82,0 11,8 16,91 Ultimate Recovery (%) 94,9 7,3 Flot. 2 60 153,5 82,2 12,5 17,84 Flot. 3 120 132,8 76,7 15,8 22,62 Flotation Rate (min ⁻¹) 1,10 0,79 Flot. 4 240 58,2 58,7 27,1 38,80 Plot. 5 Flot. 6 Flot. 7 Flot. 8 Flot. 9	Alim			22,3	53,7	76,72	Flotation Rate (s ⁻¹) 0,018 0,013
Flot. 3	Flot. 1	30	214,3	82,0	11,8	16,91	
Flot. 4 240 58,2 58,7 27,1 38,80 0,00 Depois de inserir os Dados de Entrada e os Flot. 5 Flot. 6 0,00 0,00 0,00 Flot. 8 Flot. 7 Flot. 9	Flot. 2	60	153,5	82,2	12,5	17,84	
Flot. 5 Flot. 6 Flot. 7 Flot. 8 Cinética de Flotação do Quartzo	Flot. 3	120	132,8	76,7	15,8	22,62	Flotation Rate (min ⁻¹) 1,10 0,79
Flot. 7 Flot. 8 Cinética de Flotação do Quartzo	Flot. 4	240	58,2	58,7	27,1	38,80	
Flot. 7 Flot. 8	Flot. 5					0,00	•
Flot. 8 Cinética de Flotação do Quartzo	Flot. 6					0,00	valores de estimativa inicial, clicar em Solver
Cinética de Flotação do Quartzo Cinética de Flotação do Quartzo Cinética de Flotação do Quartzo Cinética Cinética Cinética						-	
R = Rmax * [1-exp(-k*t)]	Flot. 8					0,00	
R = Rmax * [1-exp(-k*t)]					Cinátic	do Flot	ação do Quartzo
Fluxo t (s) R par. (%) R (%) R (%) cal Erro Alim 0 0,0 0,0 0,0 0,0 Flot. 1 30 38,1 38,1 40,0 0,002 Flot. 2 60 27,3 65,4 63,2 0,001 Flot. 3 120 22,1 87,5 84,3 0,001 Flot. 5 240 0,0 94,9 93,7 0,000 Flot. 6 240 0,0 94,9 93,7 0,000 Flot. 7 240 0,0 94,9 93,7 0,000 Flot. 8 240 0,0 94,9 93,7 0,000 Soma Erro O,077 Cinética de Flotação do Hematita Cinética de Flotação do Hematita					Cirretica	ue Flot	ação do Quaitzo
Alim 0 0,0 0,0 0,0 0,0 0,0 100 100	R = Rmax	* [1-exp	o(-k*t)]	Quartzo	k =	0,018	Inserir estimativa inicial até obter erro mínimo
Alim 0 0,0 0,0 0,0 0,0 100 100 100 100 Flot 1 30 38,1 38,1 40,0 0,002 80 Flot 2 60 27,3 65,4 63,2 0,001 Flot 3 120 22,1 87,5 84,3 0,001 60 Flot 5 240 0,0 94,9 93,7 0,000 Flot 6 240 0,0 94,9 93,7 0,000 Flot 7 240 0,0 94,9 93,7 0,000 Flot 8 240 0,0 7,31 7,00 0,000 Flot 1 30 2,3 2,28 2,39 0,002 Flot 2 60 1,7 4,00 4,00 0,000 Flot 1 30 2,3 2,28 2,39 0,002 Flot 2 60 1,7 4,00 4,00 0,000 Flot 3 120 1,9 5,89 5,81 0,000 Flot 4 240 1,4 7,31 7,00 0,002 Flot 4 240 1,4 7,31 7,00 0,002 Flot 5 240 0,0 7,31 7,00 0,002 Flot 6 240 0,0 7,31 7,00 0,002 Flot 7 240 0,0 7,31 7,00 0,002 Flot 7 240 0,0 7,31 7,00 0,002 Flot 7 240 0,0 7,31 7,00 0,002 Flot 8 240 0,0 7,31	Fluxo	t (s)	R par. (%)	R (%)	R (%) cal	Erro	Cinética Quartzo
Flot. 1 30 38,1 38,1 40,0 0,002 80 Flot. 2 60 27,3 65,4 63,2 0,001 60 Flot. 3 120 22,1 87,5 84,3 0,001 60 Flot. 5 240 0,0 94,9 93,7 0,000 82 Flot. 6 240 0,0 94,9 93,7 0,000 82 Flot. 8 240 0,0 94,9 93,7 0,000 82 Soma Erro 0,077 Soma Erro 0,077 Cinética de Flotação do Hematita R = Rmax * [1-exp(-k*t)] Hematita k = 0,013 Inserir estimativa inicial até obter erro mínimo Fluxo t (s) R par. (%) R (%) R (%) cal Erro Alim 0 0,000 0,000 0,000 0,000 0,000 Flot. 1 30 2,3 2,28 2,39 0,002 Flot. 2 60 1,7 4,00 4,00 0,000 5 Flot. 3 120 1,9 5,89 5,81 0,000 5 Flot. 4 240 1,4 7,31 7,00 0,002 84 1 Flot. 5 240 0,0 7,31 7,00 0,002 84 1 Flot. 5 240 0,0 7,31 7,00 0,002 84 1 Flot. 5 240 0,0 7,31 7,00 0,002 86 Flot. 5 240 0,0 7,31 7,00 0,002 86 Flot. 7	Alim	0	0,0				100
Flot. 2 60 27,3 65,4 63,2 0,001 Flot. 3 120 22,1 87,5 84,3 0,000 Flot. 5 240 0,0 94,9 93,7 0,000 Flot. 5 240 0,0 94,9 93,7 0,000 Flot. 7 240 0,0 94,9 93,7 0,000 Flot. 8 240 0,0 94,9 93,7 0,000 Flot. 8 240 0,0 94,9 93,7 0,000 Soma Erro 0,077 Cinética de Flotação do Hematita R = Rmax * [1-exp(-k*t)] Hematita k = 0,013 Inserir estimativa inicial até obter erro mínimo Fluxo t (s) R par. (%) R (%) R (%) cal Erro Alim 0 0,000 0,00 0,00 0,00 Flot. 1 30 2,3 2,28 2,39 0,002 Flot. 2 60 1,7 4,00 4,00 0,000 6 Flot. 3 120 1,9 5,89 5,81 0,000 5 Flot. 4 240 1,4 7,31 7,00 0,002 Flot. 5 240 0,0 7,31 7,00 0,002 Flot. 5 240 0,0 7,31 7,00 0,002 Flot. 5 240 0,0 7,31 7,00 0,002 Flot. 7 240 0,0 7,31 7,00 0,002 Flot. 7 240 0,0 7,31 7,00 0,002 Flot. 8 240 0,0 7,31 7,00 0,002 Flot. 7 240 0,0 7,31 7,00 0,002 Flot. 8 240 0,0 7,31 7,00 0,002 Flot. 7 240 0,0 7,31 7,00 0,002 Flot. 7 240 0,0 7,31 7,00 0,002 Flot. 7 240 0,0 7,31 7,00 0,002 Flot. 8 240 0,0 7,31 7,00 0,002	Flot. 1	30	38,1	38,1	40,0	0,002	
Flot. 4 240 7,4 94,9 93,7 0,000 Flot. 5 240 0,0 94,9 93,7 0,000 Flot. 8 240 0,0 94,9 93,7 0,000 Flot. 9 1,0 1,0 1,0 1,0 1,0 1,0 1,0 1,0 1,0 1,0	Flot. 2	60	27,3	65,4	63,2		80
Flot. 5 240 0,0 94,9 93,7 0,000	Flot. 3	120	-		-		
Flot. 6 240 0,0 94,9 93,7 0,000 Flot. 7 240 0,0 94,9 93,7 0,000 Soma Erro 0,077 Cinética de Flotação do Hematita Cinética de Flotação do Hematita	l						8)
Flot. 7 240 0,0 94,9 93,7 0,000 Soma Erro 0,077 Soma Erro 0,077 Soma Erro 0,07			· ·	-	=	-	40 6
Flot. 8 240 0,0 94,9 93,7 0,000 Soma Erro 0,077 Cinética de Flotação do Hematita R = Rmax * [1-exp(-k*t)] Hematita k = 0,013 Inserir estimativa inicial até obter erro mínimo Fluxo t (s) R par. (%) R (%) R (%) cal Erro Alim 0 0,00 0,00 0,00 0,00 Flot. 1 30 2,3 2,28 2,39 0,002 Flot. 2 60 1,7 4,00 4,00 0,000 6 Flot. 3 120 1,9 5,89 5,81 0,000 5 Flot. 4 240 1,4 7,31 7,00 0,002 3 Flot. 5 240 0,0 7,31 7,00 0,002 Flot. 5 240 0,0 7,31 7,00 0,002 Flot. 7 240 0,0 7,31 7,00 0,002 Flot. 7 240 0,0 7,31 7,00 0,002 1 0 0 50 100 150 200 250 300 Flot. 8 240 0,0 7,31 7,00 0,002 1 0 0 50 100 150 200 250 300							20 -
Soma Erro 0,077 0 50 100 150 200 250 300			-	-			
Cinética de Flotação do Hematita Cinética de Flotação do Rematita Cinética de Fl	FIUL 6	240	0,0	94,9	95,7	0,000	
R = Rmax * [1-exp(-k*t)]				!	Soma Erro	0,077	
Fluxo t (s) R par. (%) R (%) cal Erro Alim 0 0,00 0,00 0,00 8 Flot. 1 30 2,3 2,28 2,39 0,002 Flot. 2 60 1,7 4,00 4,00 0,000 5 Flot. 3 120 1,9 5,89 5,81 0,000 5 Flot. 4 240 1,4 7,31 7,00 0,002 \$\frac{8}{2}\$ 4 Flot. 5 240 0,0 7,31 7,00 0,002 Flot. 6 240 0,0 7,31 7,00 0,002 Flot. 7 240 0,0 7,31 7,00 0,002 Flot. 8 240 0,0 7,31 7,00 0,002					Cinética	de Flota	ıção do Hematita
Alim 0 0,00 0,00 0,00 7,31 7,00 0,002 Flot. 7 240 0,0 7,31 7,00 0,002 Flot. 8 240 0,0 7,31 7,00 0,002 Flot. 8 240 0,0 7,31 7,00 0,002 Flot. 8 240 0,0 7,31 7,00 0,002 0 0 50 100 150 200 250 300	R = Rmax	* [1-exp	o(-k*t)]	Hematita	a k=	0,013	Inserir estimativa inicial até obter erro mínimo
Alim 0 0,00 0,00 0,00					- 4-6		-
Flot. 1 30 2,3 2,28 2,39 0,002 7 Flot. 2 60 1,7 4,00 4,00 0,000 6 Flot. 3 120 1,9 5,89 5,81 0,000 5 Flot. 4 240 1,4 7,31 7,00 0,002 \$\mathbb{E}\$ 4 Flot. 5 240 0,0 7,31 7,00 0,002 \$\mathbb{E}\$ 4 Flot. 7 240 0,0 7,31 7,00 0,002 1 Flot. 8 240 0,0 7,31 7,00 0,002 0 5 Flot. 8 240 0,0 7,31 7,00 0,002 0 5 Flot. 9 200 250 300						Erro	
Flot. 2 60 1,7 4,00 4,00 0,000 6 Flot. 3 120 1,9 5,89 5,81 0,000 5 Flot. 4 240 1,4 7,31 7,00 0,002			-		-	0.003	
Flot. 3 120 1,9 5,89 5,81 0,000 5 Flot. 4 240 1,4 7,31 7,00 0,002 £ 4 Flot. 5 240 0,0 7,31 7,00 0,002 2 Flot. 6 240 0,0 7,31 7,00 0,002 Flot. 7 240 0,0 7,31 7,00 0,002 Flot. 8 240 0,0 7,31 7,00 0,002 0 50 100 150 200 250 300				-			
Flot. 4 240 1,4 7,31 7,00 0,002							
Flot. 5 240 0,0 7,31 7,00 0,002 3 Flot. 6 240 0,0 7,31 7,00 0,002 2 Flot. 7 240 0,0 7,31 7,00 0,002 1 Flot. 8 240 0,0 7,31 7,00 0,002 0 0 50 100 150 200 250 300					-		
Flot. 6 240 0,0 7,31 7,00 0,002 2 Flot. 7 240 0,0 7,31 7,00 0,002 1 1 0 0 50 100 150 200 250 300			-				~ /
Flot. 7 240 0,0 7,31 7,00 0,002 1 1 0 50 100 150 200 250 300	l						
Flot. 8 240 0,0 7,31 7,00 0,002 0 0 0 0 0 0 0 0 0 0 0 0 0 0 0							
0 50 100 150 200 250 300	l		-				/
			,	-	•	-	0 50 100 150 200 250 300
						-	

	AngloAn	nerican		DETERN	IINAÇÃ	O DE CINÉTICA DE FLOTAÇÃO v.3
Projeto/Es	studo:		Flotação	Recleaner		
Amostra:			Pré-cond			
Técnico R	esnonsá		Júlio			
			Junio			
Operador				045		
Data:			04/03/2			
Observaç	ões:			er 35 g/t - du	ıplicata	
	DAD	OC DE ENTI	Sol	<i>i</i> er		DECHITADOS
Fluxo	t (s)	OS DE ENTI Massa (g)		Fe	Fe2O3	RESULTADOS Phase Quartzo Hematit
Alim	0	2079,2	22,3	53,7	76,72	Flotation Rate (s ⁻¹) 0,019 0,014
Flot. 1	30	213,6	83,3	11,4	16,31	Ultimate Recovery (%) 94,5 6,8
Flot. 2	60	160,0	82,0	12,2	17,43	
Flot. 3	120	118,5	78,4	14,7	20,96	Flotation Rate (min ⁻¹) 1,12 0,83
Flot. 4	240	58,1	61,6	25,3	36,20	
Flot. 5					0,00	Depois de inserir os Dados de Entrada e os
Flot. 6					0,00	valores de estimativa inicial, clicar em Solve
Flot. 7					0,00	
Flot. 8					0,00	
				Cinética	de Flota	ação do Quartzo
R = Rmax	* [1-exp	o(-k*t)]	Quartzo	k =	0,019	Inserir estimativa inicial até obter erro mínimo
Fluxo	t (s)	R par. (%)	R (%)	R (%) cal	Erro	Cinética Quartzo
Alim	0	0,0	0,0	0,0	LIIO	100 Cinetica Quartzo
Flot. 1	30	38,4	38,4	40,6	0,003	9
Flot. 2	60	28,3	66,7	63,7	0,002	80
Flot. 3	120	20,1	86,8	84,5	0,001	60 -
Flot. 4	240	7,7	94,5	93,5	0,000	% ~ 40
Flot. 5	240	0,0	94,5	93,5	0,000	~ 40
	340	~ ~		93,5	0,000	
Flot. 6	240	0,0	94,5	-	-	20 -
Flot. 6 Flot. 7	240	0,0	94,5	93,5	0,000	20
Flot. 6		-	-	-	-	0 50 100 150 200 250 300
Flot. 6 Flot. 7	240	0,0	94,5 94,5	93,5	0,000	0
Flot. 6 Flot. 7	240	0,0	94,5 94,5	93,5 93,5 Soma Erro	0,000 0,000 0,080	0 50 100 150 200 250 300
Flot. 6 Flot. 7	240 240	0,0 0,0	94,5 94,5	93,5 93,5 Soma Erro Cinética	0,000 0,000 0,080	0 50 100 150 200 250 300 t(s)
Flot. 6 Flot. 7 Flot. 8	240 240	0,0 0,0	94,5 94,5	93,5 93,5 Soma Erro Cinética	0,000 0,000 0,080 de Flota	0 50 100 150 200 250 300 t (s) ção do Hematita Inserir estimativa inicial até obter erro mínimo Cinética Hematita
Flot. 6 Flot. 7 Flot. 8 R = Rmax Fluxo Alim	240 240 * [1-exp t (s) 0	0,0 0,0 0(-k*t)] R par. (%) 0,00	94,5 94,5 Hematit R (%) 0,00	93,5 93,5 Soma Erro Cinética a k = R (%) cal 0,00	0,000 0,000 0,080 de Flotar 0,014 Erro	0 50 100 150 200 250 300 t (s) Cinética Hematita Solution Cinética Hematita
Flot. 6 Flot. 7 Flot. 8 R = Rmax Fluxo Alim Flot. 1	240 240 * [1-exp t (s) 0 30	0,0 0,0 0(-k*t)] R par. (%) 0,00 2,2	94,5 94,5 Hematit R (%) 0,00 2,18	93,5 93,5 Soma Erro Cinética a k = R (%) cal 0,00 2,31	0,000 0,000 0,080 de Flotae 0,014 Erro 0,003	0 50 100 150 200 250 300 ção do Hematita Inserir estimativa inicial até obter erro mínimo Cinética Hematita
Flot. 6 Flot. 7 Flot. 8 R = Rmax Fluxo Alim Flot. 1 Flot. 2	240 240 * [1-exp t (s) 0 30 60	0,0 0,0 0(-k*t)] R par. (%) 0,00 2,2 1,7	94,5 94,5 Hematit R (%) 0,00 2,18 3,93	93,5 93,5 Soma Erro Cinética a k = R (%) cal 0,00 2,31 3,83	0,000 0,000 0,080 de Flotas 0,014 Erro 0,003 0,001	o 50 100 150 200 250 300 cão do Hematita Inserir estimativa inicial até obter erro mínimo Cinética Hematita
Flot. 6 Flot. 7 Flot. 8 R = Rmax Fluxo Alim Flot. 1 Flot. 2 Flot. 3	240 240 * [1-exp t (s) 0 30 60 120	0,0 0,0 0(-k*t)] R par. (%) 0,00 2,2 1,7 1,6	94,5 94,5 Hematit R (%) 0,00 2,18 3,93 5,49	93,5 93,5 Soma Erro Cinética a k = R (%) cal 0,00 2,31 3,83 5,51	0,000 0,000 0,080 de Flotas 0,014 Erro 0,003 0,001 0,000	o 50 100 150 200 250 300 cão do Hematita Inserir estimativa inicial até obter erro mínimo Cinética Hematita
Flot. 6 Flot. 7 Flot. 8 R = Rmax Fluxo Alim Flot. 1 Flot. 2 Flot. 3 Flot. 4	240 240 * [1-exp t (s) 0 30 60 120 240	0,0 0,0 0(-k*t)] R par. (%) 0,00 2,2 1,7 1,6 1,3	94,5 94,5 Hematit R (%) 0,00 2,18 3,93 5,49 6,81	93,5 93,5 Soma Erro Cinética a k = R (%) cal 0,00 2,31 3,83 5,51 6,56	0,000 0,000 0,080 de Flotas 0,014 Erro 0,003 0,001 0,000 0,001	ção do Hematita Inserir estimativa inicial até obter erro mínimo Cinética Hematita
Flot. 6 Flot. 7 Flot. 8 R = Rmax Fluxo Alim Flot. 1 Flot. 2 Flot. 3 Flot. 4 Flot. 5	* [1-exp t (s) 0 30 60 120 240 240	0,0 0,0 0(-k*t)] R par. (%) 0,00 2,2 1,7 1,6 1,3 0,0	94,5 94,5 Hematit R (%) 0,00 2,18 3,93 5,49 6,81 6,81	93,5 93,5 93,5 Soma Erro Cinética a	0,000 0,000 0,080 de Flota 0,014 Erro 0,003 0,001 0,000 0,001	o 50 100 150 200 250 300 cão do Hematita Inserir estimativa inicial até obter erro mínimo Cinética Hematita
Flot. 6 Flot. 7 Flot. 8 R = Rmax Fluxo Alim Flot. 1 Flot. 2 Flot. 3 Flot. 4	240 240 * [1-exp t (s) 0 30 60 120 240	0,0 0,0 0(-k*t)] R par. (%) 0,00 2,2 1,7 1,6 1,3	94,5 94,5 Hematit R (%) 0,00 2,18 3,93 5,49 6,81	93,5 93,5 Soma Erro Cinética a k = R (%) cal 0,00 2,31 3,83 5,51 6,56	0,000 0,000 0,080 de Flotas 0,014 Erro 0,003 0,001 0,000 0,001	o 50 100 150 200 250 300 cão do Hematita Inserir estimativa inicial até obter erro mínimo Cinética Hematita 8 7 6 5 8 4 3 2
Flot. 6 Flot. 7 Flot. 8 R = Rmax Fluxo Alim Flot. 1 Flot. 2 Flot. 3 Flot. 4 Flot. 5 Flot. 6	* [1-exp t (s) 0 30 60 120 240 240 240	0,0 0,0 0(-k*t)] R par. (%) 0,00 2,2 1,7 1,6 1,3 0,0 0,0	94,5 94,5 Hematit R (%) 0,00 2,18 3,93 5,49 6,81 6,81 6,81	93,5 93,5 93,5 Soma Erro Cinética a	0,000 0,000 0,080 de Flota 0,014 Erro 0,003 0,001 0,000 0,001 0,001	o 50 100 150 200 250 300 cão do Hematita Inserir estimativa inicial até obter erro mínimo Cinética Hematita

Anexo 12: Resultados do teste integrado em escala piloto para o circuito de moagem.

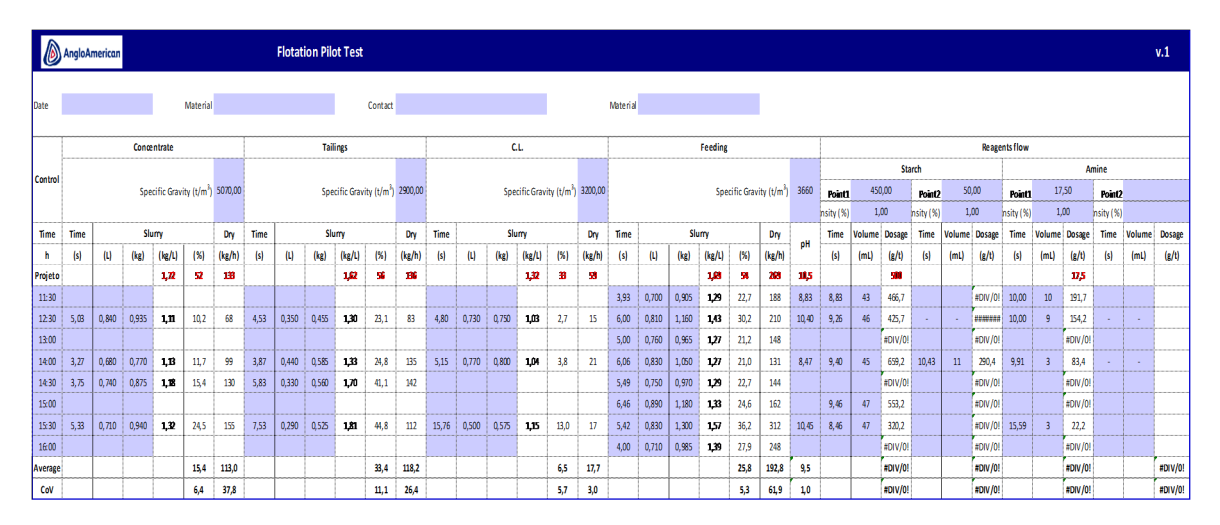


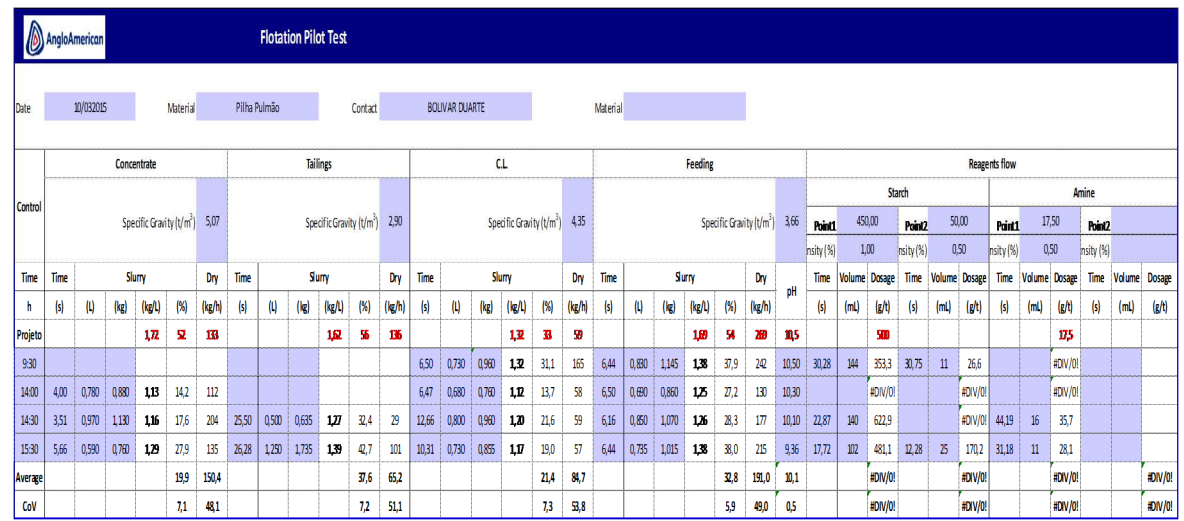


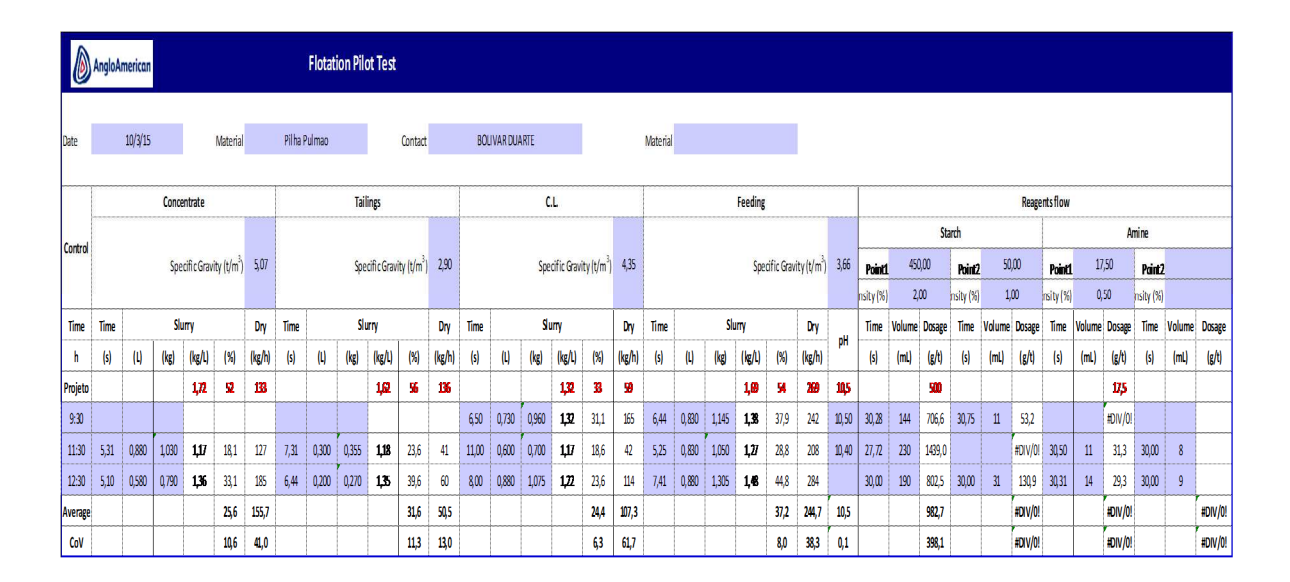


	Anglo	Americ	an	Grinding Pilot Test																					
Date	10/032015		Material	Pilha F	Pilha Pulmao Contact BOLIVAR DUARTE Specific Gravity (t/m³) 3,66 Moisture (%) 3,80 No-Load Power (kW) 3											35,00									
Control	Feed	Ore	Mill	Vater	Mill Di	scharge	Cyclone	Cyclone	Water		Cyclone l	Inderflow			Cyclone	Overflow		Control		Sc	reen Cont	rol		Power	
Time	Wet	Dry	Time	Mill	Density	Density	pressure	Time	Sump	Time	Density	Density	Dry	Time	Density	Density	Dry	C.L.		Ret.	Pas.	105,0	Gross	Net	Net SE
h	(kg/h)	(kg/h)	(Sec)	(kg/h)	(kg/L)	(%)	bar	(Sec)	(kg/h)	(Sec)	(kg/L)	(%)	(kg/h)	(Sec)	(kg/L)	(%)	(kg/h)	(%)	pН	(g)	(g)	% Pas.	(kW)	(kW)	(kWh/t)
Proj. Ref.		425		213	2,17	72,0			519		2,41	78,0	786		1,36	36,0	425	185				75,0			
10:30	573	552	10,63	339				5,16	698														35,00	0,00	0,00
11:00																							37,00	2,00	#DIV/0!
11:30	455	438	10,32	349	2,24	76,2		10,96	328	4,41	2,34	78,8	1505	6,22	1,32	33,4	255	591	10	87,0	494,0	87,6	37,00	2,00	4,57
12:00																							36,00	1,00	#DIV/0!
12:30	455	438	10,91	330	2,23	75,9		12,59	286	4,13	2,44	81,2	1727	3,22	1,49	45,2	754	229	7	149,0	670,6	83,5	37,00	2,00	4,57
Average	494,5	475,7		339,2		76,0			437,4		2,4	80,0	1616,1		1,4	39,3	504,3	409,9	8,1	118,0	582,3	85,5	36,4	1,4	#DIV/0!
CoV	68,4	65,8	0,3	9,4	0,0	0,2		3,9	226,4	0,2	0,1	1,7	157,0	2,1	0,1	8,4	352,8	255,6	2,2	43,8	124,9	2,9	0,9	0,9	#DIV/0!

Anexo 13: Resultados do teste integrado em escala piloto para o circuito de flotação em células convencionais.





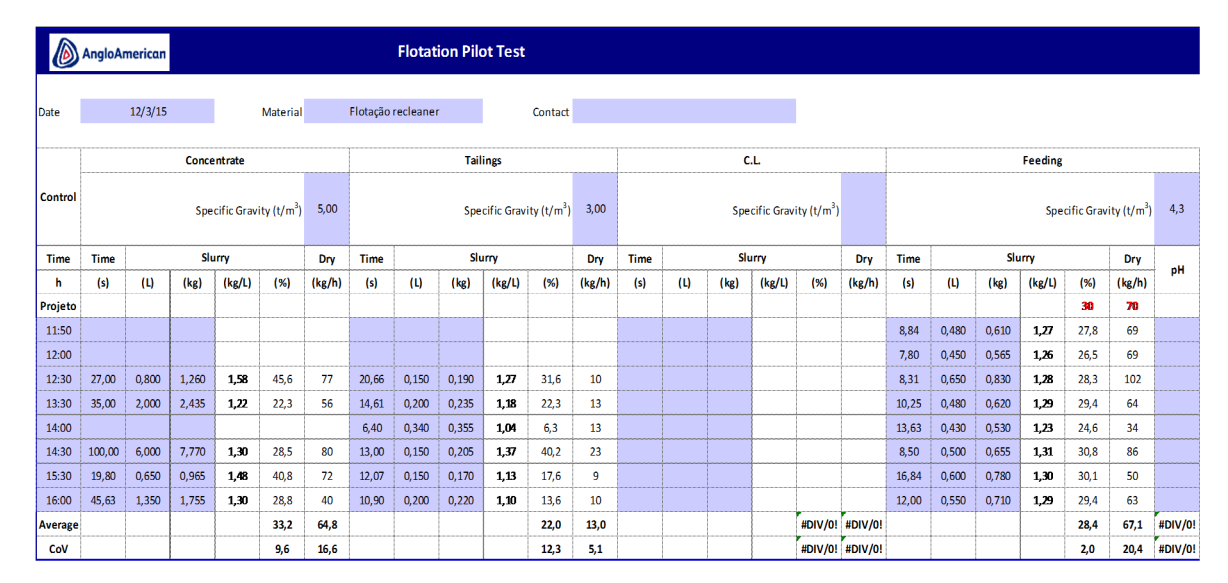


Anexo 14: Resultados do teste integrado em escala piloto para o circuito de remoagem.

 An	gloAmeric	an		DIS	TRIBUI	ÇÃO G	RANUL	OMÉTR	ICA			v.1
Plano de 1	Trabalho:	Recleaner						Data:	30/30/201	5	Teste:	1
Amostra:		Alimentaç	ão Coluna					Executor:	Juliana/Ma	arcelo		
		Peneira	amento						Cyclosizer			
#	Tela	Massa	Retio	lo (%)	Passante	Ciclone	di	de	Massa	Retic	lo (%)	Passante
i	(μm)	(g)	Simples	Acumul.	(%)	N°	(μm)	(μm)	(g)	Simples	Acumul.	(%)
1			0,00	0,00	100,00	1	44	28	8,70	21,8	21,8	63,7
2			0,00	0,00	100,00	2	33	21	7,85	19,6	41,4	47,7
3			0,00	0,00	100,00	3	23	15	9,60	24,0	65,4	28,2
4			0,00	0,00	100,00	4	15	10	6,09	15,2	80,6	15,8
5			0,00	0,00	100,00	5	11	7	1,89	4,73	85,3	11,9
6			0,00	0,00	100,00	<5	-	-	5,87	14,7	100,0	0,00
7			0,00	0,00	100,00	Total			40,00	100,0	-	-
8			0,00	0,00	100,00	Aliment	ação Massa	a Seca (g)	40,00			
9			0,00	0,00	100,00	Fator de	correção (f)	para as co	ndições do	teste		
10			0,00	0,00	100,00	Tempera	tura (°C)			23,5	f1	0,96
11			0,00	0,00	100,00	Massa e	specífica fra	ação -38 (g/	cm³)	4,45	f2	0,70
12			0,00	0,00	100,00	Vazão (L	/h)			720	f3	0,98
13			0,00	0,00	100,00	Tempo (r	nin.)			30	f4	0,97
14			0,00	0,00	100,00	Fator de	correção (f = f1 x f2 x	f3 x f4)	-	f	0,64
15	850		0,00	0,00	100,00	100						
16	600	0,00	0,00	0,00	100,00							
17	425	0,00	0,00	0,00	100,00							
18	300	0,00	0,00	0,00	100,00	80			/			
19	212	0,00	0,00	0,00	100,00							
20	150	0,00	0,00	0,00	100,00	월 60						
21	106	0,69	0,49	0,49	99,51	Passante 99						
22	75	2,81	1,98	2,47	97,53	% 40						
23	53	9,06	6,39	8,86	91,14	-						
24	44	4,26	3,00	11,86	88,14				7			
25	38	9,55	6,73	18,59	81,41	20						
'	-38	115,46	81,41	100,00	0,00							
Total		142	100,0	-	-	0	1	10	i i	100		1000
Inicial		145,0	Perda d	e massa	2,19%	1	-		nho da Part			
80	Pas. (%)		44	(µm)				d80 (μm)	d50 (µm)	d20 (μm)		
37,2	(µm)	1	88,1	Pas. (%)	1			37,2	22,2	11,4	1	

Anexo 15: Resultados do teste integrado em escala piloto para o circuito de flotação em colunas.

	AngloAı	merican						Flotat	ion Pilo	ot Test															
Date		11/3/15			Material		Flotação	recleaner			Contact														
			Conce	ntrate					Tail	ings					C	i.L						Feeding			
Control			Spe	cific Grav	ty (t/m³)	5,00			Spe	cific Grav	ity (t/m³)	3,00			Spe	ecific Grav	ity (t/m³)					Spe	cific Grav	rity (t/m³)	4,3
Time	Time		Slu	ırry		Dry	Time		Slu	ırry		Dry	+				Time		SI	urry		Dry	pН		
h	(s)	(L)	(kg)	(kg/L)	(%)	(kg/h)	(s)	(L)	(kg)	(kg/L)	(%)	(kg/h)	(s)	(L)	(kg)	(kg/L)	(%)	(kg/h)	(s)	(L)	(kg)	(kg/L)	(%)	(kg/h)	pn
Projeto																							30	140	
12:00	8,38	0,580	0,645	1,11	12,6	35	39,85	0,400	0,430	1,08	10,5	4							11,41	0,550	0,705	1,28	28,6	64	
12:30	28,91	0,410	0,600	1,46	39,6	30	29,00	0,300	0,380	1,27	31,6	15							11,87	0,635	0,890	1,40	37,3	101	
13:00	21,09	0,830	0,990	1,19	20,2	34	15,25	0,300	0,325	1,08	11,5	9							12,91	0,720	1,080	1,50	43,4	131	
13:30	12,50	0,300	0,355	1,18	19,4	20	12,50	0,370	0,400	1,08	11,3	13							9,00	0,590	0,760	1,29	29,1	89	
14:00	10,31	0,650	0,855	1,32	30,0	89	11,31	0,320	0,365	1,14	18,5	21							7,60	0,650	0,850	1,31	30,7	123	
15:00	14,62	0,800	1,110	1,39	34,9	95	11,31	0,490	0,570	1,16	21,1	38							14,50	0,950	1,220	1,28	28,8	87	
16:00	13,20	0,750	0,990	1,32	30,3	82	8,69	0,400	0,490	1,23	27,6	56							10,22	0,750	0,975	1,30	30,1	103	
Average					26,7	55,0					18,8	22,3					#DIV/0!	#DIV/0!					32,6	99,7	#DIV/0!
CoV					9,6	32,3					8,4	18,4					#DIV/0!	#DIV/0!					5,7	22,8	#DIV/0!



Anexo 16: Resultados das amostragens do teste integrado em escala piloto, referente aos dias 2 e 3 de fevereiro de 2016.

				Peso					Química		
Data	Amostra	Polpa	Seco	Fe	Al ₂ O ₃	SiO ₂	Р	Mn	Ti	Ca	Mg
		g	g	(%)	(%)	(%)	(%)	(%)	(%)	(%)	(%)
	Concentrado Teste 01	16880	3298	59,74	0,9	11,78	0,052	0,091	0,105	0,053	0,02
2-fev	Rejeito Teste 01	8785	2351	9,21	2,84	83,02	0,023	0,027	0,0228	0,0078	0,024
	Lama Teste 01	17815	61	27,92	14,56	34,96	0,289	0,407	0,166	0,118	0,12
	Concentrado Teste 02	12280	2660	51,2	1,03	24,13	0,054	0,077	0,099	0,007	-0,01
3-fev	Rejeito Teste 02	4175	1206	9,13	3,73	80,62	0,024	0,029	0,024	0,0057	0,036
	Lama Teste 02	13460	89	32,82	12,54	29,75	0,289	0,249	0,191	0,022	0,08

Anexo 17: Resultados das amostragens do teste integrado em escala piloto, referente aos dias 09, 10, 11 e 12 de março de 2016.

Data	Circuito	Fluxo	N°	Tempo (s)	Tempo de Amostragem (s)	Polpa (g)	Sólidos (g)	Taxa kg/h	% Sólidos	% Fe	% Al ₂ O ₃	% SiO₂	% P
		Grinding New Feed	1	12	1	1430	1420	426	99,3	37,46	2,32	43,46	0,051
		Water	28	1,6	1	140	140	315	100,0				
	Moagem	Cyclone Feed	2	9,56	1	6790	4640	1747	68,3	46,19	0,99	32,72	0,035
	Primária	Cyclone UF	3	3,63	1	2375	1779	1764	74,9	36,89	1,97	44,48	0,045
		Cyclone OF	4	10	1	3635	1133	408	31,2	47,95	0,68	29,86	0,032
		Water	29	1	1	140	0	504	100,0				
		First Cyclone UF	5	10	1	3095	979	352	31,6	36,46	1,02	46,53	0,032
		First Cyclone OF	6	10	1	6530	95	34	1,5	31,32	14,13	31,74	0,297
	Deslamag em	Water	30	NA									
		Second Cyclone UF	7	30	1	1750	42	5	2,4	40,58	3,84	36,34	0,074
		Second Cyclone OF	38	27	5	2830	31	1	1,1	33,79	9,88	34,49	0,221
		New feeding	8	15	1	2780	971	233	34,9	36,34	2,31	44,38	0,053
		Rougher UF	10	15	1	3355	814	195	24,3	39,78	1,89	40,58	0,054
		Rougher OF	9	15	1	971	190	46	19,6	8,3	3,21	83,24	0,025
		Water	32	6,9	1	100	0	52	100,0				
		Cleaner 1 UF	12	15	1	3060	804	193	26,3	43,55	1,49	35,56	0,056
09/mar		Cleaner 1 OF	11	30	1	640	143	17	22,3	12,6	3,28	77,78	0,035
		Fluxo	N°	Tempo (s)	Tempo de Amostragem (s)	Polpa (g)	Sólidos (g)	Taxa kg/h	% Sólidos	% Fe	% Al ₂ O ₃	% SiO ₂	% P
	Flotação em	Water	33	7,8	1	100	0	46	100,0				
	Células Convencio	Cleaner 2 UF	14	27	5	24080	6483	173	26,9	46,13	0,93	33,1	0,05
	nais	Cleaner 2 OF	13	30	1	920	269	32	29,2	16,87	2,27	73,73	0,041
		Water	35	30	1	100	0	12	100,0				
		Scavenger 1 UF	16	60	1	1640	156	9	9,5	34,3	3,68	45,45	0,063
		Scavenger 1 OF	15	30	1	1065	340	41	31,9	15,31	2,01	76,31	0,03
		Water	34	3,6	1	100	100	100	100,0				
		Scavenger 2 UF	18	60	1	730	160	10	21,9	11,71	2,75	79,62	0,037
		Scavenger 2 OF	17	27	5	7905	2432	65	30,8	7,21	5,13	82,54	0,034
		Circulating load	19	15	1	1525	90	22	5,9	15,12	2,11	74,93	0,03
		New feeding		27	5	24080	6483	173	26,9	43,55	1,49	35,56	0,056
		Cyclone UF		10	1	5777	4210	1516	72,9	62,29	0,27	9,77	0,026
	Remoage m	Cyclone OF		10	1	2810	706	254	25,1	53,5	0,69	21,53	0,048
		Regrinded	20	10	1	4825	3546	1277	73,5	61,89	0,34	10,42	0,029
		Water	37	1	1	100	0	360	100,0				

	Deslamag	Second	38	60	3	7580	140	3	1,8	30,99	15,82	29,18	0,319
	em Flotação	Cyclone OF							1,0	30,33	10,02	23,10	
10/mar	em	Cleaner 2 UF	14	60	3	11596	3164	63	27,3	65,21	0,63	4,65	0,045
	Células Convencio nais	Scavenger 2 OF	17	60	4	10974	3462	52	31,5	10,85	1,48	82,57	0,039
		New feeding	21	30	4	10610	4054	122	38,2	52,76	0,71	24,03	0,041
		Recleaner 1 UF	22	30	1	2670	839,06	101	31,4	65,7	0,6	4,65	0,044
		Recleaner 1 OF	23	30	1	810	310,38	37	38,3	8,49	0,87	87,33	0,02
		Recleaner 2 UF	24	60	4	17620	5778	87	32,8	68,01	0,48	1,58	0,047
	Flotação	Recleaner 2 OF	25	30	1	995	201,44	24	20,2	54,82	0,92	20,15	0,055
11/mar	em colunas	Reclaner scavenger UF	26	30	1	3460	76,34	9	2,2	65,64	1,05	3,72	0,068
		Reclaner scavenger OF	27	60	4	8650	2141	32	24,8	7,19	1,29	88,11	0,022
		Circulating load	28	30	1	2725	239,61	29	8,8				
		Water Recleaner 1		20	1	100	0	18	100,0				
		Water Reclaner scavenger		20	1	100	0	18	100,0				
		New feeding	21	30	6	10465	3562	71	34,0	55,11	0,65	19,29	0,044
		Recleaner 1 UF	22	30	1	2710	605	73	22,3	66,34	0,59	2,88	0,051
		Recleaner 1 OF	23	30	1	645	231	28	35,8	8,94	1,12	85,12	0,025
12/mar	Column	Recleaner 2 UF	24	60	6	19405	5419	54	27,9	66,41	0,6	3,48	0,051
12/IIIdI	flotation	Recleaner 2 OF	25	60	1	545	62	4	11,4	57,24	1,43	14,08	0,08
		Reclaner scavenger UF	26	30	1	850	91	11	10,7	48,6	1,64	28,06	0,061
		Reclaner scavenger OF	27	60	6	5825	1449	14	24,9	6,35	1,33	90,46	0,023
		Water	37	15	1	100	0	24	100,0				

Anexo 18: Resumo dos valores obtidos para o hold up das colunas de flotação.

		11 Ma	arcço		12 Março		
Etapa	Variável	Va	lor		Valor		Unidade
		recleaner1	scavenger	recleaner1	recleaner2	scavenger	
	P1	155	150	152	150	150	cmH₂O
		15200	14710	14906	14710	14710	Pa
1	h1	1,4	1,4	1,4	1,4	1,4	М
	d1	1107,9	1072,2	1086,5	1072,2	1072,2	kg/m³
	G	9,8	9,8	9,8	9,8	9,8	m/s²
		11 m	arch		12 march		
Etapa	Variável	Va	lor		Valor		Unidade
		recleaner1	scavenger	recleaner1	recleaner2	scavenger	
	P2	130	125	132	120	124	cmH ₂ O
	P2	12749	12258	12945	11768	12160	Pa
2	h2	1,17	1,17	1,22	1,12	1,16	М
	d1	1107,9	1072,2	1086,5	1072,2	1072,2	kg/m³
	g	9,8	9,8	9,8	9,8	9,8	m/s²
	P3	80	52	82	85	50	cmH ₂ O
	F3	7845	5099	8041	8336	4903	Pa
	h3	0,72	0,49	0,76	0,79	0,47	m
3	d1	1107,9	1072,2	1086,5	1072,2	1072,2	kg/m³
	g	9,8	9,8	9,8	9,8	9,8	m/s²
	H espuma	1,1	0,55	1,1	0,5	0,70	m
	H coluna	4,191	4,191	4,191	4,191	4,191	m
	Hold up						
	COLETA	16,1	16,7	13,2	20,0	17,3	%
4	Hold up ESPUMA	38,5	58,4	37,9	29,2	59,7	%
	Hold up	00,0	00,1	0.,0	20,2	00,.	70
	COLUNA	22,0	22,1	19,6	21,1	24,4	%

Anexo 19: Principais parâmetros determinados para os testes piloto em colunas de flotação.

	Água de	Tempo de	Velocidade	Capacidade de	Carregamento
Coluna	Lavagem (cm/s)	Residência (min)	do Ar (cm/s)	Ar (kg/m³)	Espuma (t/h/m²)
Rougher	0,027	11,8	2,3	24,8	2,0
Scavenger	0,062	3,2	4,1	26,8	4,0
Cleaner	-	5,5	3,1	26,9	3,0
Referencia 1 – Eriez 2 - Metso	0,0-0,41	-	0,2-0,8 ¹ 0,5-2,0 ²	$100-40$ $(d80 = 40\mu m)^1$	2,5-4,0 ²

Anexo 20: Resultados do processo de reconciliação para avaliação global de desempenho do circuito integrado.

Fluxos	Taxa Rel Sóli			Tax	a de flu	xo de pol	lpa			Tax	a de flux	o de sóli	idos			Та	xa de flu	xo de ág	ua	
. idixoo	Inicial	Calculado	Med	dido	Ajus	tado	Resi	dual	Med	dido	Ajus	tado	Resi	dual	Med	dido	Ajus	tado	Resid	dual
	Valor	Valor	Valor	DesvPad	Valor	DesvPad	Valor	Reduzido	Valor	DesvPad	Valor	DesvPad	Valor	Reduzido	Valor	DesvPad	Valor	DesvPad	Valor	Reduzido
1	1,000	1,000	214,500	10,00%	212,171	10,09%	2,329	1,594	213,000	10,00%	203,504	4,46%	9,496	0,493			8,667	268,21%		
2	4,311	4,863	1278,452	80,00%	1441,191	48,36%	-162,739	-0,217	873,640	80,00%	989,642	50,15%	-116,002	-0,236			451,549	189,48%		
3	3,311	3,863	1177,686	80,00%	1039,589	66,93%	138,097	0,217	882,149	80,00%	786,138	63,14%	96,011	0,191			253,452	337,22%		
4	1,000	1,000	654,300	80,00%	594,025	18,09%	60,275	0,118	203,940	80,00%	203,504	4,46%	0,436	0,003			390,520	27,61%		
5	0,985	0,985	557,100	35,00%	462,914	25,66%	94,186	0,609	176,220	35,00%	200,449	4,57%	-24,229	-0,397			262,465	45,39%		
6	0,015	0,015	1175,400	100,00%	131,110	60,48%	1044,290	0,890	17,100	80,00%	3,055	41,19%	14,045	1,031			128,055	61,93%		
7	0,013	0,013	105,000	80,00%	92,853	84,83%	12,147	0,416	2,520	50,00%	2,640	47,50%	-0,120	-1,007			90,213	87,33%		
38	0,002	0,002	37,733	25,00%	38,257	24,64%	-0,523	-1,628	0,413	25,00%	0,415	24,90%	-0,002	-1,305			37,842	24,92%		
8	0,998	0,998	667,200	100,00%	555,768	19,28%	111,432	0,169	233,040	200,00%	203,090	4,47%	29,950	0,064			352,678	30,50%		
10	0,960	0,969	805,200	100,00%	661,719	17,27%	143,481	0,180	195,360	100,00%	197,185	9,24%	-1,825	-0,009			464,534	24,92%		
9	0,171	0,210	233,040	30,00% 50.00%	179,812 61,068	29,53% 58.68%	53,228 15,732	1,171	45,600	50,00% 50.00%	42,650 19,340	26,39% 40,21%	2,950 -2,180	0,149			137,162 41,728	39,57% 87.87%		
11	0,065	0,095	76,800 642,133	2,50%	479,443	2,76%	162,690	1,139 17,964	17,160 172,880	50,00%	159,632	40,21% 2,55%	-2,180 13,248	-0,602 1,736			319,811	4,33%		
14	0,079	0,784	110.400	100.00%	121,207	89,14%	-10.807	-0,476	32,280	100.00%	18,213	2,55% 89,41%	14,067	0,505			102,994	106.08%		
13	0,079	0,069	98.400	10,00%	99.495	9,85%	-10,807	-1,214	9,360	10.00%	9.098	10.12%	0.262	1,543			90.397	10.89%		
	0,017	0,260	127.800	50.00%	208.174	24.56%	-80.374	-2.096	40.800	50.00%	52.892	16,92%	-12.092	-0.660			155.282	33.42%		
15	0.037	0.046	210,800	65.00%	53,539	196,41%	157.261	1,790	9,600	60.00%	9,435	56.74%	0.165	0.078			44,104	238.74%		
17	0,182	0,214	642,133	100.00%	254,658	42.85%	387.475	0.612	64.853	100.00%	43,457	18.67%	21,396	0,333			211,201	51.81%		
19	0,133	0,181	2079,720	100,00%	274,241	54,96%	1805,479	0.870	21,600	100,00%	36,746	43.23%	-15,146	-1,035			237,495	63,81%		
39	0,815	0.784	1011.600	100.00%	632,207	2.05%	379,393	0.375	172,880	100.00%	159.632	2.55%	13,248	0.077			472,575	2.87%		
41	0,815	0,784	1737,000	100,00%	632,207	2,05%	1104,793	0,636	254,160	100,00%	159,632	2,55%	94,528	0,372			472,575	2,87%		
21	0,815	0,784	452,456	5,00%	632,207	2,05%	-179,751	-9,689	172,880	10,00%	159,632	2,55%	13,248	0,788			472,575	2,87%		
22	0,659	0,666	455,441	30,00%	570,357	15,12%	-114,916	-1,084	143,125	30,00%	135,554	11,32%	7,570	0,189			434,803	20,14%		
23	0,315	0,295	138,168	100,00%	434,464	23,23%	-296,297	-3,140	52,944	100,00%	59,988	3,61%	-7,044	-0,133			374,477	26,96%		
24	0,512	0,503	375,696	5,00%	475,551	2,80%	-99,854	-7,534	123,199	4,00%	102,284	2,83%	20,915	5,246			373,267	3,65%		
25	0,147	0,163	169,724	65,00%	94,806	90,71%	74,918	1,084	34,361	50,00%	33,270	45,43%	1,091	0,134			61,536	141,89%		
26	0,012	0,013	590,197	25,00%	252,297	40,02%	337,901	3,140	13,022	35,00%	2,640	54,57%	10,382	2,401			249,657	40,44%		
27	0,303	0,282	184,437	5,00%	207,705	4,16%	-23,269	-7,238	45,651	5,00%	57,348	2,82%	-11,697	-7,250			150,357	5,85%		
12	0,895	0,874	734,400	100,00%	600,650	18,11%	133,750	0,184	192,960	100,00%	177,845	9,44%	15,115	0,079			422,805	26,03%		
33					36,172	62,28%									46,154	50,00%	36,172	62,28%	9,982	1,993
29					192,423	80,27%									504,000	50,00%	192,423	80,27%	311,577	1,565
28					189,431	71,99%									315,000	50,00%	189,431	71,99%	125,569	1,594
32					30,616	104,98%									52,174	65,00%	30,616	104,98%	21,558	1,993
35					11,522	67,65%									12,000	65,00%	11,522	67,65%	0,478	1,691
34					100,023	5,00%									100,000	5,00%	100,023	5,00%	-0,023	-0,612
37					152,764	9,15%									360,000	5,00%	152,764	9,15%	207,236	18,268
42					25,511	5,09%									26,000	5,00%	25,511	5,09%	0,489	7,698
43					25,538	5,08%									26,000	5,00%	25,538	5,08%	0,462	7,238

			Fe	9					SiO)2		
Fluxo	Medi	ido	Ajus	tado	Resi	dual	Medi	do	Ajus	tado	Resi	dual
	Valor	DesvPad	Valor	DesvPad	Valor	Reduzido	Valor	DesvPad	Valor	DesvPad	Valor	Reduzido
1	37,460	5,01%	37,386	3,25%	0,074	0,052	43,460	10,01%	43,869	5,65%	-0,409	-0,114
2	46,190	30,06%	39,634	18,79%	6,556	0,559	32,720	60,09%	38,093	37,88%	-5,373	-0,402
3	36,890	30,08%	40,216	23,30%	-3,326	-0,559	44,480	60,07%	36,598	49,64%	7,882	0,402
4	47,950	30,06%	37,386	3,25%	10,564	0,735	29,860	60,10%	43,869	5,65%	-14,009	-0,788
5	36,460	30,08%	37,422	3,32%	-0,962	-0,088	46,530	60,06%	44,021	5,73%	2,509	0,090
6	31,320	30,10%	34,995	20,16%	-3,675	-0,588	31,740	60,09%	33,901	39,79%	-2,161	-0,160
7	40,580	30,07%	35,272	23,19%	5,308	0,586	36,340	60,08%	33,872	46,07%	2,468	0,162
38	33,790	30,09%	33,226	30,45%	0,564	0,569	34,490	60,09%	34,084	60,47%	0,406	0,187
8	36,340	30,08%	37,394	3,26%	-1,054	-0,097	44,380	60,07%	43,889	5,66%	0,491	0,019
10	39,780	30,08%	39,741	5,75%	0,039	0,003	40,580	60,07%	41,706	14,53%	-1,126	-0,048
9	8,300	30,36%	10,489	15,79%	-2,189	-1,152	83,240	60,04%	75,555	28,21%	7,685	0,170
11	12,600	30,24%	14,869	21,92%	-2,269	-1,150	77,780	60,04%	74,332	57,23%	3,448	0,179
14	46,130	1,00%	45,617	0,64%	0,513	1,434	33,100	2,00%	33,941	1,39%	-0,841	-1,806
13	16,870	30,18%	14,648	31,06%	2,222	0,973	73,730	60,04%	75,123	51,61%	-1,393	-0,065
16	34,300	1,00%	34,286	1,00%	0,014	1,506	45,450	2,00%	45,451	2,00%	-0,001	-0,221
15	15,310	30,20%	7,997	7,65%	7,313	1,596	76,310	60,04%	80,286	10,95%	-3,976	-0,088
18	11,710	1,01%	11,709	1,01%	0,001	0,678	79,620	2,00%	79,623	2,00%	-0,003	-0,148
17	7,210	8,11%	7,191	7,97%	0,019	0,167	82,540	16,01%	80,430	13,31%	2,110	0,272
19	15,120	30,20%	18,756	14,04%	-3,636	-0,975	74,930	60,04%	68,932	27,92%	5,998	0,148
39	43,550	1,00%	45,617	0,64%	-2,067	-6,382	35,560	2,00%	33,941	1,39%	1,619	3,035
41	53,500	8,01%	45,617	0,64%	7,883	1,843	21,530	16,04%	33,941	1,39%	-12,411	-3,629
21	52,760	30,06%	45,617	0,64%	7,143	0,451	24,030	60,12%	33,941	1,39%	-9,911	-0,686
22	65,700	30,05%	64,384	6,36%	1,316	0,068	4,650	60,65%	5,354	39,91%	-0,704	-0,383
23	8,490	8,09%	8,809	7,63%	-0,319	-2,245	87,330	16,01%	87,789	3,00%	-0,459	-0,033
24	68,010	0,50%	67,422	0,49%	0,588	6,852	1,580	2,06%	1,580	2,06%	0,000	-0,065
25	54,820	30,05%	55,045	29,32%	-0,225	-0,068	20,150	60,15%	16,957	51,84%	3,193	0,383
26	65,640	30,05%	54,077	35,20%	11,563	2,245	3,720	60,81%	3,719	60,81%	0,001	0,033
27	7,190	5,07%	6,725	5,34%	0,465	7,275	88,110	10,01%	91,659	2,12%	-3,549	-0,413
12	43,550	30,07%	42,445	5,93%	1,105	0,086	35,560	60,08%	38,158	13,25%	-2,598	-0,125

Anexo 21: Análise de Sensibilidade para TIR e VPL referente a mplantação do circuito de flotação em colunas, variando receita e custo..

Investimento (M\$)	47,0
Receita (M\$/a)	138,0
Custo (M\$/a)	52,9
Depreciação Linear % a.a. (Sem Valor Residual)	25%
Impostos (alíquota sobre Lucro Tributável)	35%
TMA - Taxa Mínima de Atratividade (%a.a)	14%

Item / Ano	0	1	2	3	4
(1) Investimento Fixo	-47,0				
(2) Receita		138,0	138,0	138,0	138,0
(3) Custo		52,9	52,9	52,9	52,9
(4) Lucro antes do IR [(2)-(3)]		85,1	85,1	85,1	85,1
(I) FC antes IR [(1)+(4)]	-47,0	85,1	85,1	85,1	85,1
Linha Auxiliar - FC Acumulado	-47,0	<i>38,1</i>	123,2	208,3	293,4
(5) Depreciação		11,8	11,8	11,8	11,8
(6) Lucro Tributável [(4)-(5)]		73,4	73,4	73,4	73,4
(7) IR [30%x(6)]		25,7	25,7	25,7	25,7
(8) Lucro após IR [(4)-(7)]		59,4	59,4	59,4	59,4
(II) FC após IR [(I)-(7)]	-47,0	59,4	59,4	59,4	59,4
Linha Auxiliar - FC Acumulado	-47,0	12,4	71,9	131,3	190,7
VPL antes do IR	201,0				
TIR antes do IR	178,0%				
VPL após IR	126,2				
TIR após IR	121,2%				
Payback Antes do IR:	0,6	0,6	0,6	0,6	0,6
Payback Antes do IR:	0,8	0,8	0,8	0,8	0,8

Análise de Sensibilidade - Receita										
nalise de Sensibilidade - Custo	-10%	-5%	0	5%	10%					
VPL antes do IR	160,7	180,9	201,0	221,1	241,2					
VPL após IR	100,0	113,1	126,2	139,2	152,3					
TIR antes do IR	147,7%	162,9%	178,0%	193,1%	208,1%					
TIR após IR	100,7%	111,0%	121,2%	131,2%	141,2%					

Análise de Sensibilidade - Custo											
ilse de Sensibilidade - Receita	-10%	-5%	0	5%	10%						
VPL antes do IR	216,4	208,7	201,0	193,3	185,5						
VPL após IR	136,2	131,2	126,2	121,1	116,1						
TIR antes do IR	189,6%	183,8%	178,0%	172,2%	166,4%						
TIR após IR	128.9%	125.0%	121.2%	117.3%	113,4%						

	5 04						5 0/				
Receita Item / Ano	-5% 0	1	2	3	4	Custo Item / Ano	-5% 0	1	2	3	4
(1) Investimento Fixo	-47,0			<u> </u>	 -	(1) Investimento Fixo	-47,0	'		<u> </u>	
(2) Receita	,-	131,1	131,1	131,1	131,1	(2) Receita	,-	138,0	138,0	138,0	138,0
(3) Custo		52,9	52,9	52,9	52,9	(3) Custo		50,3	50,3	50,3	50,3
(4) Lucro antes do IR [(2)-(3)]		78,2	78,2	78,2	78,2	(4) Lucro antes do IR [(2)-(3)]		87,7	87,7	87,7	87,7
(I) FC antes IR [(1)+(4)]	-47,0	78,2	78,2	78,2	78,2	(I) FC antes IR [(1)+(4)]	-47,0	87,7	87,7	87,7	87,7
Linha Auxiliar - FC Acumulado	-47,0	31,2	109,4	187,6	265,8	Linha Auxiliar - FC Acumulado	-47,0	40,7	128,5	216,2	304,0
(5) Depreciação (6) Lucro Tributável [(4)-(5)]		11,8 66,5	11,8 66,5	11,8 66,5	11,8 66,5	(5) Depreciação(6) Lucro Tributável [(4)-(5)]		11,8 76,0	11,8	11,8 76,0	11,8 76,0
(7) IR [30%x(6)]		23,3	23,3	23,3	23,3	(7) IR [30%x(6)]		26,6	76,0 26,6	26,6	26,6
(8) Lucro após IR [(4)-(7)]		54,9	54,9	54,9	54,9	(8) Lucro após IR [(4)-(7)]		61,1	61,1	61,1	61,1
(II) FC após IR [(I)-(7)]	-47,0	54,9	54,9	54,9	54,9	(II) FC após IR [(I)-(7)]	-47,0	61,1	61,1	61,1	61,1
Linha Auxiliar - FC Acumulado	-47,0	7,9	62,9	117,8	172,8	Linha Auxiliar - FC Acumulado	-47,0	14,1	75,3	136,4	197,6
VPL antes do IR	180,9					VPL antes do IR	208,7				
VPL após IR	113,1					VPL após IR	131,2				
TIR antes do IR	162,9%					TIR antes do IR	183,8%				
TIR após IR Payback Antes do IR:	111,0% 0,6	0,6	0,6	0,6	0,6	TIR após IR Payback Antes do IR:	125,0% 0,5	0,5	0,5	0,5	0,5
Payback Antes do IR:	0,9	0,9	0,9	0,0	0,9	Payback Antes do IR:	0,8	0,8	0,8	0,8	0,8
r aybabit rinico do irti	0,0	0,0	0,0	0,0	0,0	r aybasir miss as mi	0,0	0,0	0,0	0,0	0,0
Receita	-10%					Custo	-10%				
Item / Ano	0	1	2	3	4	Item / Ano	0	1	2	3	4
(1) Investimento Fixo	-47,0	40.4 =	404 -	404 -	40.4.0	(1) Investimento Fixo	-47,0	400 -	400 -	400 -	400 -
(2) Receita		124,2	124,2	124,2	124,2	(2) Receita		138,0	138,0	138,0	138,0
(3) Custo (4) Lucro antes do IR [(2)-(3)]		52,9 71,3	52,9 71,3	52,9 71,3	52,9 71,3	(3) Custo (4) Lucro antes do IR [(2)-(3)]		47,6 90,4	47,6 90,4	47,6 90,4	47,6 90,4
(4) Lucro antes do IR [(2)-(3)] (I) FC antes IR [(1)+(4)]	-47,0	71,3	71,3	71,3	71,3	(I) FC antes IR [(1)+(4)]	-47,0	90,4	90,4	90,4	90,4
Linha Auxiliar - FC Acumulado	-47,0 -47,0	24,3	95,6	166,9	238,2	Linha Auxiliar - FC Acumulado	-47,0 -47,0	43,4	133,8	224,2	314,6
(5) Depreciação	,0	11,8	11,8	11,8	11,8	(5) Depreciação	,0	11,8	11,8	11,8	11,8
(6) Lucro Tributável [(4)-(5)]		59,6	59,6	59,6	59,6	(6) Lucro Tributável [(4)-(5)]		78,6	78,6	78,6	78,6
(7) IR [30%x(6)]		20,8	20,8	20,8	20,8	(7) IR [30%x(6)]		27,5	27,5	27,5	27,5
(8) Lucro após IR [(4)-(7)]		50,5	50,5	50,5	50,5	(8) Lucro após IR [(4)-(7)]		62,9	62,9	62,9	62,9
(II) FC após IR [(I)-(7)]	-47,0	50,5	50,5	50,5	50,5	(II) FC após IR [(I)-(7)]	-47,0	62,9	62,9	62,9	62,9
Linha Auxiliar - FC Acumulado	-47,0	3,5	53,9	104,4	154,8	Linha Auxiliar - FC Acumulado	-47,0	15,9	78,7	141,6	204,5
VPL antes do IR	160,7					VPL antes do IR	040.4				
VPL anies do IR VPL após IR	100,7					VPL anies do IR VPL após IR	216,4 136,2				
TIR antes do IR	147,7%					TIR antes do IR	189,6%				
TIR após IR	100,7%					TIR após IR	128,9%				
										0,5	0,5
Payback Antes do IR:	0,7	0,7	0,7	0,7	0,7	Payback Antes do IR:	0,5	0,5	0,5	U,O	0,5
	0,7 0,9	0,7 0,9	0,7 0,9	0,7 0,9	0,7 0,9	Payback Antes do IR:	0,5 0,7	0,5 0,7	0,5 0,7	0,5	0,7
Payback Antes do IR: Payback Antes do IR:	0,9					Payback Antes do IR:	0,7				
Payback Antes do IR: Payback Antes do IR: Receita	0,9 5%	0,9	0,9	0,9	0,9	Payback Antes do IR: Custo	0,7 5 %	0,7	0,7	0,7	0,7
Payback Antes do IR: Payback Antes do IR: Receita Item / Ano	0,9 5% 0					Payback Antes do IR: Custo Item / Ano	0,7 5% 0				
Payback Antes do IR: Payback Antes do IR: Receita Item / Ano (1) Investimento Fixo	0,9 5%	0,9	0,9	0,9	0,9	Payback Antes do IR: Custo Item / Ano (1) Investimento Fixo	0,7 5 %	1	0,7	3	0,7
Payback Antes do IR: Payback Antes do IR: Receita Item / Ano (1) Investimento Fixo (2) Receita	0,9 5% 0	0,9	2 144,9	3 144,9	0,9 4 144,9	Payback Antes do IR: Custo Item / Ano (1) Investimento Fixo (2) Receita	0,7 5% 0	1 138,0	0,7 2 138,0	3 138,0	0,7 4 138,0
Payback Antes do IR: Payback Antes do IR: Receita Item / Ano (1) Investimento Fixo	0,9 5% 0	0,9	0,9	0,9	0,9	Payback Antes do IR: Custo Item / Ano (1) Investimento Fixo	0,7 5% 0	1	0,7	3	0,7
Payback Antes do IR: Payback Antes do IR: Receita Item / Ano (1) Investimento Fixo (2) Receita (3) Custo (4) Lucro antes do IR [(2)-(3)] (I) FC antes IR [(1)+(4)]	0,9 5% 0	1 144,9 52,9	0,9 2 144,9 52,9	0,9 3 144,9 52,9	144,9 52,9 92,0	Payback Antes do IR: Custo Item / Ano (1) Investimento Fixo (2) Receita (3) Custo (4) Lucro antes do IR [(2)-(3)] (1) FC antes IR [(1)+(4)]	0,7 5% 0 -47,0	1 138,0 55,5 82,5 82,5	0,7 2 138,0 55,5	0,7 3 138,0 55,5 82,5 82,5	0,7 4 138,0 55,5
Payback Antes do IR: Payback Antes do IR: Receita Item / Ano (1) Investimento Fixo (2) Receita (3) Custo (4) Lucro antes do IR [(2)-(3)] (i) FC antes IR [(1)+(4)] Linha Auxiliar - FC Acumulado	0,9 5% 0 -47,0	1 144,9 52,9 92,0 92,0 45,0	2 144,9 52,9 92,0 92,0 137,0	3 144,9 52,9 92,0 92,0 229,0	144,9 52,9 92,0 92,0 321,0	Payback Antes do IR: Custo Item / Ano (1) Investimento Fixo (2) Receita (3) Custo (4) Lucro antes do IR [(2)-(3)] (i) FC antes IR [(1)+(4)] Linha Auxiliar - FC Acumulado	0,7 5% 0 -47,0	1 138,0 55,5 82,5 82,5 35,5	0,7 2 138,0 55,5 82,5 82,5 117,9	3 138,0 55,5 82,5 82,5 200,4	0,7 4 138,0 55,5 82,5 82,5 282,8
Payback Antes do IR: Payback Antes do IR: Receita Item / Ano (1) Investimento Fixo (2) Receita (3) Custo (4) Lucro antes do IR [(2)-(3)] (I) FC antes IR [(1)+(4)] Linha Auxiliar - FC Acumulado (5) Depreciação	0,9 5% 0 -47,0	1 144,9 52,9 92,0 92,0 45,0 11,8	2 144,9 52,9 92,0 92,0 137,0 11,8	3 144,9 52,9 92,0 92,0 229,0 11,8	144,9 52,9 92,0 92,0 321,0 11,8	Payback Antes do IR: Custo Item / Ano (1) Investimento Fixo (2) Receita (3) Custo (4) Lucro antes do IR [(2)-(3)] (1) FC antes IR [(1)+(4)] Linha Auxiliar - FC Acumulado (5) Depreciação	0,7 5% 0 -47,0	1 138,0 55,5 82,5 82,5 35,5 11,8	0,7 2 138,0 55,5 82,5 82,5 117,9 11,8	3 138,0 55,5 82,5 82,5 200,4 11,8	0,7 4 138,0 55,5 82,5 82,5 82,5 11,8
Payback Antes do IR: Payback Antes do IR: Receita Item / Ano (1) Investimento Fixo (2) Receita (3) Custo (4) Lucro antes do IR [(2)-(3)] (i) FC antes IR [(1)+(4)] Linha Auxiliar - FC Acumulado (5) Depreciação (6) Lucro Tributável [(4)-(5)]	0,9 5% 0 -47,0	1 144,9 52,9 92,0 92,0 45,0 11,8 80,3	2 144,9 52,9 92,0 92,0 137,0 11,8 80,3	3 144,9 52,9 92,0 92,0 229,0 11,8 80,3	0,9 4 144,9 52,9 92,0 92,0 321,0 11,8 80,3	Payback Antes do IR: Custo Item / Ano (1) Investimento Fixo (2) Receita (3) Custo (4) Lucro antes do IR [(2)-(3)] (I) FC antes IR [(1)+(4)] Linha Auxiliar - FC Acumulado (5) Depreciação (6) Lucro Tributável [(4)-(5)]	0,7 5% 0 -47,0	1 138,0 55,5 82,5 82,5 35,5 11,8 70,7	0,7 2 138,0 55,5 82,5 82,5 117,9 11,8 70,7	3 138,0 55,5 82,5 82,5 200,4 11,8 70,7	0,7 4 138,0 55,5 82,5 82,5 82,5 11,8 70,7
Payback Antes do IR: Payback Antes do IR: Receita Item / Ano (1) Investimento Fixo (2) Receita (3) Custo (4) Lucro antes do IR [(2)-(3)] (I) FC antes IR [(1)+(4)] Linha Auxiliar - FC Acumulado (5) Depreciação (6) Lucro Tributável [(4)-(5)] (7) IR [30%x(6)]	0,9 5% 0 -47,0	1 144,9 52,9 92,0 92,0 45,0 11,8 80,3 28,1	2 144,9 52,9 92,0 92,0 137,0 11,8 80,3 28,1	3 144,9 52,9 92,0 92,0 229,0 11,8 80,3 28,1	0,9 4 144,9 52,9 92,0 92,0 321,0 11,8 80,3 28,1	Payback Antes do IR: Custo Item / Ano (1) Investimento Fixo (2) Receita (3) Custo (4) Lucro antes do IR [(2)-(3)] (1) FC antes IR [(1)+(4)] Linha Auxiliar - FC Acumulado (5) Depreciação (6) Lucro Tributável [(4)-(5)] (7) IR [30%x(6)]	0,7 5% 0 -47,0	1 138,0 55,5 82,5 82,5 35,5 11,8 70,7 24,7	0,7 2 138,0 55,5 82,5 82,5 117,9 11,8 70,7 24,7	3 138,0 55,5 82,5 82,5 200,4 11,8 70,7 24,7	0,7 4 138,0 55,5 82,5 82,5 282,8 11,8 70,7 24,7
Payback Antes do IR: Payback Antes do IR: Receita Item / Ano (1) Investimento Fixo (2) Receita (3) Custo (4) Lucro antes do IR [(2)-(3)] (i) FC antes IR [(1)+(4)] Linha Auxiliar - FC Acumulado (5) Depreciação (6) Lucro Tributável [(4)-(5)] (7) IR [30%x(6)] (8) Lucro após IR [(4)-(7)]	0,9 5% 0 -47,0 -47,0	1 144,9 52,9 92,0 92,0 45,0 11,8 80,3 28,1 63,9	2 144,9 52,9 92,0 92,0 137,0 11,8 80,3 28,1 63,9	3 144,9 52,9 92,0 92,0 229,0 11,8 80,3 28,1 63,9	0,9 4 144,9 52,9 92,0 92,0 11,8 80,3 28,1 63,9	Payback Antes do IR: Custo Item / Ano (1) Investimento Fixo (2) Receita (3) Custo (4) Lucro antes do IR [(2)-(3)] (i) FC antes IR [(1)+(4)] Linha Auxiliar - FC Acumulado (5) Depreciação (6) Lucro Tributável [(4)-(5)] (7) IR [30%x(6)] (8) Lucro após IR [(4)-(7)]	0,7 5% 0 -47,0 -47,0	1 138,0 55,5 82,5 82,5 35,5 11,8 70,7 24,7 57,7	0,7 2 138,0 55,5 82,5 82,5 117,9 11,8 70,7 24,7 57,7	3 138,0 55,5 82,5 82,5 200,4 11,8 70,7 24,7 57,7	0,7 4 138,0 55,5 82,5 82,5 282,8 11,8 70,7 24,7 57,7
Payback Antes do IR: Payback Antes do IR: Receita Item / Ano (1) Investimento Fixo (2) Receita (3) Custo (4) Lucro antes do IR [(2)-(3)] (I) FC antes IR [(1)+(4)] Linha Auxiliar - FC Acumulado (5) Depreciação (6) Lucro Tributável [(4)-(5)] (7) IR [30%x(6)]	0,9 5% 0 -47,0	1 144,9 52,9 92,0 92,0 45,0 11,8 80,3 28,1	2 144,9 52,9 92,0 92,0 137,0 11,8 80,3 28,1	3 144,9 52,9 92,0 92,0 229,0 11,8 80,3 28,1 63,9 63,9	0,9 4 144,9 52,9 92,0 92,0 321,0 11,8 80,3 28,1	Payback Antes do IR: Custo Item / Ano (1) Investimento Fixo (2) Receita (3) Custo (4) Lucro antes do IR [(2)-(3)] (i) FC antes IR [(1)+(4)] Linha Auxiliar - FC Acumulado (5) Depreciação (6) Lucro Tributável [(4)-(5)] (7) IR [30%x(6)] (8) Lucro após IR [(4)-(7)] (II) FC após IR [(1)-(7)]	0,7 5% 0 -47,0	1 138,0 55,5 82,5 82,5 35,5 11,8 70,7 24,7	0,7 2 138,0 55,5 82,5 82,5 117,9 11,8 70,7 24,7	3 138,0 55,5 82,5 82,5 200,4 11,8 70,7 24,7 57,7	0,7 4 138,0 55,5 82,5 82,5 282,8 11,8 70,7 24,7
Payback Antes do IR:	0,9 5% 0 -47,0 -47,0 -47,0	1 144,9 52,9 92,0 92,0 45,0 11,8 80,3 28,1 63,9 63,9	2 144,9 52,9 92,0 92,0 11,8 80,3 28,1 63,9 63,9	3 144,9 52,9 92,0 92,0 229,0 11,8 80,3 28,1 63,9	0,9 4 144,9 52,9 92,0 92,0 11,8 80,3 28,1 63,9 63,9	Payback Antes do IR: Custo Item / Ano (1) Investimento Fixo (2) Receita (3) Custo (4) Lucro antes do IR [(2)-(3)] (i) FC antes IR [(1)+(4)] Linha Auxiliar - FC Acumulado (5) Depreciação (6) Lucro Tributável [(4)-(5)] (7) IR [30%x(6)] (8) Lucro após IR [(4)-(7)]	0,7 5% 0 -47,0 -47,0 -47,0	1 138,0 55,5 82,5 82,5 11,8 70,7 24,7 57,7	2 138,0 55,5 82,5 82,5 117,9 11,8 70,7 24,7 57,7	3 138,0 55,5 82,5 82,5 200,4 11,8 70,7 24,7 57,7	0,7 4 138,0 55,5 82,5 82,5 82,8 11,8 70,7 24,7 57,7
Payback Antes do IR: Payback Antes do IR: Receita Iltem / Ano (1) Investimento Fixo (2) Receita (3) Custo (4) Lucro antes do IR [(2)-(3)] (i) FC antes IR [(1)+(4)] Linha Auxiliar - FC Acumulado (5) Depreciação (6) Lucro Tributável [(4)-(5)] (7) IR [30%x(6)] (8) Lucro após IR [(4)-(7)] Linha Auxiliar - FC Acumulado VPL antes do IR	0,9 5% 0 -47,0 -47,0 -47,0 -47,0 221,1	1 144,9 52,9 92,0 92,0 45,0 11,8 80,3 28,1 63,9 63,9	2 144,9 52,9 92,0 92,0 11,8 80,3 28,1 63,9 63,9	3 144,9 52,9 92,0 92,0 229,0 11,8 80,3 28,1 63,9 63,9	0,9 4 144,9 52,9 92,0 92,0 11,8 80,3 28,1 63,9 63,9	Payback Antes do IR: Custo Item / Ano (1) Investimento Fixo (2) Receita (3) Custo (4) Lucro antes do IR [(2)-(3)] (I) FC antes IR [(1)+(4)] Linha Auxiliar - FC Acumulado (5) Depreciação (6) Lucro Tributável [(4)-(5)] (7) IR [30%x(6)] (8) Lucro após IR [(4)-(7)] (II) FC após IR [(1)-(7)] Linha Auxiliar - FC Acumulado VPL antes do IR	0,7 5% 0 -47,0 -47,0 -47,0 193,3	1 138,0 55,5 82,5 82,5 11,8 70,7 24,7 57,7	2 138,0 55,5 82,5 82,5 117,9 11,8 70,7 24,7 57,7	3 138,0 55,5 82,5 82,5 200,4 11,8 70,7 24,7 57,7	0,7 4 138,0 55,5 82,5 82,5 82,8 11,8 70,7 24,7 57,7
Payback Antes do IR: Payback Antes do IR: Receita Item / Ano (1) Investimento Fixo (2) Receita (3) Custo (4) Lucro antes do IR [(2)-(3)] (I) FC antes IR [(1)+(4)] Linha Auxiliar - FC Acumulado (5) Depreciação (6) Lucro Tributável [(4)-(5)] (7) IR [30%x(6)] (8) Lucro após IR [(4)-(7)] (II) FC após IR [(1)-(7)] Linha Auxiliar - FC Acumulado VPL antes do IR VPL após IR	0,9 5% 0 -47,0 -47,0 -47,0 -47,0 -47,0 221,1 139,2	1 144,9 52,9 92,0 92,0 45,0 11,8 80,3 28,1 63,9 63,9	2 144,9 52,9 92,0 92,0 11,8 80,3 28,1 63,9 63,9	3 144,9 52,9 92,0 92,0 229,0 11,8 80,3 28,1 63,9 63,9	0,9 4 144,9 52,9 92,0 92,0 11,8 80,3 28,1 63,9 63,9	Payback Antes do IR: Custo Item / Ano (1) Investimento Fixo (2) Receita (3) Custo (4) Lucro antes do IR [(2)-(3)] (I) FC antes IR [(1)+(4)] Linha Auxiliar - FC Acumulado (5) Depreciação (6) Lucro Tributável [(4)-(5)] (7) IR [30%x(6)] (8) Lucro após IR [(4)-(7)] Linha Auxiliar - FC Acumulado VPL antes do IR VPL após IR	0,7 5% 0 -47,0 -47,0 -47,0 -47,0 193,3 121,1	1 138,0 55,5 82,5 82,5 11,8 70,7 24,7 57,7	2 138,0 55,5 82,5 82,5 117,9 11,8 70,7 24,7 57,7	3 138,0 55,5 82,5 82,5 200,4 11,8 70,7 24,7 57,7	0,7 4 138,0 55,5 82,5 82,5 82,8 11,8 70,7 24,7 57,7
Payback Antes do IR: Payback Antes do IR: Receita Item / Ano (1) Investimento Fixo (2) Receita (3) Custo (4) Lucro antes do IR [(2)-(3)] (i) FC antes IR [(1)+(4)] Linha Auxiliar - FC Acumulado (5) Depreciação (6) Lucro Tributável [(4)-(5)] (7) IR [30%x(6)] (8) Lucro após IR [(4)-(7)] Linha Auxiliar - FC Acumulado VPL antes do IR VPL após IR TIR antes do IR	0,9 5% 0 -47,0 -47,0 -47,0 -47,0 -47,0 221,1 139,2 193,1%	1 144,9 52,9 92,0 92,0 45,0 11,8 80,3 28,1 63,9 63,9	2 144,9 52,9 92,0 92,0 11,8 80,3 28,1 63,9 63,9	3 144,9 52,9 92,0 92,0 229,0 11,8 80,3 28,1 63,9 63,9	0,9 4 144,9 52,9 92,0 92,0 11,8 80,3 28,1 63,9 63,9	Payback Antes do IR: Custo Item / Ano (1) Investimento Fixo (2) Receita (3) Custo (4) Lucro antes do IR [(2)-(3)] (1) FC antes IR [(1)+(4)] Linha Auxiliar - FC Acumulado (5) Depreciação (6) Lucro Tributável [(4)-(5)] (7) IR [30%x(6)] (8) Lucro após IR [(1)-(7)] Linha Auxiliar - FC Acumulado VPL antes do IR VPL após IR TIR antes do IR	0,7 5% 0 -47,0 -47,0 -47,0 -47,0 193,3 121,1 172,2%	1 138,0 55,5 82,5 82,5 11,8 70,7 24,7 57,7	2 138,0 55,5 82,5 82,5 117,9 11,8 70,7 24,7 57,7	3 138,0 55,5 82,5 82,5 200,4 11,8 70,7 24,7 57,7	0,7 4 138,0 55,5 82,5 82,5 82,8 11,8 70,7 24,7 57,7
Payback Antes do IR: Payback Antes do IR: Receita Item / Ano (1) Investimento Fixo (2) Receita (3) Custo (4) Lucro antes do IR [(2)-(3)] (i) FC antes IR [(1)+(4)] Linha Auxiliar - FC Acumulado (5) Depreciação (6) Lucro Tributável [(4)-(5)] (7) IR [30%x(6)] (8) Lucro após IR [(4)-(7)] Linha Auxiliar - FC Acumulado VPL antes do IR VPL após IR TIR antes do IR TIR antes do IR	0,9 5% 0 -47,0 -47,0 -47,0 -47,0 -47,0 221,1 139,2 139,1 131,2%	0,9 1 144,9 52,9 92,0 92,0 45,0 11,8 80,3 28,1 63,9 63,9 16,9	0,9 2 144,9 52,9 92,0 92,0 137,0 11,8 80,3 28,1 63,9 63,9 80,8	0,9 3 144,9 52,9 92,0 92,0 229,0 11,8 80,3 28,1 63,9 63,9 144,7	0,9 4 144,9 52,9 92,0 92,0 321,0 11,8 80,3 28,1 63,9 63,9 208,7	Payback Antes do IR: Custo Item / Ano (1) Investimento Fixo (2) Receita (3) Custo (4) Lucro antes do IR [[2]-[3]] (1) FC antes IR [(1)+(4)] Linha Auxiliar - FC Acumulado (5) Depreciação (6) Lucro Tributável [(4)-(5)] (7) IR [30%x(6)] (8) Lucro após IR [(4)-(7)] (II) FC após IR [(4)-(7)] Linha Auxiliar - FC Acumulado VPL antes do IR VPL após IR TIR antes do IR TIR após IR	0,7 5% 0 -47,0 -47,0 -47,0 -47,0 -47,0 193,3 121,1 172,2% 117,3%	0,7 1 138,0 55,5 82,5 82,5 35,5 11,8 70,7 24,7 57,7 10,7	0,7 2 138,0 55,5 82,5 117,9 11,8 70,7 24,7 57,7 57,7 68,4	3 138,0 55,5 82,5 82,5 200,4 11,8 70,7 24,7 57,7 126,1	0,7 4 138,0 55,5 82,5 82,5 282,8 11,8 70,7 24,7 57,7 183,8
Payback Antes do IR: Payback Antes do IR: Receita Item / Ano (1) Investimento Fixo (2) Receita (3) Custo (4) Lucro antes do IR [(2)-(3)] (i) FC antes IR [(1)+(4)] Linha Auxiliar - FC Acumulado (5) Depreciação (6) Lucro Tributável [(4)-(5)] (7) IR [30%x(6)] (8) Lucro após IR [(4)-(7)] (II) FC após IR [(1)-(7)] Linha Auxiliar - FC Acumulado VPL antes do IR VPL após IR TIR antes do IR TIR após IR Payback Antes do IR:	-47,0 -47,0 -47,0 -47,0 221,1 139,19 131,2% 0,5	0,9 1 144,9 52,9 92,0 92,0 45,0 11,8 80,3 28,1 63,9 63,9 16,9	0,9 2 144,9 52,9 92,0 92,0 137,0 11,8 80,3 28,1 63,9 63,9 80,8	0,9 3 144,9 52,9 92,0 92,0 11,8 80,3 28,1 63,9 144,7	0,9 4 144,9 52,9 92,0 92,0 321,0 11,8 80,3 28,1 63,9 63,9 208,7	Payback Antes do IR: Custo Item / Ano (1) Investimento Fixo (2) Receita (3) Custo (4) Lucro antes do IR [(2)-(3)] (1) FC antes IR [(1)+(4)] Linha Auxiliar - FC Acumulado (5) Depreciação (6) Lucro Tributável [(4)-(5)] (7) IR [30%x(6)] (8) Lucro após IR [(4)-(7)] (II) FC após IR [(1)-(7)] Linha Auxiliar - FC Acumulado VPL antes do IR VPL após IR TIR antes do IR TIR após IR TIR após IR Payback Antes do IR:	0,7 5% 0 -47,0 -47,0 -47,0 -47,0 193,3 121,1 172,2% 0,6	0,7 1 138,0 55,5 82,5 82,5 35,5 11,8 70,7 24,7 57,7 10,7	0,7 2 138,0 55,5 82,5 82,5 117,9 11,8 70,7 24,7 57,7 68,4	0,7 3 138,0 55,5 82,5 82,5 200,4 11,8 70,7 24,7 57,7 126,1	0,7 4 138,0 55,5 82,5 82,5 282,8 11,8 70,7 24,7 57,7 183,8
Payback Antes do IR: Payback Antes do IR: Receita Item / Ano (1) Investimento Fixo (2) Receita (3) Custo (4) Lucro antes do IR [(2)-(3)] (i) FC antes IR [(1)+(4)] Linha Auxiliar - FC Acumulado (5) Depreciação (6) Lucro Tributável [(4)-(5)] (7) IR [30%x(6)] (8) Lucro após IR [(4)-(7)] Linha Auxiliar - FC Acumulado VPL antes do IR VPL após IR TIR antes do IR TIR antes do IR	0,9 5% 0 -47,0 -47,0 -47,0 -47,0 -47,0 221,1 139,2 139,1 131,2%	0,9 1 144,9 52,9 92,0 92,0 45,0 11,8 80,3 28,1 63,9 63,9 16,9	0,9 2 144,9 52,9 92,0 92,0 137,0 11,8 80,3 28,1 63,9 63,9 80,8	0,9 3 144,9 52,9 92,0 92,0 229,0 11,8 80,3 28,1 63,9 63,9 144,7	0,9 4 144,9 52,9 92,0 92,0 321,0 11,8 80,3 28,1 63,9 63,9 208,7	Payback Antes do IR: Custo Item / Ano (1) Investimento Fixo (2) Receita (3) Custo (4) Lucro antes do IR [[2]-[3]] (1) FC antes IR [(1)+(4)] Linha Auxiliar - FC Acumulado (5) Depreciação (6) Lucro Tributável [(4)-(5)] (7) IR [30%x(6)] (8) Lucro após IR [(4)-(7)] (II) FC após IR [(4)-(7)] Linha Auxiliar - FC Acumulado VPL antes do IR VPL após IR TIR antes do IR TIR após IR	0,7 5% 0 -47,0 -47,0 -47,0 -47,0 -47,0 193,3 121,1 172,2% 117,3%	0,7 1 138,0 55,5 82,5 82,5 35,5 11,8 70,7 24,7 57,7 10,7	0,7 2 138,0 55,5 82,5 117,9 11,8 70,7 24,7 57,7 57,7 68,4	3 138,0 55,5 82,5 82,5 200,4 11,8 70,7 24,7 57,7 126,1	0,7 4 138,0 55,5 82,5 82,5 282,8 11,8 70,7 24,7 57,7 183,8
Payback Antes do IR: Payback Antes do IR: Receita Iltem / Ano (1) Investimento Fixo (2) Receita (3) Custo (4) Lucro antes do IR [(2)-(3)] (i) FC antes IR [(1)+(4)] Linha Auxiliar - FC Acumulado (5) Depreciação (6) Lucro Tributável [(4)-(5)] (7) IR [30%x(6)] (8) Lucro após IR [(4)-(7)] (II) FC após IR [(1)-(7)] Linha Auxiliar - FC Acumulado VPL antes do IR VPL após IR TIR antes do IR TIR após IR Payback Antes do IR: Payback Antes do IR: Receita	-47,0 -47,0 -47,0 -47,0 221,1 139,19 131,2% 0,5	0,9 1 144,9 52,9 92,0 92,0 45,0 11,8 80,3 28,1 63,9 63,9 16,9	0,9 2 144,9 52,9 92,0 92,0 137,0 11,8 80,3 28,1 63,9 63,9 80,8	0,9 3 144,9 52,9 92,0 92,0 11,8 80,3 28,1 63,9 144,7	0,9 4 144,9 52,9 92,0 92,0 321,0 11,8 80,3 28,1 63,9 63,9 208,7	Payback Antes do IR: Custo Item / Ano (1) Investimento Fixo (2) Receita (3) Custo (4) Lucro antes do IR [[2]-[3]] (1) FC antes IR [(1)+(4)] Linha Auxiliar - FC Acumulado (5) Depreciação (6) Lucro Tributável [(4)-(5)] (7) IR [30%x(6)] (8) Lucro após IR [(4)-(7)] (II) FC após IR [(4)-(7)] Linha Auxiliar - FC Acumulado VPL antes do IR VPL após IR TIR antes do IR TIR após IR Payback Antes do IR: Payback Antes do IR: Payback Antes do IR: Payback Antes do IR:	0,7 5% 0 -47,0 -47,0 -47,0 -47,0 193,3 121,1 172,2% 0,6	0,7 1 138,0 55,5 82,5 82,5 35,5 11,8 70,7 24,7 57,7 10,7	0,7 2 138,0 55,5 82,5 82,5 117,9 11,8 70,7 24,7 57,7 57,7 68,4	0,7 3 138,0 55,5 82,5 82,5 200,4 11,8 70,7 24,7 57,7 126,1	0,7 4 138,0 55,5 82,5 82,5 282,8 11,8 70,7 24,7 57,7 183,8
Payback Antes do IR: Payback Antes do IR: Receita Item / Ano (1) Investimento Fixo (2) Receita (3) Custo (4) Lucro antes do IR [(2)-(3)] (I) FC antes IR [(1)+(4)] Linha Auxiliar - FC Acumulado (5) Depreciação (6) Lucro Tributável [(4)-(5)] (7) IR [30%x(6)] (8) Lucro após IR [(4)-(7)] (II) FC após IR [(0)-(7)] Linha Auxiliar - FC Acumulado VPL antes do IR VPL após IR TIR antes do IR TIR após IR R TIR após IR Payback Antes do IR: Payback Antes do IR: Payback Antes do IR: Receita Item / Ano	0,9 5% 0 -47,0 -47,0 -47,0 -47,0 -47,0 139,2 193,1% 131,2% 0,5 0,7	0,9 1 144,9 52,9 92,0 92,0 45,0 11,8 80,3 28,1 63,9 63,9 16,9	0,9 2 144,9 52,9 92,0 92,0 137,0 11,8 80,3 28,1 63,9 63,9 80,8	0,9 3 144,9 52,9 92,0 92,0 11,8 80,3 28,1 63,9 144,7	0,9 4 144,9 52,9 92,0 92,0 321,0 11,8 80,3 28,1 63,9 63,9 208,7	Payback Antes do IR: Custo Item / Ano (1) Investimento Fixo (2) Receita (3) Custo (4) Lucro antes do IR [(2)-(3)] (i) FC antes IR [(1)+(4)] Linha Auxiliar - FC Acumulado (5) Depreciação (6) Lucro Tributável [(4)-(5)] (7) IR [30%x(6)] (8) Lucro após IR [(4)-(7)] (II) FC após IR [(4)-(7)] Linha Auxiliar - FC Acumulado VPL antes do IR VPL após IR TIR antes do IR TIR após IR Payback Antes do IR: Payback Antes do IR: Custo Item / Ano	0,7 5% 0 -47,0 -47,0 -47,0 -47,0 193,3 121,1 172,2% 117,3% 0,6 0,8 10% 0	0,7 1 138,0 55,5 82,5 82,5 35,5 11,8 70,7 24,7 57,7 10,7	0,7 2 138,0 55,5 82,5 82,5 117,9 11,8 70,7 24,7 57,7 68,4	0,7 3 138,0 55,5 82,5 82,5 200,4 11,8 70,7 24,7 57,7 126,1	0,7 4 138,0 55,5 82,5 82,5 282,8 11,8 70,7 24,7 57,7 183,8
Payback Antes do IR: Payback Antes do IR: Receita Item / Ano (1) Investimento Fixo (2) Receita (3) Custo (4) Lucro antes do IR [(2)-(3)] (I) FC antes IR [(1)+(4)] Linha Auxiliar - FC Acumulado (5) Depreciação (6) Lucro Tributável [(4)-(5)] (7) IR [30%x(6)] (8) Lucro após IR [(0)-(7)] Linha Auxiliar - FC Acumulado VPL após IR [(1)-(7)] Linha Auxiliar - FC Acumulado VPL após IR TIR antes do IR TIR após IR TIR após IR Payback Antes do IR: Payback Antes do IR: Receita Item / Ano (1) Investimento Fixo	0,9 5% 0 -47,0 -47,0 -47,0 -47,0 -47,0 221,1 139,2 131,2% 0,5 0,7	0,9 1 144,9 52,9 92,0 92,0 45,0 11,8 80,3 28,1 63,9 16,9 0,5 0,7	0,9 2 144,9 52,9 92,0 92,0 137,0 11,8 80,3 28,1 63,9 80,8 0,5 0,7	0,9 3 144,9 52,9 92,0 92,0 229,0 11,8 80,3 28,1 63,9 144,7 0,5 0,7	0,9 4 144,9 52,9 92,0 92,0 321,0 11,8 80,3 28,1 63,9 63,9 208,7	Payback Antes do IR: Custo Item / Ano (1) Investimento Fixo (2) Receita (3) Custo (4) Lucro antes do IR [(2)-(3)] (I) FC antes IR [(1)+(4)] Linha Auxiliar - FC Acumulado (5) Depreciação (6) Lucro Tributável [(4)-(5)] (7) IR [30%x(6)] (8) Lucro após IR [(4)-(7)] (II) FC após IR [(4)-(7)] Linha Auxiliar - FC Acumulado VPL antes do IR VPL após IR TIR antes do IR TIR após IR Payback Antes do IR: Payback Antes do IR: Custo Item / Ano (1) Investimento Fixo	0,7 5% 0 -47,0 -47,0 -47,0 -47,0 -47,0 193,3 121,1 172,2% 117,3% 0,6 0,8	0,7 1 138,0 55,5 82,5 82,5 82,5 11,8 70,7 24,7 57,7 10,7	0,7 2 138,0 55,5 82,5 82,5 117,9 11,8 70,7 24,7 577, 68,4	0,7 3 138,0 55,5 82,5 82,5 82,5 200,4 11,8 70,7 24,7 57,7 126,1	0,7 4 138,0 55,5 82,5 82,5 82,5 282,8 11,8 70,7 24,7 57,7 183,8
Payback Antes do IR: Payback Antes do IR: Receita Item / Ano (1) Investimento Fixo (2) Receita (3) Custo (4) Lucro antes do IR [(2)-(3)] (i) FC antes IR [(1)+(4)] Linha Auxiliar - FC Acumulado (5) Depreciação (6) Lucro Tributável [(4)-(5)] (7) IR [30%x(6)] (8) Lucro após IR [(4)-(7)] Linha Auxiliar - FC Acumulado VPL após IR [(1)-(7)] Linha Auxiliar - FC Acumulado VPL após IR TIR antes do IR TIR após IR Payback Antes do IR: Payback Antes do IR: Payback Antes do IR: Payback Antes do IR: (1) Investimento Fixo (2) Receita	0,9 5% 0 -47,0 -47,0 -47,0 -47,0 -47,0 139,2 193,1% 131,2% 0,5 0,7	0,9 1 144,9 52,9 92,0 92,0 45,0 11,8 80,3 28,1 63,9 16,9 0,5 0,7	0,9 2 144,9 52,9 92,0 92,0 137,0 11,8 80,3 28,1 63,9 80,8	0,9 3 144,9 52,9 92,0 92,0 229,0 11,8 80,3 28,1 63,9 144,7	0,9 4 144,9 52,9 92,0 92,0 321,0 11,8 80,3 28,1 63,9 208,7	Payback Antes do IR: Custo Item / Ano (1) Investimento Fixo (2) Receita (3) Custo (4) Lucro antes do IR [(2)-(3)] (1) FC antes IR [(1)+(4)] Linha Auxiliar - FC Acumulado (5) Depreciação (6) Lucro Tributável [(4)-(5)] (7) IR [30%x(6)] (8) Lucro após IR [(4)-(7)] (II) FC após IR [(1)-(7)] Linha Auxiliar - FC Acumulado VPL antes do IR VPL após IR TIR antes do IR TIR após IR Payback Antes do IR: Payback Antes do IR: Custo Item / Ano (1) Investimento Fixo (2) Receita	0,7 5% 0 -47,0 -47,0 -47,0 -47,0 193,3 121,1 172,2% 117,3% 0,6 0,8 10% 0	0,7 1 138,0 55,5 82,5 82,5 82,5 11,8 70,7 24,7 57,7 10,7 0,6 0,8	0,7 2 138,0 55,5 82,5 82,5 117,9 11,8 70,7 24,7 57,7 68,4 0,6 0,8	0,7 3 138,0 55,5 82,5 82,5 82,5 200,4 11,8 70,7 24,7 57,7 126,1 0,6 0,8	0,7 4 138,0 55,5 82,5 82,5 82,5 282,8 11,8 70,7 24,7 57,7 183,8 0,6 0,8
Payback Antes do IR: Payback Antes do IR: Receita Iltem / Ano (1) Investimento Fixo (2) Receita (3) Custo (4) Lucro antes do IR [(2)-(3)] (i) FC antes IR [(1)+(4)] Linha Auxiliar - FC Acumulado (5) Depreciação (6) Lucro Tributável [(4)-(5)] (7) IR [30%x(6)] (8) Lucro após IR [(4)-(7)] (II) FC após IR [(1)-(7)] Linha Auxiliar - FC Acumulado VPL antes do IR VPL após IR TIR antes do IR TIR antes do IR Payback Antes do IR: Payback Antes do IR: Payback Antes do IR: Receita Item / Ano (1) Investimento Fixo (2) Receita (3) Custo	0,9 5% 0 -47,0 -47,0 -47,0 -47,0 -47,0 139,2 193,1% 131,2% 0,5 0,7	0,9 1 144,9 52,9 92,0 92,0 45,0 11,8 80,3 28,1 63,9 63,9 16,9 0,5 0,7	0,9 2 144,9 52,9 92,0 92,0 137,0 11,8 80,3 28,1 63,9 63,9 80,8 0,5 0,7	0,9 3 144,9 52,9 92,0 92,0 229,0 11,8 80,3 28,1 63,9 63,9 144,7 0,5 0,7	0,9 4 144,9 52,9 92,0 92,0 321,0 11,8 80,3 28,1 63,9 63,9 208,7 0,5 0,7	Payback Antes do IR: Custo Item / Ano (1) Investimento Fixo (2) Receita (3) Custo (4) Lucro antes do IR [[2]-[3]] (1) FC antes IR [(1)+(4)] Linha Auxiliar - FC Acumulado (5) Depreciação (6) Lucro Tributável [(4)-(5)] (7) IR [30%x(6)] (8) Lucro após IR [(4)-(7)] (II) FC após IR [(4)-(7)] Linha Auxiliar - FC Acumulado VPL antes do IR VPL após IR TIR antes do IR TIR após IR Payback Antes do IR: Payback Antes do IR: Payback Antes do IR: Custo Item / Ano (1) Investimento Fixo (2) Receita (3) Custo	0,7 5% 0 -47,0 -47,0 -47,0 -47,0 193,3 121,1 172,2% 117,3% 0,6 0,8 10% 0	0,7 1 138,0 55,5 82,5 82,5 35,5 11,8 70,7 24,7 57,7 10,7 0,6 0,8 1 138,0 58,2	0,7 2 138,0 55,5 82,5 117,9 11,8 70,7 24,7 57,7 57,7 68,4 0,6 0,8	0,7 3 138,0 55,5 82,5 82,5 200,4 11,8 70,7 24,7 57,7 126,1 0,6 0,8 3 138,0 58,2	0,7 4 138,0 55,5 82,5 82,5 282,8 11,8 70,7 24,7 57,7 183,8 0,6 0,8 4 138,0 58,2
Payback Antes do IR: Payback Antes do IR: Receita Item / Ano (1) Investimento Fixo (2) Receita (3) Custo (4) Lucro antes do IR [(2)-(3)] (I) FC antes IR [(1)+(4)] Linha Auxiliar - FC Acumulado (5) Depreciação (6) Lucro Tributável [(4)-(5)] (7) IR [30%x(6)] (8) Lucro após IR [(4)-(7)] (II) FC após IR [(0)-(7)] Linha Auxiliar - FC Acumulado VPL antes do IR VPL após IR TIR antes do IR TIR após IR Payback Antes do IR: Payback Antes do IR: Payback Antes do IR: Payback Antes do IR: (1) Investimento Fixo (2) Receita (3) Custo (4) Lucro antes do IR [(2)-(3)]	0,9 5% 0 -47,0 -47,0 -47,0 -47,0 -47,0 139,2 193,1% 131,2% 0,5 0,7 10% 0 -47,0	0,9 1 144,9 52,9 92,0 92,0 45,0 11,8 80,3 28,1 63,9 16,9 0,5 0,7	0,9 2 144,9 52,9 92,0 92,0 137,0 11,8 80,3 28,1 63,9 80,8 0,5 0,7	0,9 3 144,9 52,9 92,0 92,0 229,0 11,8 80,3 28,1 63,9 144,7 0,5 0,7	0,9 4 144,9 52,9 92,0 92,0 321,0 11,8 80,3 28,1 63,9 63,9 208,7	Payback Antes do IR: Custo Item / Ano (1) Investimento Fixo (2) Receita (3) Custo (4) Lucro antes do IR [(2)-(3)] (I) FC antes IR [(1)+(4)] Linha Auxiliar - FC Acumulado (5) Depreciação (6) Lucro Tributável [(4)-(5)] (7) IR [30%x(6)] (8) Lucro após IR [(4)-(7)] (II) FC após IR [(4)-(7)] Linha Auxiliar - FC Acumulado VPL antes do IR VPL após IR TIR após IR TIR após IR Payback Antes do IR: Payback Antes do IR: Payback Antes do IR: Payback Antes do IR: (1) Investimento Fixo (2) Receita (3) Custo (4) Lucro antes do IR [(2)-(3)]	0,7 5% 0 -47,0 -47,0 -47,0 -47,0 193,3 121,1 172,2% 117,3% 0,6 0,8 10% 0 -47,0	0,7 1 138,0 55,5 82,5 82,5 92,5 35,5 11,8 70,7 24,7 57,7 10,7 0,6 0,8 1 138,0 58,2 79,8	0,7 2 138,0 55,5 82,5 82,5 117,9 11,8 70,7 24,7 57,7 68,4 0,6 0,8	0,7 3 138,0 55,5 82,5 82,5 200,4 11,8 70,7 24,7 57,7 126,1 0,6 0,8 3 138,0 58,2 79,8	0,7 4 138,0 55,5 82,5 82,5 82,5 282,8 11,8 70,7 24,7 57,7 183,8 0,6 0,8 4 138,0 58,2 79,8
Payback Antes do IR: Payback Antes do IR: Receita Iltem / Ano (1) Investimento Fixo (2) Receita (3) Custo (4) Lucro antes do IR [(2)-(3)] (i) FC antes IR [(1)+(4)] Linha Auxiliar - FC Acumulado (5) Depreciação (6) Lucro Tributável [(4)-(5)] (7) IR [30%x(6)] (8) Lucro após IR [(4)-(7)] (II) FC após IR [(1)-(7)] Linha Auxiliar - FC Acumulado VPL antes do IR VPL após IR TIR antes do IR TIR antes do IR Payback Antes do IR: Payback Antes do IR: Payback Antes do IR: Receita Item / Ano (1) Investimento Fixo (2) Receita (3) Custo	0,9 5% 0 -47,0 -47,0 -47,0 -47,0 -47,0 139,2 193,1% 131,2% 0,5 0,7	0,9 1 144,9 52,9 92,0 92,0 92,0 45,0 11,8 80,3 28,1 63,9 16,9 0,5 0,7	0,9 2 144,9 52,9 92,0 92,0 137,0 111,8 80,3 28,1 63,9 80,8 0,5 0,7 2 151,8 52,9 98,9	0,9 3 144,9 52,9 92,0 92,0 11,8 80,3 28,1 63,9 144,7 0,5 0,7 3 151,8 52,9 98,9	0,9 4 144,9 52,9 92,0 92,0 321,0 11,8 80,3 28,1 63,9 63,9 208,7	Payback Antes do IR: Custo Item / Ano (1) Investimento Fixo (2) Receita (3) Custo (4) Lucro antes do IR [[2]-[3]] (1) FC antes IR [(1)+(4)] Linha Auxiliar - FC Acumulado (5) Depreciação (6) Lucro Tributável [(4)-(5)] (7) IR [30%x(6)] (8) Lucro após IR [(4)-(7)] (II) FC após IR [(4)-(7)] Linha Auxiliar - FC Acumulado VPL antes do IR VPL após IR TIR antes do IR TIR após IR Payback Antes do IR: Payback Antes do IR: Payback Antes do IR: Custo Item / Ano (1) Investimento Fixo (2) Receita (3) Custo	0,7 5% 0 -47,0 -47,0 -47,0 -47,0 -47,0 193,3 121,1 172,2% 117,3% 0,6 0,8 0 -47,0	0,7 1 138,0 55,5 82,5 82,5 82,5 11,8 70,7 24,7 57,7 10,7 0,6 0,8 1 138,0 58,2 79,8	0,7 2 138,0 55,5 82,5 82,5 117,9 11,8 70,7 24,7 57,7 68,4 0,6 0,8	0,7 3 138,0 55,5 82,5 82,5 82,5 200,4 11,8 70,7 24,7 57,7 126,1 0,6 0,8 3 138,0 58,2 79,8	0,7 4 138,0 55,5 82,5 82,5 82,5 282,8 11,8 70,7 24,7 57,7 183,8 0,6 0,8 4 138,0 58,2 79,8
Payback Antes do IR: Payback Antes do IR: Receita Item / Ano (1) Investimento Fixo (2) Receita (3) Custo (4) Lucro antes do IR [(2)-(3)] (I) FC antes IR [(1)+(4)] Linha Auxiliar - FC Acumulado (5) Depreciação (6) Lucro Tributável [(4)-(5)] (7) IR [30%x(6)] (8) Lucro após IR [(0)-(7)] Linha Auxiliar - FC Acumulado VPL após IR [(1)-(7)] Linha Auxiliar - FC Acumulado VPL após IR TIR antes do IR TIR após IR Payback Antes do IR: Payback Antes do IR: Payback Antes do IR: Payback Antes do IR: (2) Receita (3) Custo (4) Lucro antes do IR [(2)-(3)] (1) FC antes IR [(1)+(4)]	0,9 5% 0 -47,0 -47,0 -47,0 -47,0 -47,0 139,2 193,1% 131,2% 0,5 0,7 0,47,0 -47,0	0,9 1 144,9 52,9 92,0 92,0 45,0 11,8 80,3 28,1 63,9 16,9 0,5 0,7	0,9 2 144,9 52,9 92,0 92,0 137,0 11,8 80,3 28,1 63,9 80,8 0,5 0,7	0,9 3 144,9 52,9 92,0 92,0 229,0 11,8 80,3 28,1 63,9 144,7 0,5 0,7	0,9 4 144,9 52,9 92,0 92,0 321,0 11,8 80,3 28,1 63,9 63,9 208,7	Payback Antes do IR: Custo Item / Ano (1) Investimento Fixo (2) Receita (3) Custo (4) Lucro antes do IR [(2)-(3)] (1) FC antes IR [(1)+(4)] Linha Auxiliar - FC Acumulado (5) Depreciação (6) Lucro Tributável [(4)-(5)] (7) IR [30%x(6)] (8) Lucro após IR [(4)-(7)] (II) FC após IR [(1)-(7)] Linha Auxiliar - FC Acumulado VPL antes do IR VPL após IR TIR antes do IR TIR após IR Payback Antes do IR: Payback Antes do IR: Payback Antes do IR: Custo Item / Ano (1) Investimento Fixo (2) Receita (3) Custo (4) Lucro antes IR [(1)+(4)]	0,7 5% 0 -47,0 -47,0 -47,0 -47,0 193,3 121,1 172,2% 117,3% 0,6 0,8 10% 0 -47,0	0,7 1 138,0 55,5 82,5 82,5 92,5 35,5 11,8 70,7 24,7 57,7 10,7 0,6 0,8 1 138,0 58,2 79,8	0,7 2 138,0 55,5 82,5 82,5 117,9 11,8 70,7 24,7 57,7 68,4 0,6 0,8	0,7 3 138,0 55,5 82,5 82,5 200,4 11,8 70,7 24,7 57,7 126,1 0,6 0,8 3 138,0 58,2 79,8	0,7 4 138,0 55,5 82,5 82,5 82,5 282,8 11,8 70,7 24,7 57,7 183,8 0,6 0,8 4 138,0 58,2 79,8
Payback Antes do IR: Payback Antes do IR: Receita Item / Ano (1) Investimento Fixo (2) Receita (3) Custo (4) Lucro antes do IR [(2)-(3)] (i) FC antes IR [(1)+(4)] Linha Auxiliar - FC Acumulado (5) Depreciação (6) Lucro Tributável [(4)-(5)] (7) IR [30%x(6)] (8) Lucro após IR [(4)-(7)] Linha Auxiliar - FC Acumulado VPL após IR TIR antes do IR VPL após IR TIR antes do IR: Payback Antes do IR: Payback Antes do IR: Payback Antes do IR: (1) Investimento Fixo (2) Receita (3) Custo (4) Lucro antes do IR [(2)-(3)] Linha Auxiliar - FC Acumulado (1) Ircantes IR [(1)+(4)] Linha Auxiliar - FC Acumulado	0,9 5% 0 -47,0 -47,0 -47,0 -47,0 -47,0 139,2 193,1% 131,2% 0,5 0,7 0,47,0 -47,0	0,9 1 144,9 52,9 92,0 92,0 45,0 11,8 80,3 28,1 63,9 16,9 0,5 0,7	0,9 2 144,9 52,9 92,0 92,0 137,0 11,8 80,3 28,1 63,9 80,8 0,5 0,7	0,9 3 144,9 52,9 92,0 92,0 11,8 63,9 144,7 0,5 0,7 3 151,8 52,9 98,9 249,7	0,9 4 144,9 52,9 92,0 92,0 321,0 11,8 80,3 28,1 63,9 63,9 208,7 0,5 0,7	Payback Antes do IR: Custo Item / Ano (1) Investimento Fixo (2) Receita (3) Custo (4) Lucro antes do IR [(2)-(3)] (1) FC antes IR [(1)+(4)] Linha Auxiliar - FC Acumulado (5) Depreciação (6) Lucro Tributável [(4)-(5)] (7) IR [30%x(6)] (8) Lucro após IR [(4)-(7)] (II) FC após IR [(1)-(7)] Linha Auxiliar - FC Acumulado VPL antes do IR VPL após IR TIR antes do IR TIR após IR Payback Antes do IR: Payback Antes do IR: Custo Item / Ano (1) Investimento Fixo (2) Receita (3) Custo (4) Lucro antes IR [(1)+(4)] Linha Auxiliar - FC Acumulado	0,7 5% 0 -47,0 -47,0 -47,0 -47,0 -47,0 193,3 121,1 172,2% 117,3% 0,6 0,8 0 -47,0	0,7 1 138,0 55,5 82,5 82,5 82,5 11,8 70,7 24,7 57,7 10,7 0,6 0,8 1 138,0 58,2 79,8 32,8	0,7 2 138,0 55,5 82,5 82,5 117,9 11,8 70,7 24,7 57,7 68,4 0,6 0,8 2 138,0 58,2 79,8 112,6	0,7 3 138,0 55,5 82,5 82,5 200,4 11,8 70,7 24,7 57,7 126,1 0,6 0,8 3 138,0 58,2 79,8 192,4	0,7 4 138,0 55,5 82,5 82,5 82,5 282,8 11,8 70,7 24,7 57,7 183,8 0,6 0,8 4 138,0 58,2 79,8 272,2
Payback Antes do IR: Payback Antes do IR: Receita Item / Ano (1) Investimento Fixo (2) Receita (3) Custo (4) Lucro antes do IR [(2)-(3)] (i) FC antes IR [(1)+(4)] Linha Auxiliar - FC Acumulado (5) Depreciação (6) Lucro Tributável [(4)-(5)] (7) IR [30%x(6)] (8) Lucro após IR [(4)-(7)] (II) FC após IR [(1)-(7)] Linha Auxiliar - FC Acumulado VPL antes do IR VPL após IR TIR antes do IR VPL após IR TIR antes do IR: Payback Antes do IR: Payback Antes do IR: Payback Antes do IR: Payback Antes do IR: (1) Investimento Fixo (2) Receita (3) Custo (4) Lucro antes do IR [(2)-(3)] (I) FC antes IR [(1)+(4)] Linha Auxiliar - FC Acumulado (5) Depreciação	0,9 5% 0 -47,0 -47,0 -47,0 -47,0 -47,0 139,2 193,1% 131,2% 0,5 0,7 0,47,0 -47,0	0,9 1 144,9 52,9 92,0 92,0 45,0 11,8 80,3 28,1 63,9 63,9 16,9 0,5 0,7 1 151,8 52,9 98,9 98,9 51,9 11,8	0,9 2 144,9 52,9 92,0 92,0 137,0 11,8 80,3 28,1 63,9 63,9 80,8 0,5 0,7	0,9 3 144,9 52,9 92,0 92,0 229,0 11,8 80,3 28,1 63,9 63,9 144,7 0,5 0,7 3 151,8 52,9 98,9 98,9 98,9 249,7 11,8	0,9 4 144,9 52,9 92,0 92,0 321,0 11,8 80,3 28,1 63,9 208,7 0,5 0,7 4 151,8 52,9 98,9 98,9 98,9 948,6 11,8	Payback Antes do IR: Custo Item / Ano (1) Investimento Fixo (2) Receita (3) Custo (4) Lucro antes do IR [[2]-[3]] (1) FC antes IR [(1)+(4)] Linha Auxiliar - FC Acumulado (5) Depreciação (6) Lucro Tributável [(4)-(5)] (7) IR [30%x(6)] (8) Lucro após IR [(4)-(7)] (II) FC após IR [(1)-(7)] Linha Auxiliar - FC Acumulado VPL antes do IR VPL após IR TIR antes do IR TIR antes do IR Payback Antes do IR: Payback Antes do IR: Payback Antes do IR: Custo Item / Ano (1) Investimento Fixo (2) Receita (3) Custo (4) Lucro antes do IR [(2]-[3)] (1) FC antes IR [(1)+(4)] Linha Auxiliar - FC Acumulado (5) Depreciação	0,7 5% 0 -47,0 -47,0 -47,0 -47,0 -47,0 193,3 121,1 172,2% 117,3% 0,6 0,8 0 -47,0	0,7 1 138,0 55,5 82,5 82,5 35,5 11,8 70,7 24,7 57,7 10,7 0,6 0,8 1 138,0 58,2 79,8 79,8 79,8 22,8 11,8	0,7 2 138,0 55,5 82,5 117,9 11,8 70,7 24,7 57,7 57,7 68,4 0,6 0,8 2 138,0 58,2 79,8 79,8 79,8 112,6 11,8	0,7 3 138,0 55,5 82,5 82,5 200,4 11,8 70,7 24,7 57,7 126,1 0,6 0,8 3 138,0 58,2 79,8 79,8 192,4 11,8	0,7 4 138,0 55,5 82,5 82,5 282,8 11,8 70,7 24,7 57,7 57,7 183,8 0,6 0,8 4 138,0 58,2 79,8 79,8 79,8 77,8
Payback Antes do IR: Payback Antes do IR: Receita Iltem / Ano (1) Investimento Fixo (2) Receita (3) Custo (4) Lucro antes do IR [(2)-(3)] (i) FC antes IR [(1)+(4)] Linha Auxiliar - FC Acumulado (5) Depreciação (6) Lucro Tributável [(4)-(5)] (7) IR [30%x(6)] (8) Lucro após IR [(4)-(7)] (II) FC após IR [(1)-(7)] Linha Auxiliar - FC Acumulado VPL antes do IR VPL após IR TIR antes do IR TIR após IR Payback Antes do IR: Payback Antes do IR: Payback Antes do IR: Receita Iltem / Ano (1) Investimento Fixo (2) Receita (3) Custo (4) Lucro antes do IR [(2)-(3)] (i) FC antes IR [(1)+(4)] Linha Auxiliar - FC Acumulado (5) Depreciação (6) Lucro Tributável [(4)-(5)] (7) IR [30%x(6)] (8) Lucro após IR [(4)-(7)]	0,9 5% 0 -47,0 -47,0 -47,0 -47,0 -47,0 139,2 193,1% 131,2% 0,5 0,7 10% 0 -47,0 -47,0 -47,0	0,9 1 144,9 52,9 92,0 92,0 45,0 11,8 80,3 28,1 63,9 16,9 0,5 0,7 1 151,8 52,9 98,9 51,9 11,8 87,2 30,5 68,4	0,9 2 144,9 52,9 92,0 92,0 137,0 11,8 80,3 28,1 63,9 80,8 0,5 0,7 2 151,8 52,9 98,9 150,8 11,8 87,2 30,5 68,4	0,9 3 144,9 52,9 92,0 92,0 11,8 63,9 144,7 0,5 0,7 3 151,8 52,9 98,9 249,7 11,8 87,2 30,5 66,4	0,9 4 144,9 52,9 92,0 92,0 321,0 11,8 80,3 28,1 63,9 208,7 0,5 0,7 4 151,8 52,9 98,9 98,9 348,6 11,8 87,2 30,5 68,4	Payback Antes do IR:	0,7 5% 0 -47,0 -47,0 -47,0 -47,0 -47,0 193,3 121,1 172,2% 117,3% 0,6 0,8 0 -47,0 -47,0	0,7 1 138,0 55,5 82,5 82,5 82,5 11,8 70,7 24,7 57,7 10,7 0,6 0,8 1 138,0 58,2 79,8 32,8 11,8 68,1 23,8 56,0	0,7 2 138,0 55,5 82,5 117,9 11,8 68,4 0,6 0,8 2 138,0 58,2 79,8 112,6 11,8 68,1 23,8 66,0	0,7 3 138,0 55,5 82,5 82,5 200,4 11,8 70,7 24,7 57,7 126,1 0,6 0,8 3 138,0 58,2 79,8 79,8 192,4 11,8 68,1 23,8 56,0	0,7 4 138,0 55,5 82,5 82,5 82,5 282,8 11,8 70,7 24,7 57,7 183,8 0,6 0,8 4 138,0 58,2 79,8 272,2 11,8 68,1 23,8 56,0
Payback Antes do IR: Payback Antes do IR: Receita Item / Ano (1) Investimento Fixo (2) Receita (3) Custo (4) Lucro antes do IR [(2)-(3)] (i) FC antes IR [(1)+(4)] Linha Auxiliar - FC Acumulado (5) Depreciação (6) Lucro Tributável [(4)-(5)] (7) IR [30%x(6)] (8) Lucro após IR [(4)-(7)] (II) FC após IR [(1)-(7)] Linha Auxiliar - FC Acumulado VPL antes do IR VPL após IR TIR antes do IR TIR após IR Payback Antes do IR: Payback Antes do IR: Payback Antes do IR: Payback Antes do IR: (2) Receita (3) Custo (4) Lucro antes do IR [(2)-(3)] (I) FC antes IR [(1)+(4)] Linha Auxiliar - FC Acumulado (5) Depreciação (6) Lucro Tributável [(4)-(5)] (7) IR [30%x(6)] (8) Lucro após IR [(4)-(7)] (II) FC após IR [(1)-(7)]	0,9 5% 0 -47,0 -47,0 -47,0 -47,0 -47,0 139,2 193,1% 131,2% 0,5 0,7 10% 0 -47,0 -47,0 -47,0	0,9 1 144,9 52,9 92,0 92,0 45,0 11,8 80,3 28,1 63,9 63,9 16,9 0,5 0,7 1 151,8 52,9 98,9 98,9 11,8 87,2 30,5 68,4 68,4	0,9 2 144,9 52,9 92,0 92,0 137,0 11,8 80,3 28,1 63,9 80,8 0,5 0,7 2 151,8 52,9 98,9 98,9 150,8 87,2 30,5 68,4	0,9 3 144,9 52,9 92,0 92,0 229,0 11,8 80,3 28,1 63,9 144,7 0,5 0,7 3 151,8 52,9 98,9 98,9 949,7 11,8 87,2 30,5 68,4 68,4	0,9 4 144,9 52,9 92,0 92,0 321,0 11,8 80,3 28,1 63,9 63,9 208,7 0,5 0,7 4 151,8 52,9 98,9 98,9 348,6 11,8 87,2 30,5 68,4 68,4	Payback Antes do IR:	0,7 5% 0 -47,0 -47,0 -47,0 -47,0 -47,0 -47,0 193,3 121,1 172,2% 117,3% 0,6 0,8 0 -47,0 -47,0 -47,0	0,7 1 138,0 55,5 82,5 82,5 82,5 11,8 70,7 24,7 57,7 10,7 1 138,0 56,2 79,8 12,8 11,8 68,1 23,8 56,0 56,0	0,7 2 138,0 55,5 82,5 82,5 117,8 70,7 24,7 57,7 57,7 68,4 0,6 0,8 2 138,0 58,2 79,8 79,8 112,6 68,1 23,6 68,1 23,6 68,0 56,0	0,7 3 138,0 55,5 82,5 82,5 200,4 11,8 70,7 24,7 57,7 126,1 0,6 0,8 3 138,0 58,2 79,8 79,8 192,4 11,8 68,1 23,8 68,1 23,6 56,0 56,0	0,7 4 138,0 55,5 82,5 82,5 82,5 82,5 70,7 24,7 57,7 183,8 0,6 0,8 4 138,0 58,2 79,8 79,8 272,2 11,8 68,1 23,8 68,1 23,8 56,0 56,0
Payback Antes do IR: Payback Antes do IR: Receita Iltem / Ano (1) Investimento Fixo (2) Receita (3) Custo (4) Lucro antes do IR [(2)-(3)] (i) FC antes IR [(1)+(4)] Linha Auxiliar - FC Acumulado (5) Depreciação (6) Lucro Tributável [(4)-(5)] (7) IR [30%x(6)] (8) Lucro após IR [(4)-(7)] (II) FC após IR [(1)-(7)] Linha Auxiliar - FC Acumulado VPL antes do IR VPL após IR TIR antes do IR TIR após IR Payback Antes do IR: Payback Antes do IR: Payback Antes do IR: Receita Iltem / Ano (1) Investimento Fixo (2) Receita (3) Custo (4) Lucro antes do IR [(2)-(3)] (i) FC antes IR [(1)+(4)] Linha Auxiliar - FC Acumulado (5) Depreciação (6) Lucro Tributável [(4)-(5)] (7) IR [30%x(6)] (8) Lucro após IR [(4)-(7)]	0,9 5% 0 -47,0 -47,0 -47,0 -47,0 -47,0 139,2 193,1% 131,2% 0,5 0,7 10% 0 -47,0 -47,0 -47,0	0,9 1 144,9 52,9 92,0 92,0 45,0 11,8 80,3 28,1 63,9 16,9 0,5 0,7 1 151,8 52,9 98,9 51,9 11,8 87,2 30,5 68,4	0,9 2 144,9 52,9 92,0 92,0 137,0 11,8 80,3 28,1 63,9 80,8 0,5 0,7 2 151,8 52,9 98,9 150,8 11,8 87,2 30,5 68,4	0,9 3 144,9 52,9 92,0 92,0 11,8 63,9 144,7 0,5 0,7 3 151,8 52,9 98,9 249,7 11,8 87,2 30,5 66,4	0,9 4 144,9 52,9 92,0 92,0 321,0 11,8 80,3 28,1 63,9 208,7 0,5 0,7 4 151,8 52,9 98,9 98,9 348,6 11,8 87,2 30,5 68,4	Payback Antes do IR:	0,7 5% 0 -47,0 -47,0 -47,0 -47,0 -47,0 193,3 121,1 172,2% 117,3% 0,6 0,8 0 -47,0 -47,0	0,7 1 138,0 55,5 82,5 82,5 82,5 11,8 70,7 24,7 57,7 10,7 0,6 0,8 1 138,0 58,2 79,8 32,8 11,8 68,1 23,8 56,0	0,7 2 138,0 55,5 82,5 117,9 11,8 68,4 0,6 0,8 2 138,0 58,2 79,8 112,6 11,8 68,1 23,8 66,0	0,7 3 138,0 55,5 82,5 82,5 200,4 11,8 70,7 24,7 57,7 126,1 0,6 0,8 3 138,0 58,2 79,8 79,8 192,4 11,8 68,1 23,8 56,0	0,7 4 138,0 55,5 82,5 82,5 82,5 282,8 11,8 70,7 24,7 57,7 183,8 0,6 0,8 4 138,0 58,2 79,8 272,2 11,8 68,1 23,8 56,0
Payback Antes do IR: Payback Antes do IR: Receita Item / Ano (1) Investimento Fixo (2) Receita (3) Custo (4) Lucro antes do IR [(2)-(3)] (i) FC antes IR [(1)+(4)] Linha Auxiliar - FC Acumulado (5) Depreciação (6) Lucro Tributável [(4)-(5)] (7) IR [30%x(6)] (8) Lucro após IR [(0)-(7)] Linha Auxiliar - FC Acumulado VPL antes do IR VPL após IR TIR antes do IR TIR após IR Payback Antes do IR: (2) Receita (3) Custo (4) Lucro antes do IR [(2)-(3)] (i) FC antes IR [(1)+(4)] Linha Auxiliar - FC Acumulado (5) Depreciação (6) Lucro Tributável [(4)-(5)] (7) IR [30%x(6)] (8) Lucro após IR [(0)-(7)] Linha Auxiliar - FC Acumulado	0,9 5% 0 -47,0 -47,0 -47,0 -47,0 221,1 139,2 193,1% 131,2% 0,5 0,7 0,47,0 -47,0 -47,0 -47,0 -47,0	0,9 1 144,9 52,9 92,0 92,0 45,0 11,8 80,3 28,1 63,9 63,9 16,9 0,5 0,7 1 151,8 52,9 98,9 98,9 11,8 87,2 30,5 68,4 68,4	0,9 2 144,9 52,9 92,0 92,0 137,0 11,8 80,3 28,1 63,9 80,8 0,5 0,7 2 151,8 52,9 98,9 98,9 150,8 87,2 30,5 68,4	0,9 3 144,9 52,9 92,0 92,0 229,0 11,8 80,3 28,1 63,9 144,7 0,5 0,7 3 151,8 52,9 98,9 98,9 949,7 11,8 87,2 30,5 68,4 68,4	0,9 4 144,9 52,9 92,0 92,0 321,0 11,8 80,3 28,1 63,9 63,9 208,7 0,5 0,7 4 151,8 52,9 98,9 98,9 348,6 11,8 87,2 30,5 68,4 68,4	Payback Antes do IR:	0,7 5% 0 -47,0 -47,0 -47,0 -47,0 -47,0 193,3 121,1 172,2% 117,3% 0,6 0,8 0 -47,0 -47,0 -47,0 -47,0	0,7 1 138,0 55,5 82,5 82,5 82,5 11,8 70,7 24,7 57,7 10,7 1 138,0 56,2 79,8 12,8 11,8 68,1 23,8 56,0 56,0	0,7 2 138,0 55,5 82,5 82,5 117,8 70,7 24,7 57,7 57,7 68,4 0,6 0,8 2 138,0 58,2 79,8 79,8 112,6 68,1 23,6 68,1 23,6 68,0 56,0	0,7 3 138,0 55,5 82,5 82,5 200,4 11,8 70,7 24,7 57,7 126,1 0,6 0,8 3 138,0 58,2 79,8 79,8 192,4 11,8 68,1 23,8 68,1 23,6 56,0 56,0	0,7 4 138,0 55,5 82,5 82,5 82,5 282,8 11,8 70,7 24,7 57,7 183,8 0,6 0,8 4 138,0 58,2 79,8 79,8 79,8 272,2 11,8 68,1 23,8 56,0 56,0
Payback Antes do IR: Payback Antes do IR: Receita Iltem / Ano (1) Investimento Fixo (2) Receita (3) Custo (4) Lucro antes do IR [(2)-(3)] (i) FC antes IR [(1)+(4)] Linha Auxiliar - FC Acumulado (5) Depreciação (6) Lucro Tributável [(4)-(5)] (7) IR [30%x(6)] (8) Lucro após IR [(4)-(7)] (II) FC após IR [(1)-(7)] Linha Auxiliar - FC Acumulado VPL antes do IR VPL após IR TIR antes do IR VPL após IR Payback Antes do IR: Payback Antes do IR: Payback Antes do IR: Receita (1) Investimento Fixo (2) Receita (3) Custo (4) Lucro antes do IR [(2)-(3)] (i) FC antes IR [(1)+(4)] Linha Auxiliar - FC Acumulado (5) Depreciação (6) Lucro Tributável [(4)-(5)] (7) IR [30%x(6)] (8) Lucro após IR [(1)-(7)] Linha Auxiliar - FC Acumulado VPL antes do IR	0,9 5% 0 -47,0 -47,0 -47,0 -47,0 -47,0 139,2 193,1% 131,2% 0,5 0,7 10% 0 -47,0 -47,0 -47,0 -47,0 -47,0 -47,0 -47,0 -47,0 -47,0	0,9 1 144,9 52,9 92,0 92,0 45,0 11,8 80,3 28,1 63,9 63,9 16,9 0,5 0,7 1 151,8 52,9 98,9 98,9 11,8 87,2 30,5 68,4 68,4	0,9 2 144,9 52,9 92,0 92,0 137,0 11,8 80,3 28,1 63,9 80,8 0,5 0,7 2 151,8 52,9 98,9 98,9 150,8 87,2 30,5 68,4	0,9 3 144,9 52,9 92,0 92,0 229,0 11,8 80,3 28,1 63,9 144,7 0,5 0,7 3 151,8 52,9 98,9 98,9 949,7 11,8 87,2 30,5 68,4 68,4	0,9 4 144,9 52,9 92,0 92,0 321,0 11,8 80,3 28,1 63,9 63,9 208,7 0,5 0,7 4 151,8 52,9 98,9 98,9 348,6 11,8 87,2 30,5 68,4 68,4	Payback Antes do IR:	0,7 5% 0 -47,0 -47,0 -47,0 -47,0 -47,0 193,3 121,1 172,2% 117,3% 0,6 0,8 0 -47,0 -47,0 -47,0 -47,0 -47,0 185,5	0,7 1 138,0 55,5 82,5 82,5 82,5 11,8 70,7 24,7 57,7 10,7 1 138,0 56,2 79,8 12,8 11,8 68,1 23,8 56,0 56,0	0,7 2 138,0 55,5 82,5 82,5 117,8 70,7 24,7 57,7 57,7 68,4 0,6 0,8 2 138,0 58,2 79,8 79,8 112,6 68,1 23,6 68,1 23,6 68,0 56,0	0,7 3 138,0 55,5 82,5 82,5 200,4 11,8 70,7 24,7 57,7 126,1 0,6 0,8 3 138,0 58,2 79,8 79,8 192,4 11,8 68,1 23,8 68,1 23,6 56,0 56,0	0,7 4 138,0 55,5 82,5 82,5 82,5 282,8 11,8 70,7 24,7 57,7 183,8 0,6 0,8 4 138,0 58,2 79,8 79,8 79,8 272,2 11,8 68,1 23,8 56,0 56,0
Payback Antes do IR: Payback Antes do IR: Receita Item / Ano (1) Investimento Fixo (2) Receita (3) Custo (4) Lucro antes do IR [(2)-(3)] (i) FC antes IR [(1)+(4)] Linha Auxiliar - FC Acumulado (5) Depreciação (6) Lucro Tributável [(4)-(5)] (7) IR [30%x(6)] (8) Lucro após IR [(4)-(7)] (II) FC após IR [(1)-(7)] Linha Auxiliar - FC Acumulado VPL antes do IR VPL após IR TIR antes do IR Payback Antes do IR: (2) Receita (3) Custo (4) Lucro antes do IR [(2)-(3)] (i) FC antes IR [(1)+(4)] Linha Auxiliar - FC Acumulado (5) Depreciação (6) Lucro Tributável [(4)-(5)] (7) IR [30%x(6)] (8) Lucro após IR [(1)-(7)] Linha Auxiliar - FC Acumulado VPL antes do IR	0,9 5% 0 -47,0 -47,0 -47,0 -47,0 -47,0 139,2 193,1% 131,2% 0,5 0,7 10% 0 -47,0 -47,0 -47,0 -47,0 -47,0 -47,0 -47,0 -47,0 -47,0	0,9 1 144,9 52,9 92,0 92,0 45,0 11,8 80,3 28,1 63,9 63,9 16,9 0,5 0,7 1 151,8 52,9 98,9 98,9 11,8 87,2 30,5 68,4 68,4	0,9 2 144,9 52,9 92,0 92,0 137,0 11,8 80,3 28,1 63,9 80,8 0,5 0,7 2 151,8 52,9 98,9 98,9 150,8 87,2 30,5 68,4	0,9 3 144,9 52,9 92,0 92,0 229,0 11,8 80,3 28,1 63,9 144,7 0,5 0,7 3 151,8 52,9 98,9 98,9 949,7 11,8 87,2 30,5 68,4 68,4	0,9 4 144,9 52,9 92,0 92,0 321,0 11,8 80,3 28,1 63,9 63,9 208,7 0,5 0,7 4 151,8 52,9 98,9 98,9 348,6 11,8 87,2 30,5 68,4 68,4	Payback Antes do IR:	0,7 5% 0 -47,0 -47,0 -47,0 -47,0 -47,0 193,3 121,1 172,2% 117,3% 0,6 0,8 10% 0 -47,0 -47,0 -47,0 -47,0 -47,0 -47,0 -47,0 185,5 116,1	0,7 1 138,0 55,5 82,5 82,5 82,5 11,8 70,7 24,7 57,7 10,7 1 138,0 56,2 79,8 12,8 11,8 68,1 23,8 56,0 56,0	0,7 2 138,0 55,5 82,5 82,5 117,8 70,7 24,7 57,7 57,7 68,4 0,6 0,8 2 138,0 58,2 79,8 79,8 112,6 68,1 23,6 68,1 23,6 68,0 56,0	0,7 3 138,0 55,5 82,5 82,5 200,4 11,8 70,7 24,7 57,7 126,1 0,6 0,8 3 138,0 58,2 79,8 79,8 192,4 11,8 68,1 23,8 68,1 23,6 56,0 56,0	0,7 4 138,0 55,5 82,5 82,5 82,5 282,8 11,8 70,7 24,7 57,7 183,8 0,6 0,8 4 138,0 58,2 79,8 79,8 79,8 272,2 11,8 68,1 23,8 56,0 56,0
Payback Antes do IR: Payback Antes do IR: Receita Item / Ano (1) Investimento Fixo (2) Receita (3) Custo (4) Lucro antes do IR [(2)-(3)] (i) FC antes IR [(1)+(4)] Linha Auxiliar - FC Acumulado (5) Depreciação (6) Lucro Tributável [(4)-(5)] (7) IR [30%x(6)] (8) Lucro após IR [(4)-(7)] Linha Auxiliar - FC Acumulado VPL antes do IR VPL após IR TIR antes do IR TIR após IR Payback Antes do IR: (2) Receita (3) Custo (4) Lucro antes do IR [(2)-(3)] (i) FC antes IR [(1)+(4)] Linha Auxiliar - FC Acumulado (5) Depreciação (6) Lucro Tributável [(4)-(5)] (7) IR [30%x(6)] (8) Lucro após IR [(4)-(7)] Linha Auxiliar - FC Acumulado VPL antes do IR VPL após IR IR [10-(7)] Linha Auxiliar - FC Acumulado VPL antes do IR VPL após IR TIR antes do IR	0,9 5% 0 -47,0 -47,0 -47,0 -47,0 -47,0 139,2 193,1% 131,2% 0,5 0,7 10% 0 -47,0 -47,0 -47,0 -47,0 -47,0 -47,0 -47,0 -47,0 -47,0	0,9 1 144,9 52,9 92,0 92,0 45,0 11,8 80,3 28,1 63,9 63,9 16,9 0,5 0,7 1 151,8 52,9 98,9 98,9 11,8 87,2 30,5 68,4 68,4	0,9 2 144,9 52,9 92,0 92,0 137,0 11,8 80,3 28,1 63,9 80,8 0,5 0,7 2 151,8 52,9 98,9 98,9 150,8 87,2 30,5 68,4	0,9 3 144,9 52,9 92,0 92,0 229,0 11,8 80,3 28,1 63,9 144,7 0,5 0,7 3 151,8 52,9 98,9 98,9 949,7 11,8 87,2 30,5 68,4 68,4	0,9 4 144,9 52,9 92,0 92,0 321,0 11,8 80,3 28,1 63,9 63,9 208,7 0,5 0,7 4 151,8 52,9 98,9 98,9 348,6 11,8 87,2 30,5 68,4 68,4	Payback Antes do IR:	0,7 5% 0 -47,0 -47,0 -47,0 -47,0 193,3 121,1 172,2% 117,3% 0,6 0,8 10% 0 -47,0 -47,0 -47,0 -47,0 -47,0 -48,0 -47,0 -48,0	0,7 1 138,0 55,5 82,5 82,5 82,5 11,8 70,7 24,7 57,7 10,7 1 138,0 56,2 79,8 12,8 11,8 68,1 23,8 56,0 56,0	0,7 2 138,0 55,5 82,5 82,5 117,8 70,7 24,7 57,7 57,7 68,4 0,6 0,8 2 138,0 58,2 79,8 79,8 112,6 68,1 23,6 68,1 23,6 68,0 56,0	0,7 3 138,0 55,5 82,5 82,5 200,4 11,8 70,7 24,7 57,7 126,1 0,6 0,8 3 138,0 58,2 79,8 79,8 192,4 11,8 68,1 23,8 68,1 23,6 56,0 56,0	0,7 4 138,0 55,5 82,5 82,5 82,5 282,8 11,8 70,7 24,7 57,7 183,8 0,6 0,8 4 138,0 58,2 79,8 79,8 79,8 272,2 11,8 68,1 23,8 56,0 56,0
Payback Antes do IR: Payback Antes do IR: Receita Item / Ano (1) Investimento Fixo (2) Receita (3) Custo (4) Lucro antes do IR [(2)-(3)] (i) FC antes IR [(1)+(4)] Linha Auxiliar - FC Acumulado (5) Depreciação (6) Lucro Tributável [(4)-(5)] (7) IR [30%x(6)] (8) Lucro após IR [(4)-(7)] (II) FC após IR [(1)-(7)] Linha Auxiliar - FC Acumulado VPL antes do IR VPL após IR TIR antes do IR Payback Antes do IR: (2) Receita (3) Custo (4) Lucro antes do IR [(2)-(3)] (i) FC antes IR [(1)+(4)] Linha Auxiliar - FC Acumulado (5) Depreciação (6) Lucro Tributável [(4)-(5)] (7) IR [30%x(6)] (8) Lucro após IR [(1)-(7)] Linha Auxiliar - FC Acumulado VPL antes do IR	0,9 5% 0 -47,0 -47,0 -47,0 -47,0 -47,0 139,2 193,1% 131,2% 0,5 0,7 10% 0 -47,0 -47,0	0,9 1 144,9 52,9 92,0 92,0 45,0 11,8 80,3 28,1 63,9 63,9 16,9 0,5 0,7 1 151,8 52,9 98,9 98,9 11,8 87,2 30,5 68,4 68,4	0,9 2 144,9 52,9 92,0 92,0 137,0 11,8 80,3 28,1 63,9 80,8 0,5 0,7 2 151,8 52,9 98,9 98,9 150,8 87,2 30,5 68,4	0,9 3 144,9 52,9 92,0 92,0 229,0 11,8 80,3 28,1 63,9 144,7 0,5 0,7 3 151,8 52,9 98,9 98,9 949,7 11,8 87,2 30,5 68,4 68,4	0,9 4 144,9 52,9 92,0 92,0 321,0 11,8 80,3 28,1 63,9 63,9 208,7 0,5 0,7 4 151,8 52,9 98,9 98,9 348,6 11,8 87,2 30,5 68,4 68,4	Payback Antes do IR: Custo Item / Ano (1) Investimento Fixo (2) Receita (3) Custo (4) Lucro antes do IR [(2)-(3)] (I) FC antes IR [(1)+(4)] Linha Auxiliar - FC Acumulado (5) Depreciação (6) Lucro Tributável [(4)-(5)] (7) IR [30%x(6)] (8) Lucro após IR [(4)-(7)] (II) FC após IR [(4)-(7)] Linha Auxiliar - FC Acumulado VPL antes do IR VPL após IR TIR antes do IR TIR após IR Payback Antes do IR: Payback Antes do IR: Payback Antes do IR: Custo Item / Ano (1) Investimento Fixo (2) Receita (3) Custo (4) Lucro antes do IR [(2)-(3)] (I) FC antes IR [(1)+(4)] Linha Auxiliar - FC Acumulado (5) Depreciação (6) Lucro Tributável [(4)-(5)] (7) IR [30%x(6)] (8) Lucro após IR [(4)-(7)] Linha Auxiliar - FC Acumulado VPL após IR VPL após IR TIR antes do IR TIR antes do IR	0,7 5% 0 -47,0 -47,0 -47,0 -47,0 -47,0 193,3 121,1 172,2% 117,3% 0,6 0,8 10% 0 -47,0 -47,0 -47,0 -47,0 -47,0 -47,0 -47,0 185,5 116,1	0,7 1 138,0 55,5 82,5 82,5 82,5 11,8 70,7 24,7 57,7 10,7 1 138,0 56,2 79,8 12,8 11,8 68,1 23,8 56,0 56,0	0,7 2 138,0 55,5 82,5 82,5 117,8 70,7 24,7 57,7 57,7 68,4 0,6 0,8 2 138,0 58,2 79,8 79,8 112,6 68,1 23,6 68,1 23,6 68,0 56,0	0,7 3 138,0 55,5 82,5 82,5 200,4 11,8 70,7 24,7 57,7 126,1 0,6 0,8 3 138,0 58,2 79,8 79,8 192,4 11,8 68,1 23,8 68,1 23,6 56,0 56,0	0,7 4 138,0 55,5 82,5 82,5 282,8 11,8 70,7 24,7 57,7 57,7 183,8 0,6 0,8 4 138,0 58,2 79,8 79,8 272,2 11,8 68,1 23,8 56,0 56,0

